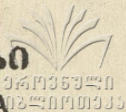


თბილისის უნივერსიტეტის შრომები

ТРУДЫ ТБИЛИССКОГО УНИВЕРСИТЕТА

PROCEEDINGS OF TBILISI UNIVERSITY



216

ISSN 0876—2687

ფ ი ზ ი კ ა

Ф И З И К А

PHYSICS

10

თბილისი Тбилиси Tbilisi

1980

თბილისის უნივერსიტეტის ურობები
PROCEEDINGS OF TBILISI UNIVERSITY

ტ. 216 V.

ფ ი ზ ი კ ე
P H Y S I C S

თბილისი 1980 Tbilisi

ТРУДЫ ТБИЛИССКОГО УНИВЕРСИТЕТА

Т. 216


თბილისის
უნივერსიტეტის
საბიბლიოთეკო

Ф И З И К А

Т б и л и с и 1980 .

РЕДАКЦИОННАЯ КОЛЛЕГИЯ



საქართველოს
მეცნიერებათა
აკადემიის

Н.С.Амаглобели, Б.Г. Берулава (секретарь),
И.Ш.Вашакидзе, Э.С.Качлишвили, Т.И. Копалейшвили
(редактор), Н.М. Полиевктов - Николадзе, Т.И.Санадзе.

სარედაქციო კოლეგია

ნ.სამაგლობელი, ბ.ბერულავა /ნებრუანი/, ი.ვაშაკიძე, ი.შ.ვა-
შაკიძე /რედაქტორი/, ე.ს.კაჩლიშვილი-ნიკოლაძე, თ.ი.სანა-
ძე, ნ.პოლიევტოვი.

EDITORIAL BOARD

N.Amaglobeli, B.Berulava (secretary), Z.Kachlishvili, T.Kopaleishvili
(editor), N.Polievktov-Nikoladze, T.Sanadze I.Vashakidze.

Редактор издательства И.Абушвили

Подписано в печать 30.XII.80. УЭ 09501

Бумага 60x84. Усл.печ.л. 10,25. Уч.-изд.л. 7,36.

Тираж 300

Цена 80 к.

Заказ 123

Издательство Тбилисского университета,
Тбилиси, 380028, пр.И.Чавчавадзе, 14.
Типография АН СССР, Тбилиси, 380060,
ул.Кутузова, 19.

მეცნიერების უნივერსიტეტის გამომცემლობა,
მეცნიერების, 380028, ი.ჭავჭავაძის პროსპექტი, 14.
საქ.სსრ მეცნ.აკად.სამბდა,
მეცნიერების, 380060, კუტუზოვის ქ., 19.

ЯВЛЕНИЕ ОБРАЗОВАНИЯ ПРОСТРАНСТВЕННО-ПЕРИОДИЧЕСКИХ
СТРУКТУР СИЛЬНОТОЧНОЙ ПЛАЗМЫ - "СТРУКТУРЫ КВАРЦХАВА"

И.Ф.Кварцхава, Д.С.Гвеладзе, Г.Г.Зуакишвили
К.Н.Кервалидзе, Н.Н.Комаров, В.М.Фадеев

I. Введение

Существовавшие до 1959 г. представления о свойствах плазмы и физических процессах в ней не содержали понятия "пространственно-периодические структуры" /1-12/. Это объясняется тем, что наблюдавшимися в ряде экспериментов пространственными неоднородностями пренебрегалось как имеющими флуктуационный, случайный характер или физическая природа трактовалась неправильно /13/. Считалось, что можно избежать возникновения пространственных неоднородностей в плазме, если обеспечить достаточную однородность начальных и граничных условий в эксперименте.

При теоретическом исследовании сильно неоднородной плазмы обычно ограничивались рассмотрением одномерных моделей /1,2,9,10-12/, которые, естественно, не могли содержать в себе двух- и трехмерных пространственно-периодических распределений плазменного тока, температуры и концентрации частиц.

В процессе развития термоядерных исследований наиболее

полно пространственно-структурные особенности плазмы были изучены в сильноточных разрядах типа зет- и тета- пинч, в связи с чем на примере этих разрядов и рассмотрим как существовавшие прежде представления /1-13/, так и сущность новых, впервые разработанных авторами работ /14-19,27-31/, представлений о структуре сильноточной плазмы. Примерами сильноточной плазмы могут служить также электрические дуги, плазма солнечного ветра, хвоста магнитосферы, солнечной короны и др., т.е. плазма, для которой выполнено условие

$$\mathcal{J}^2 > 2c^2 N(\theta_e + \theta_i). \quad (1)$$

Здесь \mathcal{J} и N - полный ток плазмоида и полное число частиц на единицу длины вдоль тока; θ_e и θ_i - электронная и ионная температуры в энергетических единицах; c - скорость света.

Общепринятое описание развития во времени импульсного сильноточного разряда, которое в большой степени основывалось на целевых фоторазвертках типа приведенной на рис.1, содержало следующие основные пункты:

- а) на начальной, динамической стадии разряда после пробоя происходит образование аксиально симметричной токовой оболочки;
- б) под действием электродинамических сил цилиндрический слой плазмы, прилегающий к стенкам трубки, получает ускорение, направленное к оси;
- в) в первой фазе разряда плазменный столб имеет цилиндрическую форму;
- д) на последней стадии сжатия, когда ускоренная магнитным полем плазма достигает оси, большая часть энергии

направленного движения превращается в тепло и резко повышается давление и температура плазмы;

е) после фазы быстрого сжатия наступает стадия медленно-го адиабатического дожатия, на фоне которого обычно наблюдаются радиальные инерционные колебания плазмы. На этой стадии начинают развиваться магнитогиродинамические неустойчивости типа $m = 0, 1, 2, \dots$

Следует однако отметить, что представления, развитые на основе предположения об одномерной геометрии разряда и малости возмущений параметров плазмы, которые позволили исследовать в первом приближении вопросы динамики и устойчивости, не объясняли ряда явлений, как-то: возникновение в начальной стадии разряда неоднородностей в токовой оболочке и их влияние на ее динамику (ухудшение эффективности механизма "снежный плуг" и в результате облегчение повторных пробоев в зет-пинчах, выбросы плазменных языков в тета-пинчах, рис.2; повышенную устойчивость "комбинированного пинча" по отношению к критерию Крускала-Шафранова; отсутствие устойчивости в системе "Триакс" вопреки предсказаниям линейной МГД теории; сложный характер МГД течений в области солнечных вспышек. Этот перечень примеров, не укладываемый в рамки одномерных моделей, может быть продолжен. Для понимания названных явлений оказалось необходимым привлечение представлений о пространственно-периодических структурах, что и было сделано впервые в работах /15,27,28/.

2. ЭКСПЕРИМЕНТАЛЬНОЕ ИССЛЕДОВАНИЕ ПРОСТРАНСТВЕННО-ПЕРИОДИЧЕСКОЙ СТРУКТУРЫ ПЛАЗМЫ

Явление самопроизвольной пространственно-периодической

локализации тока и плотности плазмы было обнаружено и исследовано в экспериментах с линейными зет- и тета-пинчами /15-19/ на газах; воздух, криптон, ксенон, дейтерий, водород и др. в диапазоне начальных давлений 10^{-3} - 10 Тор. Разрядный ток варьировался в пределах $4 \cdot 10^4 + 1,5 \cdot 10^6$ А, частота составляла $20 \cdot 10^3 + 200 \cdot 10^3$ Гц, а приложенное напряжение - $20 + 70$ кВ. Электрическая схема питания разряда традиционная. В качестве источника энергии использовалась малондуктивная конденсаторная батарея энергоемкостью до 300 Кдл. Длина пинчей обычно составляла $30 + 50$ см, диаметр же разрядных камер менялся от 5 до 50 см. Часть опытов проводилась с использованием предварительной ионизации и предварительного нагрева плазмы.

Экспериментально плазменные структуры были исследованы с помощью фотографий, полученных ОФР-ом в режимах непрерывной развертки и лупы времени, зондовых измерений распределения магнитных полей и токов, а также спектрографических измерений химического состава, концентрации и температуры плазмы. Разряд обычно фотографировался в двух или трех проекциях одновременно с помощью спаренных ОФР-ов. Типичные результаты экспериментов без предварительного нагрева приведены на рис.3. На фотографиях видно, что несмотря на отсутствие периодически граничных и начальных условий (цилиндрические камеры) уже в начальной стадии разряда, когда у стенок камеры формируется скин-слой, плазменная оболочка распадается на ряд светящихся каналов (Е-волокон), ориентированных параллельно электрическому полю. В зет-пинче они расположены периодически по азимуту (рис.3), а в тета-пинче -

вдоль оси плазменного цилиндра (рис.4). С помощью граничных условий можно задавать местоположение E-волокон и в некотором диапазоне их начальное число. Например, в шестигранных камерах, как правило, возникает шесть волокон, расположенных в углах камеры (рис.5). Это обстоятельство было использовано для измерения распределения тока в плазменной оболочке зет-пинча. Один пояс Роговского устанавливался на углу и охватывал E-волокно (рис.6), второй - на грани, между волокнами. Как видно из рис.7, в широком диапазоне начальных давлений рабочего газа ток через сечение датчика, охватывающего E-волокно (I-кривая), существенно превышает ток через датчик, расположенный между волокнами (II-кривая). В тета-пинче распределение магнитных полей и токов было исследовано магнитными зондами. Измерялись одновременно в нескольких точках аксиальная и радиальная составляющие поля. На рис.8 приведены осциллограммы радиальной компоненты поля в четырех точках вдоль плазменной оболочки, также свидетельствующие о глубокой модуляции тока. Стрелками показано расположение E-волокон относительно зондов, восстановленное по фотографиям разряда.

Из совместного анализа распределения магнитных полей, токов и фотографий разрядов следует, что характер свечения плазмы качественно соответствует распределению разрядного тока в плазменной оболочке. Это утверждение справедливо для условий описываемых опытов, т.е. для сравнительно холодной плазмы, состоящей из тяжелых ионов или же содержащей таковые в качестве примесей в водородной плазме. В чистой горячей водородной плазме токовым волокнам могут соот-

летствовать участки плазмы, слабо излучающие в видимой области света. По светящимся каналам (Е-волоконам) протекает большая часть полного разрядного тока. Плотность же тока в Е-волоконках превышает на порядок плотности тока в разреженной плазме между волокнами. Амплитудное значение тока в каждом волокне достигает нескольких десятков кА, и, как показывают измерения концентрации и температуры (которые в описываемых опытах находились в диапазоне $5 \cdot 10^{16} + 10^{17} \text{ см}^{-3}$ и $3 + 15 \text{ эВ}$), уравнивает газокинетическое давление в нем. Иными словами, каждое Е-волокно есть элементарный зет-пинч, для которого выполнено условие Беннета.

Характерный размер Е-волокна сравним с толщиной токовой оболочки (с диссипативным скин-слоем), поэтому с уменьшением диаметра разрядных камер, при прочих равных условиях, число волокон уменьшается. В предельном случае, когда глубина скин-слоя оказывается сравнимой с радиусом разрядной камеры, наблюдается однородный разряд (моноволокно).

Из сказанного следует, что структуры могут возникать в плазме, масштаб которой существенно превышает поперечный размер Е-волокна или если полный ток плазмы \mathcal{I} существенно превышает ток, необходимый для существования одного Е-волокна (см. условие (1)). Оба эти условия являются эквивалентными.

В процессе эволюции разряда в плазме часто наблюдается и другая система волокон, ориентированная перпендикулярно электрическому полю (параллельно магнитному) и названная Н-волоконками (рис.4). Заметные токи вдоль Н-волокон отсутствуют. Н-волокна, как правило, возникают в том случае,

когда уже имеется развитая структура с E-волоконнами. Поэтому, естественно предположить, что они возникают в результате МГД неустойчивостей локальных пинчей с модами $m = 0, 1$, приводящих к перезамыканию соседних E-волокон. Вследствие диамагнитного эффекта в магнитном поле исходной системы E-волокон в H-волоконнах могут наводиться азимутальные токи и вызывать локальный тета-пинч эффект.

На рис.9 показано влияние внешнего магнитного поля на образование систем E и H-волокон. Видно, что начальное квазипостоянное магнитное поле, параллельное электрическому полю разряда, всегда способствует значительному усилению дробления плазменной оболочки на E-волокна. Начальное поле напряженностью 10^3 эрстед доводит их число до максимального значения, равного примерно ℓ/d , где ℓ - периметр слоя плазмы или длина пинча, d - диаметр волокна. Начальное магнитное поле, перпендикулярное электрическому полю разряда, усиливает дробление плазмы на H-волокна.

В большинстве лабораторных экспериментов условие (1), необходимое для возникновения H-волокон, реализуется в неравновесной (в механическом смысле) стадии разряда. Примером могут служить обычные зет и тета-пинчи, плазменные фокусы, плоские плазменные слои, создаваемые в "плоском" зет-пинче и в тета-пинче с обратным захваченным магнитным полем, плазма ускорителей и т.д. Один из немногих экспериментов, в котором плазменный слой должен находиться в равновесии при выполнении условия (1), является система "Триакс", о которой несколько подробнее будет сказано ниже. В связи с этим возникает важный вопрос о временах развития простран-

венно периодических структур. Как показывает опыт, при изменении начального состояния плазмы и граничных условий изменяются не только инкременты, но часто и типы неустойчивостей, приводящих к формированию структур.

Рассмотрим несколько примеров.

а) Как мы видели, в зет- и тета-пинчах без предварительного нагрева плазмы (рис.3-5) структуры возникают одновременно с формированием токовой оболочки. Более подробные исследования начальной фазы показывают, что уже на стадии пробоя в результате механизма Альвена убегающие электроны могут шнуроваться в отдельные пучки /21,22/. В дальнейшем неоднородности, созданные электронными пучками, обычно развиваются за счет ионизационной и перегретной /23/ неустойчивостей и на нелинейной стадии приводят к формированию E-волокон. Поскольку при разряде в нейтральном газе инкременты возникновения E-волокон высоки, то структура должна наблюдаться, как правило, во всех опытах, в которых характерный масштаб плазменной оболочки (диаметр разрядной камеры) существенно больше глубины скин-слоя.

б) В опытах с предварительно созданной плазмой время формирования E-волокон зависит от начальной температуры (проводимости), определяется процессом диффузии магнитного поля в плазме и обычно оказывается больше, чем в случае без предварительного нагрева.

в) Влияние динамики плазмы на процесс образования E-волокон удобно проследить на примере плоского зет-пинча, который создавался в камере с прямоугольным сечением /18/. Первая фаза сжатия приводит к образованию плазоида, имеющего в сечении гантелеобразную форму (рис.10). Между даумя

мощными E-волоконнами, обусловленный своим происхождением геометрией разрядной камеры, находится плоский плазменный слой.

Из-за конечности размеров гантелеобразная конфигурация неравновесна, сжатие продолжается вдоль слоя. При маленьких скоростях сжатия (рис. 10а) плоский плазменный слой успевает распасться на E-волокна, в то время как при больших скоростях (рис. 10б) сохраняет свою однородность. Подобная волокнистая структура плазмы была обнаружена в нецилиндрическом зет-пинче авторами работ /56/. Аналогичная ситуация имеет место и в тета-пинче с обратным захваченным магнитным полем, который по конфигурации представляет собой свернутый в цилиндр плоский плазменный слой. Исследования, проведенные позднее на установках тета-пинч /24/ и "Триакс" /25/, показали, что плоский плазменный слой распадается на E-волокна в результате "диссипативной (*tiering*)" неустойчивости, время развития которой (в линейной стадии) существенно меньше (на порядок величины) диффузионных времен.

3. ТЕОРЕТИЧЕСКОЕ ИССЛЕДОВАНИЕ ПРОСТРАНСТВЕННО- ПЕРИОДИЧЕСКОЙ СТРУКТУРЫ

Теория наблюдаемых пространственно-периодических структур и смежные вопросы изложены в работах /27-31, 26, 32-34, 48/. В процесс теоретического обоснования существования пространственно-периодической структуры было выдвинуто предположение, что наблюдаемые структуры представляют собой совокупность (систему) квазиравновесных образований плазмы (плазмодов), которые формируются и существуют в процессе возникновения и развития разряда подобно тому, как

формируется и существует отдельный беннетовский пинч.

Как известно, теоретический расчет отдельного беннетовского пинча сводится к отысканию совместного решений кинетических (магнитогидродинамических) уравнений и уравнений Максвелла в предположении об аксиальной симметрии /1,26/.

Аналогично при теоретическом обосновании пространственно-периодических структур была поставлена и решена задача о существовании двумерных ($\frac{\partial}{\partial x} \neq 0, \frac{\partial}{\partial y} \neq 0, \frac{\partial}{\partial z} = 0$) решений кинетических уравнений (уравнений магнитной гидродинамики) совместно с уравнениями Максвелла, описывающими ряд стационарных состояний плазмы (или хотя бы одно), отличительной чертой которых является (как это наблюдается в эксперименте) пространственно-периодическое распределение таких величин, как плотность частиц, токов, магнитных полей /27,28/. В дальнейшем в работах /29,30/ был дан физический анализ частных решений, соответствующих цилиндрической и плоской геометрии. При этом делались предположения, являвшиеся несущественными для получения ответа на основной вопрос: существуют ли и являются физически оправданными решения, описывающие самосжатую плазму с пространственно-периодической структурой. К таким предположениям относятся: пренебрежение столкновениями, независимость от координат направленной и тепловой скоростей частиц.

Результаты этих исследований получили признание, применение /9,55/ и дальнейшее развитие в работах авторов /32/, а также в отечественных и зарубежных работах /35,36,54/.

Ниже приводятся основные результаты по доказательству существования решения, описывающего плазму с пространствен-

но-периодической структурой, и доказательства и соображения о том, что представленная теория применима к объяснению экспериментальных результатов, полученных при исследовании зет- и тета-пинчей, по крайней мере в части объяснения природы наблюдаемой пространственно-периодической структуры и ее инденфикации как системы локальных беннетовских пинчей (E-волокон).

Задача о существовании указанных решений заключалась в отыскании совместных стационарных решений кинетических уравнений (уравнений магнитной гидродинамики) и уравнений Максвелла с соответствующими граничными условиями.

Выражения для основных физических величин, таких как плотность частиц, ток, магнитное поле, удовлетворяющих этим уравнениям, имеют вид:

$$n_{\kappa} = n_{\kappa}^{\circ} \exp \Psi(X, Y), \quad H_x = \frac{\theta_{\kappa} K}{q_{\kappa} \beta_{\kappa}'} \frac{\partial \Psi(X, Y)}{\partial Y},$$

$$j_{\kappa} = j_{\kappa}^{\circ} \exp \Psi(X, Y), \quad H_y = \frac{\theta_{\kappa} K}{q_{\kappa} \beta_{\kappa}'} \frac{\partial \Psi(X, Y)}{\partial X}, \quad (2)$$

где

$$\Psi(X, Y) = \rho n \theta \frac{\frac{\partial f_1(\eta)}{\partial \eta} \cdot \frac{\partial f_2(\xi)}{\partial \xi}}{[1 + f_1(\eta) \cdot f_2(\xi)]^2},$$

и являются общим решением уравнения

$$\Delta \Psi(X, Y) + \exp \Psi(X, Y) = 0.$$

Здесь $\eta = X + iY$, $\xi = X - iY$, $f_1(\eta)$, $f_2(\xi)$ - произвольные аналитические функции, $X = K_x$, $Y = K_y$.

Выбирая тот или другой вид функции f , получаем соответствующие решения, описывающие (при условии их корректности) различные состояния плазмы.

Существование пространственно-периодических структур было показано на примере двух конфигураций аксиальной (рис. 11) и плоско-симметричной (рис. 12), для которых плотности числа частиц и значения магнитных полей имеют следующий вид.

Плоско-симметричный случай /30/:

$$n_k = n_k^0 \frac{\mu^2}{1+a^2} \left(\cos k \mu X + \frac{a}{(1+a^2)^{1/2}} \cdot \cos \mu Y \right)^{-2},$$

$$H_x = \frac{2\theta_k \mu K}{q_k \beta_k} \frac{a}{(1+a^2)^{1/2}} \frac{\sin \mu Y}{\cos k \mu X + \frac{a}{(1+a^2)^{1/2}} \cos \mu Y},$$

$$H_y = \frac{2\theta_k \mu K}{q_k \beta_k} \frac{\sin k \mu X}{\cos k \mu X + \frac{a}{(1+a^2)^{1/2}} \cos \mu Y}. \quad (3)$$

Аксиально симметричный случай /29/:

$$n_k = n_k^0 \frac{8(n+1)^2 \epsilon R^{2n}}{\left[1 + 6 \left[B^2 + 2BR^{n+1} \cos(n+1)\varphi + R^{2(n+1)} \right] \right]^2},$$

$$H_n = \frac{2\theta_k K}{q_k \beta_k} \frac{2(n+1)\epsilon BR^n \sin(n+1)\varphi}{1 + 6 \left[B^2 + 2BR^{n+1} \cos(n+1)\varphi + R^{2(n+1)} \right]}, \quad (4)$$

$$H_\varphi = \frac{2\theta_k K}{q_k \beta_k} \frac{n+1}{R} \left[-\frac{n}{n+1} + \frac{2 \cdot 6 \{ BR^{n+1} \cos(n+1)\varphi + R^{2(n+1)} \}}{1 + 6 \{ B^2 + 2 \cdot B \cdot R^{n+1} \cdot \cos(n+1)\varphi + R^{2(n+1)} \}} \right]$$

Здесь $R = K_2$; $n+1$ - число E-волокон; a, μ, ϵ, B - произвольное постоянное.

Оказалось, что одномерные образования в виде одномерного слоя, столба или трубки являются частными и относительно узкими подклассами рассматриваемого множества двумерных структур.

В основе применения теории к экспериментально наблюдаемым явлениям лежит предположение о том, что волокна как структурные элементы развитого плазменного слоя являются квазиравновесными образованиями в его системе координат с собственным временем жизни, равным или большим времени жизни слоя. В самом деле, во-первых, наблюдаемое время формирования волокна τ_f значительно меньше времени формирования пинча в целом τ . Во-вторых, стабильность волокон в течение длительного времени указывает на то, что расширение волокна за счет диффузии плазмы компенсируется процессом ее самофокусировки. Это предположение подтверждается тем, что сформулированный в теории комплекс взаимосвязанных критериев дает численные значения характерных величин, совпадающие с экспериментально обнаруженными [14, 19], в частности, позволяет идентифицировать E-волокна как локальные зет-пинчи.

Этими критериями являются:

1. Условие распада сильноточной плазмы на волокна (условие сильных токов)

$$\frac{\gamma^2}{2c^2 \sum N_k \theta_k} > 1 \quad (5)$$

2. Число волокон при данном значении полного тока J , погонного числа частиц N_k и температуры θ_k

$$\frac{\gamma^2}{2c^2 \sum N_k \theta_k} = n + 1 \quad (6)$$

3. Характерный размер волокна

$$\lambda_f = \frac{2\pi}{k_f}, \quad k_f^2 = \frac{k^2}{2} = 2\pi \frac{q_k \beta_k}{\theta_k} \sum q_k \beta_k n_k^0 \quad (7)$$

Был проведен сравнительный энергетический анализ различных состояний. В отсутствие двумерной нестационарной нелинейной теории пространственно-периодических структур такой анализ представляет значительный интерес, несмотря на свою неполноту. Вопрос - какая из структур энергетически более выгодна - достаточно сложен уже на стадии постановки задачи, так как для корректного и полного ответа на него необходимо рассматривать контур, нелинейным элементом которого является трехмерная плазма с перестраивающейся структурой. На примере теории одномерного нестационарного пинч-эффекта /9-12, 37-39/ видны большие вычислительные трудности, которые встанут на этом пути. Некоторые полезные результаты, однако, были получены уже в рамках обсуждаемой здесь стационарной нелинейной теории /29-31/.

Чтобы сделать вывод об относительной устойчивости того или иного равновесного состояния, необходимо сравнить их полные энергии, включая энергию внешнего контура. В устойчивом равновесии будет находиться система с минимумом полной энергии, а при прочих равных условиях (одинаковые значения полного тока плазмоида \mathcal{I} или полного числа частиц на единицу длины вдоль тока \mathcal{N}_k , температуры θ_k , относительных направленных скоростей компонент β_k) - с максимумом магнитной энергии, приходящейся на погонный сантиметр слоя.

Расчет разности полных энергий $\Delta \mathcal{E} = \mathcal{E}_{огн} - \mathcal{E}_{вол}$ для случая (3) дает

$$\Delta \mathcal{E}_{пл} = - \frac{\theta_k^2}{g_k^2 \beta_k^2} \left(\frac{\sqrt{n_{max}} - \sqrt{n_{min}}}{\sqrt{n_{max}} + \sqrt{n_{min}}} \right)^2, \quad (8)$$

а для случая (6)

$$\Delta \mathcal{E}_{\text{цпл}} = -\frac{2\theta_k}{q_k^2 \beta_k^2} \rho_n \left\{ \left[\frac{n+2}{2(n+1)} \right]^2 \left(\frac{\chi_{0\alpha}}{\chi_{0\beta}} \right)^{2n} \times \right.$$

$$\left. \times \frac{n_{k\beta}^m}{n_{k\alpha}^m} \left(1 + \frac{n(n+2) n_{k\beta}^m \cdot \chi_{0\beta}^2}{4(n+1) \cdot n_{k\alpha}^m \cdot \chi_{0\alpha}^2} \right)^n \right\}. \quad (9)$$

Здесь n_{\max} и n_{\min} — соответственно плотности частиц в центре волокна (вершина) и посередине между ними (седловина); $n+1$ — число волокон; $\chi_{0\beta}$ — радиус, на котором располагаются $n+1$ максимумов $n_{k\beta}^m$ плотности плазмоида с пространственно-периодической структурой; $\chi_{0\alpha}$ — радиус максимума плотности $n_{k\alpha}^m$ плазмоида с однородной структурой.

Из анализа выражений (8) и (9) видно, что волокнистая структура обладает большей магнитной энергией, чем соответствующая ей одномерная структура и, следовательно, с энергетической точки зрения является более выгодной.

Подводя итоги краткому изложению основных результатов теории подчеркнем, что только нелинейная двумерная стационарная теория (несмотря на ее очевидную неполноту) совместно с результатами зондовых измерений позволила провести уверенную идентификацию E-волокон в разрядах зет- и тета-пинч как локальных пинчей, в то время как линейные и квазилинейные нестационарные теории лишь указывали на неустойчивость однородного слоя, оставляя открытым вопрос о конечном результате процессов /4I, 4I/.

В работах /27-31/ теория развивалась для бесстолкновительной плазмы с максвелловской функцией распределения. В рамках стационарной магнитной гидродинамики с проводимостью и внешним постоянным однородным электрическим полем получаются аналогичные решения с соответствующей

заменой некоторых переменных.

Качественный теоретический анализ показывает, что при соответствующем обобщении и развитии теория может быть распространена и на систему Н-волокон.

4. В Ы В О Д Ы

I. Квазистационарная сильноточная плазма не может быть однородной, а должна иметь пространственно-периодическую структуру, состоящую из Е-волокон. Каждое Е-волокно представляет собой элементарный зет-пинч, для которого выполнено условие равновесия Беннета:

$$J_e^2 = 2 \cdot c^2 \cdot N_e \cdot (\theta_e + \theta_i), \quad (10)$$

где J_e и N_e - ток и погонное число частиц в волокне.

В плазме, для которой выполнено условие (I), равновесие должно поддерживаться внешними силами. Например, обратными токами, твердой стенкой, гравитационными силами и т.д. Если сторонние силы отсутствуют, сильноточная плазма не может находиться в равновесии. В этом случае возникновение пространственно-периодической структуры зависит от соотношения времен образования Е-волокон и установления равновесной конфигурации в целом. Когда инкременты неустойчивостей, приводящих к образованию Е-волокон, достаточно велики, возникает пространственно-периодическая структура, которая представляет собой некоторое промежуточное квазиравновесное состояние на пути эволюции системы, поскольку приводит к понижению ее потенциальной функции $(-L J^2 / 2c^2 / 20!)$, где L - индуктивность плазмы; c - скорость света.



2. Пространственный масштаб E -волокон есть

$$\lambda_g = \frac{2\pi}{k_g}, \quad k_g^2 = \frac{k^2}{2} = 2\pi \frac{q_k \beta_k}{\theta_k} \sum q_k \cdot \beta_k \cdot n_k^0,$$

здесь n_k^0 , q_k , $\beta_k = \frac{v_k^0}{c}$ — плотность частиц k -ого сорта в максимуме соответствующего однородного слоя, их заряд и относительная скорость, соответственно.

Легко видеть, что в зависимости от соотношения параметров λ_g может принимать значения от долей миллиметра в пламенных дугах и сантиметрах в пинчах до астрономических размеров в космических объектах (ионосфере, солнечной короне и т.д.) /32/.

3. Наряду с E -волоконками в сильноточной плазме может существовать ортогональная ей система с H -волоконками, направленная перпендикулярно электрическому и параллельно самостоятельному магнитному полю. H -волокна, как правило, появляются в плазме, когда уже имеется система с развитыми E -волоконками. Токи вдоль H -волокон в эксперименте не обнаружены. Однако в результате диамагнитного эффекта в H -волоконках могут наводиться азимутальные токи и в этом случае их можно уподобить элементарным тета-пинчам /48/.

4. На формирование структур в лабораторной плазме можно влиять начальными и граничными условиями, например, в граненых разрядных камерах удается фиксировать пространственное расположение E -волокон и регулировать их число в некотором диапазоне. Начальное квазипостоянное магнитное поле, параллельное электрическому полю разряда, всегда способствует значительному усилению дробления плазменной оболочки на E -волокна, в то время как магнитное поле, перпендикулярное электрическому полю разряда, усиливает дробле-

ние плазмы на E-волокна. Начальные характеристики плазмы (концентрация, температура), а также ее геометрическая конфигурация существенно влияют на вид и инкременты неустойчивостей, приводящих к формированию структур.

Явление локального пинчевания и опыт управления структурой плазмы сильноточных разрядов нашли практическое применение в исследовании комбинированного зет-тета-пинч разряда - рис.13. Исследования показали, что в комбинированном пинче благодаря наличию спиральной волокнистой структуры плазма более устойчива, чем в отдельных зет и тета-пинчах.

Тенденция сохранения стабильности плазмы в комбинированном пинче при увеличении тока разряда в отдельных пинчах указывает на перспективность дальнейшего исследования комбинированного пинча при более высоких уровнях вкладываемой энергии с целью получения относительно стабильной, плотной и высокотемпературной плазмы.

Поступила 25.VI.1980

Сухумский физико-технический институт

Литература

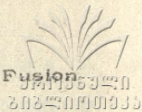
1. W.Bennet. Phys. Rev., 1934, v. 45, p. 890.
2. L.Tonks. Phys. Rev., 1939, v. 56, p.360.
3. M.Blakman. Proc. Phys. Soc., 1951, v. 64, p.1039.
4. Д.Спицер. Физика полностью ионизированного газа. М., 1956.
5. И.В.Курчатов. "Атомная энергия", т.3, с.65 (1956).



6. Л.А.Арцимович и др., "Атомная энергия", т.3, с.76 (1958).
7. А.Л.Безбатченко и др., "Атомная энергия", т.5, с.26 (1958).
8. А.А.Веденов, Е.П.Велихов, Р.З.Сагдеев. "Ядерный синтез", 1961, I, с.8.
9. М.А.Леонтович, С.М.Осовец. "Атомная энергия" (1956), т.3, с.81.
10. М.Розенблют. Магнитная гидродинамика (материалы симпозиума) М., Атомиздат, 1958.
11. С.И.Брагинский, А.Б.Мигдал. В сб.: Физика плазмы и проблема управляемых термоядерных реакций, т.2, Изд.АН СССР, 1958, с.20.
12. С.И.Брагинский, И.М.Гельфанд, Р.П.Федоренко. В сб.: Физика плазмы и проблема управляемых термоядерных реакций, т.4, М., Изд.АН СССР, 1958, с.201.
13. В.С.Комельков. "Журн.эксп. и теор.физ.", т.35, вып. I (7), 016 (1958).
14. И.Ф.Кварцхава, К.Н.Кервалидзе, Ю.С.Гваладзе. "Журн.техн. физ.", 1960, т.30., выпуск 3, с.297.
I.F.Kvartskhaya, K.N.Kervalidze, J.S.Gvaladze. In: Proc. of the Intern. Conf. on Ionization Phenomena in Gase, Uppsala 1959, North-Holland Publishing Company, Amsterdam, 1960, IV, A, 956.
15. И.Ф.Кварцхава, К.Н.Кервалидзе, Ю.С.Гваладзе. "Журн. эксп. и теор. физ.", 1960, т.38, вып.3, с.1641.
16. И.Ф.Кварцхава, К.Н.Кервалидзе, Ю.С.Гваладзе. "Журн. техн. физ.", 1960, т.XXX, вып. II, с.1321.
Preprint. Translated at Project Matterhorn, Princeton University, from a preprint kindly supplied by I.F.Kvartskhaya, 1960.
17. И.Ф.Кварцхава, К.Н.Кервалидзе, Ю.С.Гваладзе, Б.К.Капанадзе.

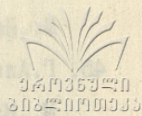
"Ядерный синтез", приложение, 1962, ч.2, 533.

Proc. of the Conf. on Plasma Phys. and Conf. Nucl. Fusion
Res. Salzburg, Austria. 4-9 September, 1961.



18. И.Ф.Кварцхава, К.Н.Кервалидзе, Г.Г.Зукакишвили, Д.С.Гваладзе. "Ядерный синтез", 1962, 3, 285.
19. И.Ф.Кварцхава, К.Н.Кервалидзе, Д.С.Гваладзе, Г.Г.Зукакишвили. "Ядерный синтез", 1965, т.5, № 5, с.181.
20. И.Е.Тамм. Основы теории электричества, Гостехиздат, 1966.
21. Н.Аlfven. "Arkiv Fisik", 1961, v.14, p.375,20, p.389.
22. С.И.Брагинский, В.В.Вихрев. "Теплофизика высоких температур", 1976, т.14, № 2, с.254.
23. Б.Б.Мадомцев. "Вопросы теории плазмы", т.2, 1963.
24. Н.А.В.Бодин. "Nucl. Fusion", 1963, v.3, p.215.
25. O.A.Anderson, and W.E.Kunkel. "Phys. of Fluids", 1969, v.12, N 10, p.2099.
26. Н.Н.Комаров, В.М.Фадеев. ЖТФ, 1962, вып.2, 133.
27. Н.Н.Комаров, В.М.Фадеев. Тезисы докладов на III совещании по теоретической и прикладной магнитной гидродинамике, г.Рига, 2-7 июля 1962г.
28. Н.Н.Комаров. "Ядерный синтез", 1963, т.3, № 3, с.174.
29. Н.Н.Комаров, И.Ф.Кварцхава, В.М.Фадеев. "Ядерный синтез" 1965, т.5, № 5, с.192.
30. В.М.Фадеев, И.Ф.Кварцхава, Н.Н.Комаров. "Ядерный синтез", 1965, т.5, № 5, 202.
31. Н.Н.Комаров, И.Ф.Кварцхава, В.М.Фадеев. Тезисы докладов ежегодной зимней школы по космофизике, 21 марта -

5 апреля 1968 г. Апатиты, 1968, Изд.АН СССР, ПГИ КФ
АН СССР, с.31.



32. В.М.Фадеев. В сб.: "Труды Всесоюзной зимней школы по космофизике", т.1 Апатиты, Изд.АН СССР, ПГИ КФ АН СССР, 1969, с.218.
33. В.М.Фадеев, Н.Н.Комаров. В сб.: "Пятое Рижское совещание по магнитной гидродинамике.МГД-волны". Изд.ИФ АН Латв.ССР, 1966, с.73.
34. Материалы объединенного семинара по вычислительной физике, г.Сухуми, 1973 год .
35. Э.И. Магилевский. Препринт ИЗМИР АН СССР, №5а, Москва, 1976.
36. В.А.Андреев. Препринт физ.ин-та им. П.Н.Лебедева АН СССР, № 26, Москва, 1976.
37. В.Ф.Дьяченко, В.С.Имшенник. В сб.: "Вопросы теории плазмы", вып.5, М., Атомиздат, 1967, с.394.
38. А.Н.Тихонов и др. Докл.АН СССР, 1967, т.173, № 4.
39. А.А.Самарский и др. Докл. АН СССР, т.206, № 2, с.307 (1972).
40. H.P.Furth, L.Killeen, M.N.Rosenbluth. Phys. Fluids, 1963, v.6, p.459.
41. H.P.Furth. Nuclear Fusion, Supplement, Part.I, 1962, 169. "Phys. Fluids", 1963, v.6, p.48.
42. В.И.Роховский. Физические основы коммутации электрического тока в вакууме, М.,Наука, 1970.
43. В.Финкельбург и Г.Меккер. Электрические дуги и термическая плазма. М.,ИЛ, 1961.
44. С.И.Акасофу, С.Чепмен. Солнечно-земная физика. Часть 1.

- М., Изд. "Мир", 1974.
45. Г. Альвен, К. Фельдхаммер. Космическая электродинамика
М., Изд. "Мир", 1967.
46. И. Ф. Кварцхава, Г. Г. Зукакишвили, Д. С. Гваладзе,
Ю. В. Матвеев, Н. А. Размадзе, З. Д. Чкуасели, В. К. Орешкин,
И. Я. Бутов В сб.: "III международная конференция по исследу-
ванию физики плазмы и УТР. Новосибирск, август 1968 г."
Новосибирск, 1969, т. 1, с. 237.
47. И. Ф. Кварцхава, Г. Г. Зукакишвили, Ю. В. Матвеев, Д. С. Гва-
ладзе, Н. А. Размадзе, А. А. Бесшапошников, Э. К. Тихонов,
Э. Д. Чкуасели, Э. Д. Хаутиев, И. Я. Бутов. В кн.: "IY между-
народная конференция по исследованию физики плазмы и УТР,
Висконсин, Медисон, США, июль 1971".
48. Н. Н. Комаров, В. М. Фадеев. ЖЭТФ, 1961, т. 41, вып. 2 (8),
с. 528.
49. Л. А. Арцимович. Управляемые термоядерные реакции, М. Физ-
матгиз, 1961.
50. Д. Роуз, М. Кларк. Физика плазмы и управляемые термоядер-
ные реакции, Госатомиздат, 1963.
51. Л. А. Арцимович. Физический энциклопедический словарь;
Издательство "Советская энциклопедия", 1965, т. 4.
52. B. Lenert. Plasma Physics (I, "Nuclear Energy", Part C),
1967, v. 9, p. 301 (1967).
53. W. H. Bostick, V. Nardi and W. I. Prior. Plasma Physics, 1972,
v. 8, Part I, p. 7.
54. V. Nardi. Phys. Rev. Lett, 1970, v. 25, N 11, p. 718.
55. W. H. Bostick. The Pinch Effect Revisited. "Intern. Journ.
Fus. Energy", 1977, v. 1, N 1.

THE PHENOMENON OF THE FORMATION OF SPATIALLY-
PERIODIC HIGH-CURRENT PLASMA STRUCTURES:

"KVARTSKHAVA STRUCTURE"

Summary

Spatially periodic plasma structures, formed and developed in Z -, θ and combined ($Z - \theta$) pinches, are considered against the quasi-stationary magnetic field and without it. It has been found that in these discharges plasma filamentary structures are formed along the electrical field (E-filaments) and along the magnetic field (H-filaments). The conditions for the emergence of high-current plasma structures are given.

E-filaments are elementary Z -pinches carrying the main part of the discharge current and satisfying Bennett selffocusing conditions. H-filaments appear in plasma when a system with developed E-filaments is already available. H-filaments can be considered as elementary θ -pinches.

Initial and boundary conditions affect the structure formation. The experiments are in satisfactory agreement with the theory.

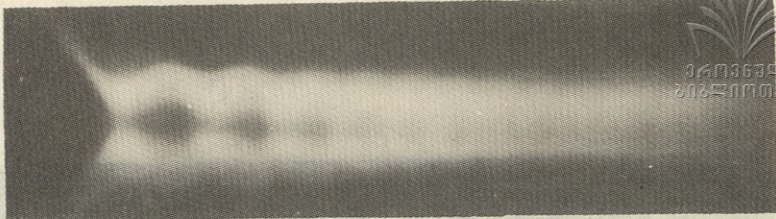


Рис. 1

Инерционное колебание водородной плазменной трубки тета-пинча. Разрядная камера из фарфора диаметром 27 см., длиной 100 см.; разрядная катушка-короткая, диаметром 39 см., длиной 40 см. Условия разряда: начальное давление - 50 Тор; период разряда - 40 мкс; емкость накопителя - 120 мкф; максимальные значения: напряжения - 30 кВ, разрядного тока - 560 кА, магнитного поля - 24 кЭ. Временная развертка: 7 мм - 1 мкс.

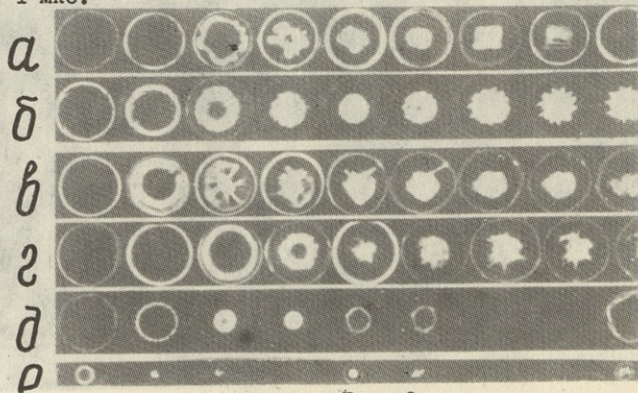


Рис. 2

СФР-грамма тета-пинча (режим "лупы времени", вид с торца разрядной камеры). Экспозиция кадра - 0,5 мкс, временной интервал между кадрами - 2мкс. Условия разряда даны в таблице.

Рис.	Газ	Р тор	Н кэрст	Диаметр (см)		Длина (см)	
				камеры	катушки	камеры	катушки
а	воздух	0,1	12	39	27	55	100
б	H ₂	0,1	35	39	27	15	100
в	He	0,7	35	39	27	15	100
г	He	0,05	18	39	27	55	100
д	He	0,1	10	39	27	55	100
е	He	0,05	70	4,5	4	15	100

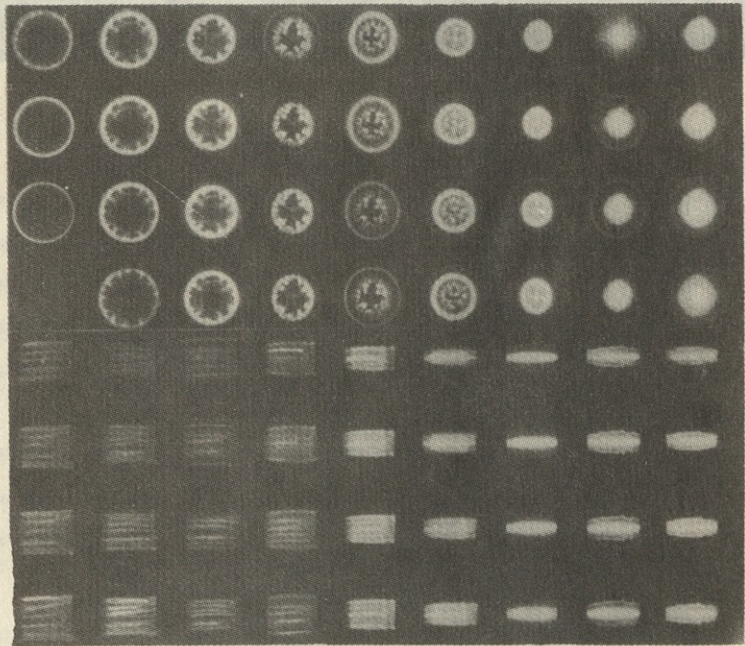


Рис. 3

Пространственно-периодическая структура плазмы зет-пинча в цилиндрической камере. Верхний снимок-вид с торца, нижний вид сбоку. Последовательность кадров на СФР-грамме снизу вверх и слева направо. Экспозиция кадра - 0,5 мкс. Условия разряда: газ - гелий, начальное давление - 0,1 Тор; период разряда - 13 мкс; емкость накопителей - 7,5 мкФ; максимальные значения: разрядного тока - 200 кА, напряжения - 70 кВ.

001	01	02	03	04	05	06	07
002	08	09	10	11	12	13	14
003	15	16	17	18	19	20	21
004	22	23	24	25	26	27	28
005	29	30	31	32	33	34	35
006	36	37	38	39	40	41	42
007	43	44	45	46	47	48	49

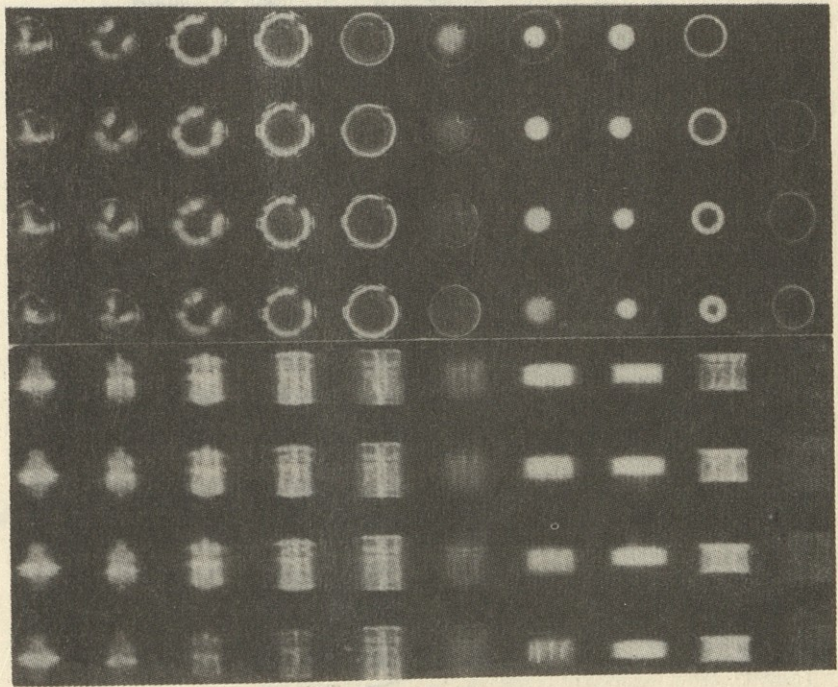


Рис. 4

Пространственно-периодическая структура плазмы тета-пинча. Верхний снимок - вид сбоку, нижний - вид с торца. Условия разряда: газ-гелий, давление - 0,1 Тор; емкость накопителей - 15 мкФ; период разряда - 16,5 мкс; экспозиция кадра - 0,5 мкс; максимальное значение: разрядного тока - 380 кА, магнитного поля - 13 кГс, напряжения - 68 кВ.

Рис. 7

Распределение тока в D-волнах в бет-пине...
 в зависимости от частоты разрядного...
 тока при давлении $p = 0,1$ Тор; $C = 10$ мкФ;
 $\tau = 0,01$ мс; $\tau_{\text{разр}} = 16,5$ мкс; ток в момент...
 I_0 - амплитуда тока; $I_{\text{эфф}}$ - эффективный ток;
 ток в D-волнах, $I_{\text{эфф}}$ - ток в D-волнах;
 в зависимости от частоты разрядного тока.

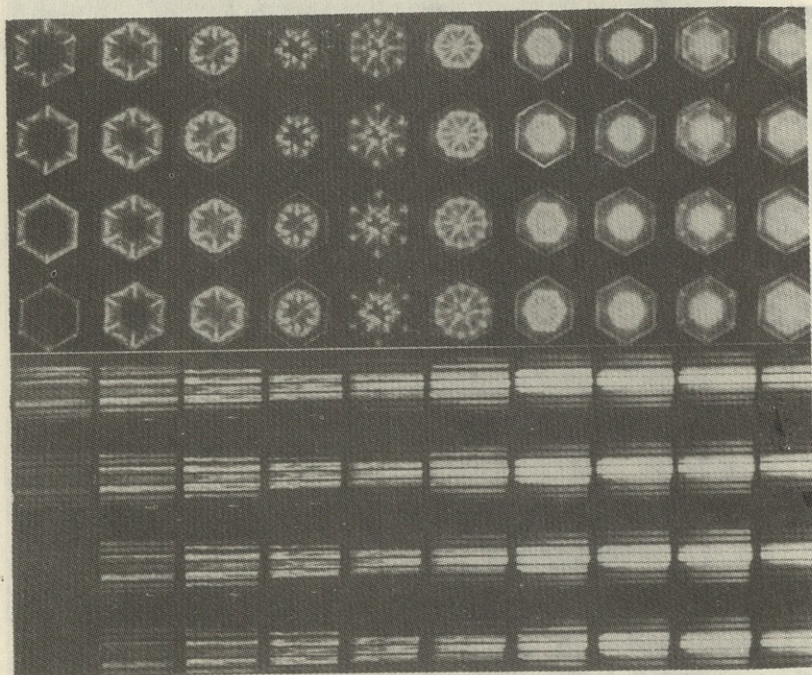


Рис. 5

Пространственно-периодическая структура плазмы зет-пинча в шестигранной камере. Верхний снимок - вид с торца, нижний - сбоку. Условия разряда: газ-гелий, начальное давление - 0,1 Тор; период разряда - 14 мкс; емкость накопителей - 7,5 мкф; максимальные значения: разрядного тока - 200 кА, напряжения - 68 кВ.

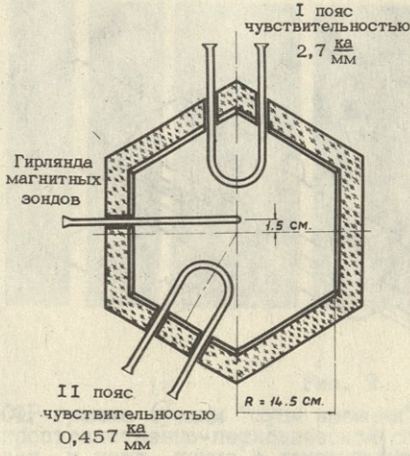


Рис. 6

Расположение поясов Роговского и гирлянды магнитных зондов в средней части разрядной камеры зет-пинча.

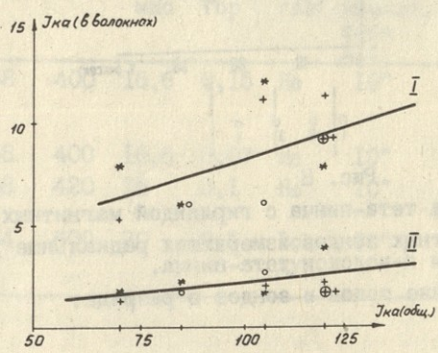


Рис. 7

Распределение тока в E-волокнах в зет-пинче в зависимости от величины разрядного тока при давлениях: \oplus - 0,1; + - 0,05; o - 0,02; * - 0,01 Тор. Точки в окрестности I- кривой соответствуют значениям тока в E-волокнах, измеренным I поясом, а в окрестности II кривой - измеренным II поясом.

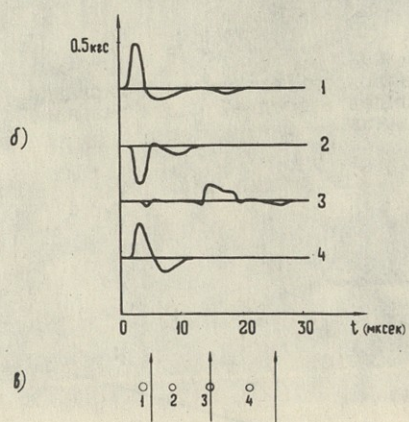
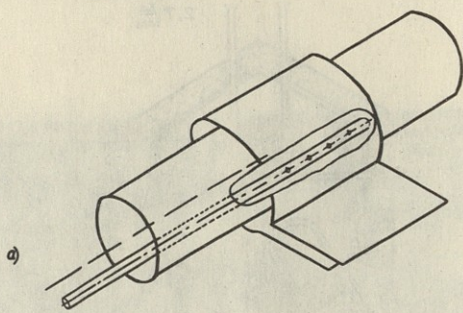


Рис. 8

- а) Разрядная камера тета-пинча с гирляндой магнитных зондов.
- б) Сигналы с магнитных зондов, измеряющих радиальные H_r - компоненты E -волокон тета-пинча.
- в) Взаиморасположение токов и зондов в разряде.

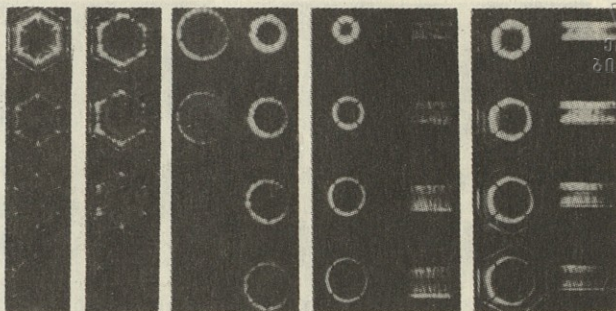
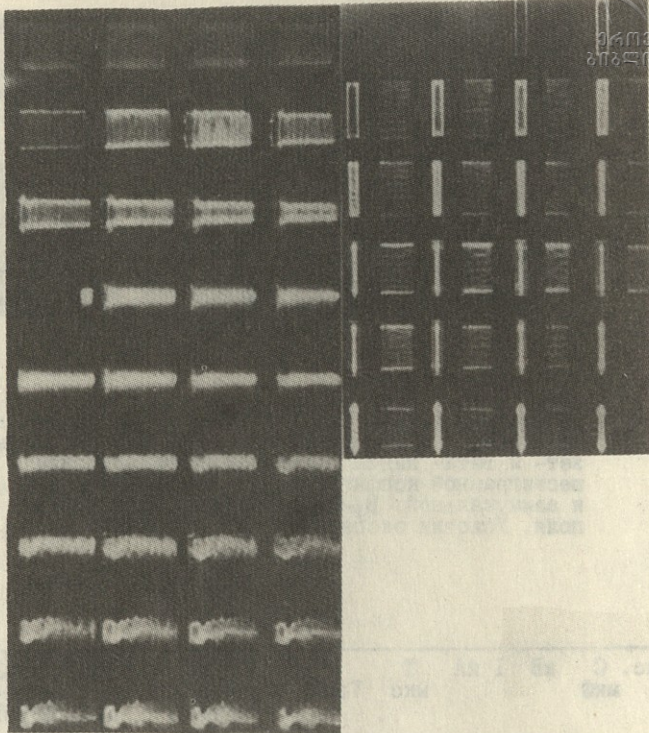


Рис. 9

СФР-грамма (режим "лупы времени"). Зависимость пространственно-периодической структуры плазмы зет- и тета- пинча в камерах цилиндрической и шестигранной конфигурации от аксиальной B_z и азимутальной B_ϕ составляющих магнитного поля. Условия экспериментов см. в таблице.

Рис.	С мкФ	кВ	I кА	T мкс	P Тор	газ	Скорость нараст. тока А/с	Разрядная камера дли- на	ширина	Вид пин- ча
а	15	68	400	16,6	0,15	He	10"	50	ширина границы I6	зет
б	15	68	400	16,6	0,07	He	10"	50	"-	зет-
в	15	68	420	15	0,1	He	10"	40	диаметр 30	зет-
г	30	64	600	20	0,1	Воз- дух	10"	40	"-	зет-



Րիս. 10

Пространственно-периодическая структура плазмы в "плоском" зет-пинче. а) Верхний ряд-снимки с широкой стороны камеры, нижний ряд-снимки со стороны торца разрядной камеры через полые электроды (см. схему на рис.10). б) Снимки зет-пинча с широкой стороны камеры, когда вдоль узких ее сторон по металлическим проводникам протекает стационарный ток. Условия разрядов: газ-гелий, начальное давление - 0,1 Тор; период разряда - 22, 13,8 мкс; емкость накопителей - 15, 30 мкФ; максимальные значения; разрядного тока - 200, 200 кА, напряжения - 30, 25 кВ, соответственно для а) и б). Стационарный ток 140 кА создает на внутренней стороне узкой стенки камеры поле 5,6 кЭ.

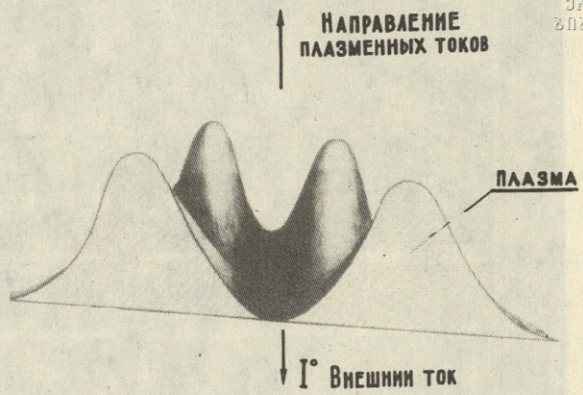


Рис. II

Рельеф плотности плазмы при наличии обратного внешнего тока.

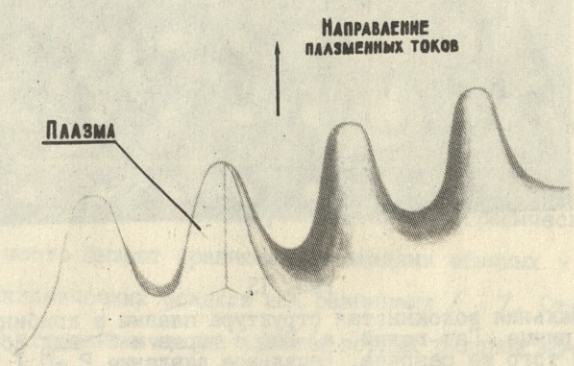


Рис. I2.

Рельеф плотной плазмы плоского слоя с пространственно-периодической структурой.

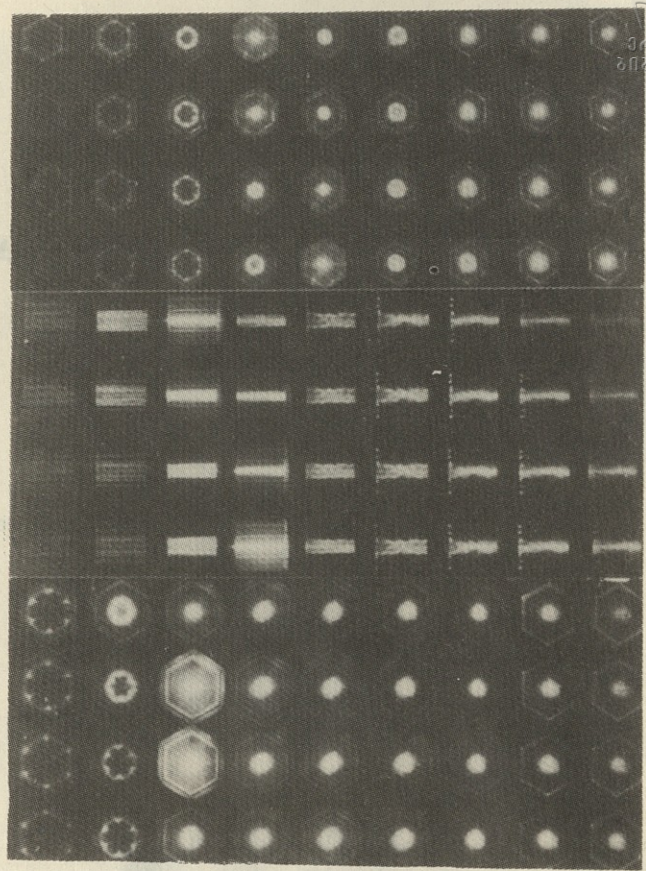


Рис. 13

Спиральная волокнистая структура плазмы в комбинированном пинче. Газ-гелий. а) Вид с торца и б) вид сбоку, одного и того же разряда. Начальное давление $P_0 = 0,1 \text{ Тор}$, период зет- и тета-пинча $T_z = 22 \text{ мкс}$, $T_\theta = 30 \text{ мкс}$., амплитудное значение токов $I_z = 230 \text{ кА}$, $I_\theta = 350 \text{ кА}$, смещение во времени между зет- и тета-пинчем $\Delta t = 4 \text{ мкс}$, в) вид с торца разряда большей мощности. $P_0 = 0,05 \text{ Тор}$; $T_z = 25,5 \text{ мкс}$; $T_\theta = 27 \text{ мкс}$; $I_z = 420 \text{ кА}$; $I_\theta = 700 \text{ кА}$; $\Delta t = 4 \text{ мкс}$.

УПРОЩЕННЫЕ МЕТОДЫ РАСЧЕТА ВЕРТИКАЛЬНЫХ СКОРОСТЕЙ
НА РАЗНЫХ УРОВНЯХ АТМОСФЕРЫ С УЧЕТОМ ВЛИЯНИЯ
ОРОГРАФИИ

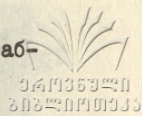
З.В.Хведелидзе, Т.П. Давиташвили

Одна из основных особенностей атмосферных движений - широкий спектр их масштабов - относится и к вертикальным скоростям. Вообще говоря, этот спектр непрерывен, т.е. в границах спектра можно выделить возмущения любой длины волны, но методически удобнее разбить этот спектр на участки в соответствии с характером метеорологических процессов, в которых тот или иной масштаб вертикальных скоростей является определяющим.

Опыты показывают, что площади, занимаемые орографическими осадками, часто бывают сравнимы с площадями обычных фронтально-циклонических осадков над равнинами / 1 /. Отсюда следует, что динамическое влияние горных склонов может распространяться на большие пространства, а в процессах формирования обширных зон орографических осадков важная роль принадлежит крупномасштабному механизму. Это позволяет производить учет орографии в рамках квинзигеострофической теории атмосферных движений.

Будем говорить только о крупномасштабных вертикальных скоростях, поскольку численные методы в настоящее время

достаточно разработаны лишь для прогноза макромасштабных процессов.



Цель данной работы состоит в получении прогностического выражения для τ , которая является аналогом вертикальной скорости и вычисляет соответствующие функции влияния. Для этого воспользуемся полной системой уравнений гидротермодинамики с учетом рельефа. Эта система имеет вид /2,3/

$$\frac{\partial u}{\partial t} + g \frac{\partial H}{\partial x} + a g \frac{\partial H}{\partial \zeta_0} - \rho v = - \left(u \frac{\partial u}{\partial x} + v \frac{\partial u}{\partial y} + \tau \frac{\partial u}{\partial \rho} \right) = -B_u, \quad (1)$$

$$\frac{\partial v}{\partial t} + g \frac{\partial H}{\partial y} + b g \frac{\partial H}{\partial \zeta_0} + \rho u = - \left(u \frac{\partial v}{\partial x} + v \frac{\partial v}{\partial y} + \tau \frac{\partial v}{\partial \rho} \right) = -B_v, \quad (2)$$

$$\frac{\partial u}{\partial x} + \frac{\partial v}{\partial y} + \frac{1}{\eta} \frac{\partial \tau}{\partial \zeta_0} = 0 \quad (3)$$

$$\zeta_0^2 \eta g \frac{\partial^2 H}{\partial t \partial \zeta_0} + c^2 \tau = - \zeta_0^2 \eta \left(u g \frac{\partial^2 H}{\partial x \partial \zeta_0} + v g \frac{\partial^2 H}{\partial y \partial \zeta_0} \right) = -B_\tau. \quad (4)$$

Здесь

$$a = -\zeta_0 \frac{\partial \ln \eta}{\partial x}; \quad b = -\zeta_0 \frac{\partial \ln \eta}{\partial y}; \quad \zeta_0 = \frac{\rho}{\rho_x(x, y)},$$

остальные обозначения общеизвестны /1/.

С помощью теоремы Гельмгольца, на основании которой имеем

$$u = - \frac{\partial \Psi}{\partial y} + \frac{\partial \varphi}{\partial x}; \quad v = \frac{\partial \Psi}{\partial x} + \frac{\partial \varphi}{\partial y},$$

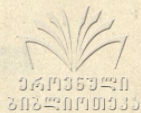
где Ψ - функция тока, φ - потенциал скорости, перепишем систему (1) - (3) в виде

$$\frac{\partial \Delta \Psi}{\partial t} + \rho \Delta \varphi + \frac{\partial}{\partial \zeta_0} \left(b \frac{\partial \varphi}{\partial x} - a \frac{\partial \varphi}{\partial y} \right) = B_{\Omega}, \quad (5)$$

$$\frac{\partial \Delta \varphi}{\partial t} + \Delta \varphi - \rho \Delta \Psi + \frac{\partial}{\partial \zeta_0} \left(a \frac{\partial \varphi}{\partial x} + b \frac{\partial \varphi}{\partial y} \right) = B_{\varphi}, \quad (6)$$

$$\frac{\partial \tau}{\partial \zeta_0} = - \Delta \varphi, \quad (7)$$

где значения B_Ω и B_∂ очевидны, $\beta = \frac{d\ell}{dy}$ — параметр Россби, а $\Phi = gH$.



Применяя оператор Карсона-Хевисайда по $t_1 = \ell t$, $\bar{f} = \rho \int_0^\infty f e^{-\rho t} dt$, получим:

$$\rho \Delta \bar{\psi} + \Delta \bar{\psi} + \frac{1}{\ell} \frac{\partial}{\partial \zeta_0} (\ell \frac{\partial \bar{\Phi}}{\partial x} - a \frac{\partial \bar{\Phi}}{\partial y}) = \frac{1}{\ell} B_\Omega + \rho \Delta \psi_0; \quad (8)$$

$$\rho \Delta \bar{\psi} + \frac{1}{\ell} \Delta \bar{\Phi} - \Delta \bar{\psi} + \frac{1}{\ell} \frac{\partial}{\partial \zeta_0} (a \frac{\partial \bar{\Phi}}{\partial x} + \ell \frac{\partial \bar{\Phi}}{\partial y}) = \frac{1}{\ell} B_\partial + \rho \Delta \psi_0; \quad (9)$$

$$\rho \zeta_0^2 \eta \frac{\partial \bar{\Phi}}{\partial \zeta_0} + \frac{c^2}{\ell} \bar{\tau} = B_\tau + \rho \zeta_0^2 \eta \frac{\partial \psi_0}{\partial \zeta_0}; \quad (10)$$

$$\frac{1}{\eta} \frac{\partial \bar{\tau}}{\partial \zeta_0} = -\Delta \bar{\psi}. \quad (11)$$

Из этих уравнений получается уравнение для $\bar{\tau}$ вида

$$\zeta_0^2 \frac{\partial^2 \bar{\tau}}{\partial \zeta_0^2} + \frac{c^2}{\ell^2} \frac{1}{\rho^2 + 1} \Delta \bar{\tau} + \frac{c^2}{\ell^2} \zeta_0^2 \frac{1}{\rho^2 + 1} \frac{\partial}{\partial \zeta_0} \frac{1}{\zeta_0^2} (B \frac{\partial \bar{\tau}}{\partial x} + c_1^2 \frac{\partial \bar{\tau}}{\partial y}) = F, \quad (12)$$

где

$$B = \frac{\rho a + \ell}{\ell}; \quad c_1 = \frac{\rho \ell - a}{\ell}.$$

В выражение F входят комбинации правых частей системы (8) - (11).

Для решения этого уравнения необходимо задать два граничных условия для ζ_0 , а именно:

$$1) \zeta_0 \rightarrow 0, \quad \bar{\tau} = 0; \quad (13)$$

$$2) \zeta_0 = 1; \quad \tau = \rho \left(\frac{\partial \varphi}{\partial t} + u \frac{\partial \varphi}{\partial x} + v \frac{\partial \varphi}{\partial y} + a u \frac{\partial \varphi}{\partial \zeta_0} + \ell v \frac{\partial \varphi}{\partial \zeta_0} \right), \quad (14)$$

т.е. условия обтекания твердой поверхности Земли.

Решение (12) при условиях (13)-(14) в аналитическом виде пока не удается, поэтому попробуем получить решение

упрощенного уравнения.

Используем приближенное соотношение между τ которое справедливо для любого уровня атмосферы (при условии геострофичности),

$$\tau = \rho_1 \frac{\partial \varphi}{\partial t}, \quad (15)$$

где ρ_1 - плотность на данной поверхности.

После применения оператора Карсона-Хевисайда получим

$$\bar{\tau} = \rho_1 \bar{\varphi}. \quad (16)$$

Учитывая (16), с помощью уравнений (8) - (11) имеем

$$-\frac{\rho^2+1}{\gamma} \frac{\partial \bar{\tau}}{\partial \xi_0} + \frac{\rho}{\ell \rho_1} \Delta \bar{\tau} + \frac{B}{\rho_1} \frac{\partial^2 \bar{\tau}}{\partial x \partial \xi_0} + \frac{C_1}{\rho_1} \frac{\partial^2 \bar{\tau}}{\partial y \partial \xi_0} = F_1. \quad (17)$$

Здесь

$$F_1 = \frac{1}{\ell} B \Omega + \rho \Delta \psi_0 + \frac{\rho}{\ell} B_0 + \rho^2 \Delta \varphi_0.$$

Подставим

$$\bar{\tau} = \tau_1(\xi_0) e^{-\frac{\ell}{2\rho}(Bx + C_1 y)},$$

получим

$$\frac{d\bar{\tau}_1}{d\xi_0} - \mathcal{A}^2 \bar{\tau}_1 = F_2, \quad (18)$$

где

$$\mathcal{A}^2 = \frac{\ell^2 (B^2 + C_1^2)}{4\rho^2 \left[\frac{\ell^2}{2\rho} (B^2 + C_1^2) + \frac{\rho^2+1}{\rho} \frac{\ell \rho_1}{\gamma} \right]} = \frac{1}{\rho \left(2 + \frac{4\ell \rho_1}{\gamma (a^2 + b^2)} \right)};$$

$$F_2 = \frac{\frac{\ell \rho_1}{\rho} F_1}{\frac{\ell^2}{2\rho} (B^2 + C_1^2) + \frac{\rho^2+1}{\rho} \frac{\ell \rho_1}{\gamma}} e^{-\frac{\ell}{2\rho}(Bx + C_1 y)} \quad (19)$$



Решение уравнения (18) с учетом условия (13) можно пред-
ставить в виде

$$\bar{\tau}_1 = \frac{F_2}{\rho^2} (\rho^2 \xi_0 - 1). \quad (20)$$

Возвращаясь к $\bar{\tau}$ и учитывая (19), получаем

$$\tau = \frac{\mathcal{D}}{\rho^2 + 1} (\rho^2 \xi_0 - 1). \quad (21)$$

Здесь

$$\mathcal{D} = \frac{2 \ell \rho_1 \eta}{(\alpha^2 + \beta^2) \eta + 2 \ell \rho_1}$$

Нужно обратиться к следующим операторам:

$$\rho^{\frac{\kappa}{\rho}}; \frac{1}{\rho^2 + 1}; \frac{\rho}{\rho^2 + 1}; \frac{\rho^2}{\rho^2 + 1}.$$

Из таблицы /4/ находим

$$\rho^{\frac{\kappa}{\rho}} \doteq \mathcal{Y}_0(2\sqrt{\kappa t}); \quad \frac{1}{\rho^2 + 1} \doteq 1 - \cos t;$$

$$\frac{\rho}{\rho^2 + 1} \doteq \sin t; \quad \frac{\rho^2}{\rho^2 + 1} \doteq \cos t.$$

Следовательно, воспользовавшись теоремой умножения,
решение уравнения (18) можно записать в виде:

$$\begin{aligned} \tau = \mathcal{D} \left\{ \frac{1}{\ell} B_{\Omega} \left[\int_0^t \mathcal{Y}_0(2\sqrt{\kappa(t-t_1)}) (1 - \cos t_1) dt_1 - \right. \right. \\ \left. \left. - (1 - \cos t) \right] + \left(\Delta \varphi_0 + \frac{B_{\Omega}}{\ell} \right) \left[\int_0^t \mathcal{Y}_0(2\sqrt{\kappa(t-t_1)}) \sin t_1 dt_1 - \right. \right. \\ \left. \left. - \sin t \right] + \Delta \varphi_0 \left[\int_0^t \mathcal{Y}_0(2\sqrt{\kappa(t-t_1)}) \cos t_1 dt_1 - \cos t \right] \right\} \quad (22) \end{aligned}$$

где
$$\kappa = \frac{5_0 \eta (\alpha^2 + \beta^2)}{2\eta (\alpha^2 + \beta^2) + 4\ell \rho_1}.$$

Обозначим

$$G_1 = \int_0^t y_0 (2\sqrt{\kappa(t-t_1)}) (1 - \cos t_1) dt_1 - (1 - \cos t);$$

$$G_2 = \int_0^t y_0 (2\sqrt{\kappa(t-t_1)}) \sin t_1 dt_1 - \sin t;$$

$$G_3 = \int_0^t y_0 (2\sqrt{\kappa(t-t_1)}) \cos t_1 dt_1 - \cos t.$$

Для получения интересующего нас результата целесообразно представить G_i в виде ряда по степеням t .

Эти функции были запрограммированы на машине "БЭСМ-6" и вычислялись для значения $t = 1, 2, 3 \dots 24$ ч. В расчете учитывались члены до t^4 включительно. Соответствующие графики G_i даны на рис. Оказалось, что влияние B_{Ω} (нелинейная часть уравнений движения) на $\tau (G \sim *)$ сильно в начальной стадии. После $t = 3$ ч. это влияние почти не сказывается. Такой же характер имеют и влияния $(\Delta \varphi_0 + \frac{B_{\Omega}}{c}) G_2$ (см. график для $G_2 \sim 0$) и $\Delta \varphi_0$ (см. график для $G_3 \sim \Delta$) на изменения значения τ . Интересно, что одинаковые картины получаются на разных изобарических поверхностях (1000, 850, 700, 500, 300 мб). Из анализа графиков можно заключить, что влияние горы сильно в начальный момент развития вертикальных движений и имеет одинаковый вид на всех уровнях. Эти результаты соответствуют тем выводам, которые были получены в работах /1, 5 /.

Поступила 6. III. 1980

Кафедра
геофизики

ЛИТЕРАТУРА

1. А.И.Ромов, Известия АН СССР. "Физика атмосферы и океана", т.УП, № II, 1971, стр.54-60.

A SIMPLIFIED METHOD OF CALCULATING VERTICAL VELOCITIES
AT DIFFERENT ATMOSPHERIC LEVELS WITH ACCOUNT OF THE
INFLUENCE OF OROGRAPHY

Summary

The problem of predicting short-term local vertical velocity is posed with the aid of a complete system of hydrodynamic equations. The influence of orography is taken account of through the $\zeta_0 = \frac{p}{p_2(x,y)}$ system.

Calculation of the functions of the corresponding influence has revealed that mountain influence on the vertical motion is stronger at the initial stage, being almost identical at all isobaric levels.

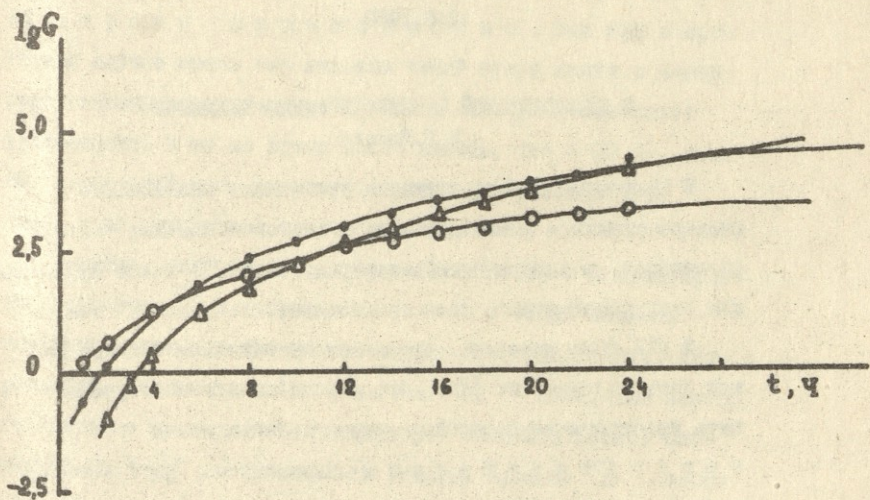


Рис. I

О КЛАССИЧЕСКОЙ ЭЛЕКТРОДИНАМИКЕ ТАХИОНОВ

Ю.Г.Борода

В настоящей работе получены уравнения, описывающие электромагнитное взаимодействие тахионов и обычных частиц (брадионов) в классической электродинамике, а также выражения для электромагнитного поля произвольно движущегося тахиона.

В /1/ было показано, что в основу описания тахиона должен быть положен тот факт, что лоренц-инвариантно упорядочить пространственноподобную мировую линию можно лишь пространственным параметром. Такое описание тахиона альтернативно описанию, основанному на реинтерпретационном принципе /2,3/.

В нашем подходе тахион в обычной (связанной с брадионами) системе отсчета / GO/K математически представляет лишь особого рода лоренц-преобразование /1/ брадиона, покоящегося в $GO K'$, движущейся относительно K со скоростью $|\vec{V}| > c$ (c - скорость света в вакууме, ниже $c \equiv 1$). Наиболее прост и удобен для применений предельный (при $|\vec{V}| \rightarrow \infty$) вид этих преобразований, записанных в псевдоевклидовой форме

$$dt = dx'; \quad dy = idy'; \quad dx = idx'; \quad dx = dt'; \quad (i^2 = -1), \quad (1)$$

где ось Ox выбрана вдоль скорости \vec{V} .

Скорость \vec{V} создает в трехмерном пространстве ϕ и z и -

чески выделенное направление, так что обычные СО $K_{||}$, движущиеся параллельно \vec{V} , становятся физически неэквивалентными обычным СО K_{\perp} , имеющим компоненту скорости, перпендикулярную \vec{V} . Действительно, в СО $K_{||}$ тахон в произвольном внешнем поле должен двигаться строго прямолинейно, так как в противном случае среди его мировых линий будут линии с 4-мерными самопересечениями, что противоречит релятивистской причинности. В то же время легко видеть, что в СО K_{\perp} тахон, изменяющий свою скорость, описывает криволинейную (хоть и не замкнутую) траекторию.

Тахионы, получаемые преобразованиями (I) с коллинеарными скоростями \vec{V} , образуют класс. Таких классов — континуум, соответственно континууму пространственных направлений. Для каждого \vec{n} — класса (\vec{n} — единичный вектор трехмерного пространства) существует соответствующее множество СО $(K_{||})_{\vec{n}}$, относительно которых тахионы \vec{n} — класса движутся всегда прямолинейно. На пересечении этих множеств будет одна (с точностью до пространственных поворотов осей) выделенная СО K_0 , относительно которой прямолинейно движутся тахионы всех классов.* В определенном смысле СО K_0 играет роль системы "абсолютного покоя".

Разумеется, сказанное выше ни в коей мере не затрагивает физической эквивалентности обычных СО для процессов с участием только брадионов.

* Ниже, говоря о тахионах \vec{n} — класса, будем считать, что мы находимся в одной из СО $(K_{||})_{\vec{n}}$; ось Ox будем при этом располагать по \vec{n} .

Из (I) следует, что состояние системы тахионов \mathcal{X} -класса определено на гиперплоскости $\{-\infty < t < +\infty, -\infty < y < +\infty, -\infty < z < +\infty, x = const\}$. Это - важнейший пункт в построении корректного описания тахионов. В классической механике его следствием будет то, что под траекторией тахиона следует понимать однозначную функцию $t = t(x)$; под скоростью - производную $u \equiv (dt/dx)$ ($|u| < 1$); энергия \mathcal{P}_t и импульс \mathcal{P}_x тахиона с массой m определяются при этом как $\mathcal{P}_t = \gamma m u$, $\mathcal{P}_x = \gamma m = (m^2 + \mathcal{P}_t^2)^{1/2}$; $\gamma \equiv (1 - u^2)^{-1/2}$, а уравнение движения должно определять производную $d\mathcal{P}_t(x)/dx$ ($d\mathcal{P}_x/dx \equiv u d\mathcal{P}_t/dx$). Состояние тахионного поля будет задаваться совокупностью значений полевых функций и их производных на всей плоскости $\mathcal{X} = const$ за все время от $t \rightarrow -\infty$ до $t \rightarrow +\infty$. Любая динамическая величина $I = I(x)$ будет выражаться при этом интегралом по $dt dy dz$ от \mathcal{X} -компоненты соответствующей плотности тока $j_x(t, y, z, x)$:

$$I(x) = \int_{-\infty}^{+\infty} dt \int_{-\infty}^{+\infty} dy \int_{-\infty}^{+\infty} dz j_x(t, y, z, x), \quad (2)$$

а сохранение величины I - описываться уравнением $dI(x)/dx = 0$. Роль оператора эволюции будет играть при этом оператор полного \mathcal{X} -импульса поля.

В силу прямолинейности движения импульс \mathcal{P}^i и ток \mathcal{J}^i тахионов \mathcal{X} -класса представляют собой 2-векторы

$$\mathcal{P}^i \equiv (\mathcal{P}_x, \mathcal{P}_t); \quad \mathcal{J}^i \equiv (\mathcal{J}_x, \mathcal{J}_t).$$


Легко видеть, что (I) преобразуют истинный 2-вектор (в K') в псевдо-2-вектор (в K). Если, как обычно, массу и заряд частицы считать истинными скалярами, то 2-векторы импульса и тока тахионов представляют собой

псевдо-2-векторы. Это приводит, во-первых, к тому, что тахионы в принципе не могут рождаться или поглощаться в реакциях между брэдьюонами. Следовательно, источник (поглотитель) тахионов, состоящий из брэдьюонов, принципиально невозможен. Это снимает "причинные парадоксы", выдвигавшиеся против тахионов (см., например, обзоры /4-6/). Как можно видеть, парадоксы эти возникали не из гипотезы существования тахионов, но из предположения, что тахионами можно сигнализировать. Из сказанного выше, в частности, следует, что тахионы имеет смысл искать лишь в космических лучах. Длина свободного пробега стабильного тахиона в брэдьюонной материи должна быть бесконечной, нестабильный же тахион, как следует из (I), будет иметь длину свободного пробега, ограниченную снизу.

Во-вторых, брэдьюонный и тахионный токи, имея противоположные четности, не могут аддитивно складываться. Следовательно, тахионные токи могут входить в правые части лишь уравнений Максвелла для $\text{div} \vec{H}$ и $\text{rot} \vec{E}$. Действительно, методом раскрытия ковариантных выражений в "тахионной метрике" /1/ уравнения Максвелла для полей \vec{E} , \vec{H} , создаваемых тахионными токами, могут быть получены /7/ в виде

$$\text{div} \vec{E} = 0; \text{rot} \vec{E} + \frac{\partial \vec{H}}{\partial t} = -4\pi \vec{J}; \text{div} \vec{H} = 4\pi \vec{J}_t; \text{rot} \vec{H} - \frac{\partial \vec{E}}{\partial t} = 0. \quad (3)$$

Уравнения (3) столь же асимметричны, что и уравнения Максвелла для полей брэдьюонов, но характер этой асимметрии -


 0419353-20
 0101033

противоположный. Отсюда следует, что асимметрия уравнений Максвелла для чистобрадионных (тахсионных) источников является лишь выражением фундаментального факта, что материальная частица не может пересечь светового барьера. В этой связи искусственная симметризация брадионных уравнений Максвелла введением гипотезы брадионного магнитного монополя является, по видимому, излишней. Подчеркнем, однако, что свойства, предполагавшиеся для монополя, существенно отличатся от свойств заряженного тахиона, так что между ними отнюдь не следует ставить знака тождества.

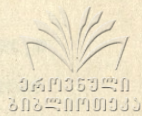
Важное отличие (3) от уравнений Максвелла для брадионов состоит также и в том, что если в последних квадрат 4-вектора тока имел фиксированный знак (сумма времениподобных 4-векторов есть снова времениподобный вектор), что накладывало определенные ограничения на поля заряженных брадионов, то в (3) этого ограничения уже не будет, так как векторная сумма пространственноподобных векторов может дать как пространственноподобный так и времениподобный вектор.

Уравнения (3) вместе с выражением полей через псевдо-4-вектор-потенциал $B' = (\vec{B}, \phi)$

$$\vec{E} = \text{rot } \vec{B}; \quad \vec{H} = \text{grad } \phi + \frac{\partial \vec{B}}{\partial t} \quad (4)$$

можно получить из (1), если преобразовывать поля так:

$$\begin{aligned} E_x = H'_x; \quad E_y = iE'_x; \quad E_z = -iE'_y; \\ H_x = -E'_x; \quad H_y = iH'_x; \quad H_z = -iH'_y \end{aligned} \quad (5)$$



(здесь и ниже поля брадионов обозначены строчными буквами \vec{E} , \vec{H} в отличие от прописных \vec{E} , \vec{H} , обозначающих поля тахионов).

Преобразуя с помощью (5), (1) поля Льенара-Вихерта прямолинейно движущегося брадиона и учитывая в системе положительность квадрата радиуса-вектора введением единичной θ -функции, получим поля Льенара-Вихерта тахиона с зарядом q , движущегося вдоль оси OX по траектории $t_0 = t_0(x)$. В цилиндрических координатах ρ, φ, x отличные от нуля компоненты полей $\mathcal{H}_x, \mathcal{H}_\rho, \mathcal{E}_\varphi$ имеют вид

$$\mathcal{H}_x = -q \gamma^{-3} \theta(\gamma^2) \{ (1-u_0^2) [(t-t_0) - \beta u_0] + \rho^2 u_0' \}; \quad (6a)$$

$$\mathcal{E}_\varphi = -q \gamma^{-3} \theta(\gamma^2) \rho [(1-u_0^2) + u_0' (t-t_0)]; \quad (6b)$$

$$\mathcal{H}_\rho = +q \gamma^{-3} \rho (u_0 + \beta u_0') \theta(\gamma^2);$$

$$\beta \equiv [(t-t_0)^2 - \rho^2]^{1/2}; \quad \gamma \equiv [\beta - u_0(t-t_0)];$$

$$u_0' \equiv du_0/dx; \quad u_0 \equiv dt_0/dx. \quad (6в)$$

Все функции от x берутся в (6) в точке $\xi(x) = x - \beta(\xi)$. В частном случае $u_0 = \text{const}(x)$ и $t_0 = 0$ при $x=0$ из (6) получим

$$\mathcal{H}_x = -q \gamma_0^3 (t - u_0 x); \quad \mathcal{E}_\varphi = -q \gamma_0^3 \rho; \quad \mathcal{H}_\rho = -u_0 \mathcal{E}_\varphi = q \gamma_0^3 u_0 \rho; \quad (7a)$$

$$\gamma_0 \equiv (1-u_0^2)^{1/2} [(t-u_0 x)^2 - (1-u_0^2) \rho^2]^{-1/2} \times$$

$$x \theta[(t-u_0 x)^2 - (1-u_0^2) \rho^2]. \quad (7b)$$

Поле (7) заключено внутри области, ограниченной конической (относительно оси OX) поверхностью с углом раствора $\alpha_0 = \text{arctg}[u_0 \cdot (1-u_0^2)^{-1/2}]$, симметричной относительно вершины, в которой находится тахион (см. рис.). Вся конфигурация поля движется при этом со сверхсветовой скоростью $V \equiv dX/dt = (1/u_0) > 1$, вправо при $u_0 > 0$, влево - при $u_0 < 0$. Вектор Пойнтинга $\vec{S} (S_x = u_0 \mathcal{E}_\varphi^2; S_\rho = (t-u_0 x) \mathcal{E}_\varphi^2; S_\varphi = 0)$, взятый

в точках конической поверхности с углом раствора $\alpha < \alpha_0$ (показанной на рис. пунктиром), оказывается перпендикулярным этой поверхности, причем в переднем ($x > t/u_0$ для $u_0 > 0$) полуконусе он направлен к оси, а в заднем ($x < t/u_0$) - от оси, различаясь в точках, симметричных относительно вершины, лишь знаком. Это означает, что хотя поле, связанное с равномерно движущимся заряженным тахионом, существенно зависит от времени, такой тахион не излучает, но лишь переносит электромагнитную энергию-импульс. Это вносит определенную ясность в дискуссии о черенковском излучении тахионом в вакууме (см., напр., /8/).

Из (7) видно, что с заряженным тахионом жестко скоррелирована не только запаздывающая, но и опережающая волна - электромагнитный "предвестник" тахиона. Заряженный тахион так же невозможно представить без этого предвестника, как и электрон, создавший поле в одном пространстве и не создавший его в другом. Эта особенность тахионов важна для правильной постановки начальных и граничных условий при рассмотрении действия тахиона на брэдйонную материю.

Принципиальное значение для тахионной электродинамики имеет поведение компонент тахионных полей \vec{E} , \vec{H} при инверсиях пространства и времени (ниже $\rho^{(a)}$ обозначает четность при инверсии $K^{\#}$ координаты, $K = t, y, z, x$). Четности \vec{E} , \vec{H} , которые можно найти из (5), (I), приведены в табл. I, где, для удобства сравнения, приводятся и четности компонент брэдйонного поля \vec{E} , \vec{H} . Из табл. I видно, что уравнения движения брэдйона в поле тахиона не могут

иметь вида $d\vec{P}/dt = e\vec{E} + e[\vec{v} \times \mathcal{H}]$, так как в силу противоположных y - и z - четностей у правой и левой частей этого уравнения, обе части должны тождественно обращаться в ноль. Тем не менее, сравнивая четности $dP/dt = \dot{P}_i \vec{E}$ и величин $v_\alpha \mathcal{E}_\beta$, $v_\alpha \mathcal{H}_\beta$ (табл.2), можно получить линейные по полям и скоростям уравнения движения (инвариантные относительно преобразований между $SO K_{11}$) в следующем виде:

$$\begin{aligned} \frac{dP_x}{dt} &= e(v_y \mathcal{H}_y + v_z \mathcal{H}_z); \quad \frac{dP_y}{dt} = e\mathcal{E}_z - ev_x \mathcal{H}_y; \\ \frac{dP_z}{dt} &= e\mathcal{E}_y - ev_x \mathcal{H}_z. \end{aligned} \quad (8)$$

Отметим, что уравнения (8) могут быть получены и из принципа наименьшего действия, если для брадиона в поле тахиона \mathcal{X} -класса интеграл действия записать в виде

$$S = -e \int (B_x dt - \mathcal{V} dx), \quad (9)$$

где на псевдо-2-вектор-потенциал (4) наложено условие $\partial B_x / \partial x + \partial \mathcal{V} / \partial t = 0$.

Таблица I

	\mathcal{E}_x	E_x	\mathcal{E}_y	E_y	\mathcal{E}_z	E_z	\mathcal{H}_x	H_x	\mathcal{H}_y	H_y	\mathcal{H}_z	H_z
$P^{(t)}$	+	+	+	+	+	+	-	-	-	-	-	-
$P^{(x)}$	-	-	+	+	+	+	+	+	-	-	-	-
$P^{(y)}$	-	+	+	-	-	+	+	-	-	+	+	-
$P^{(z)}$	-	+	-	+	+	-	+	-	+	-	-	+

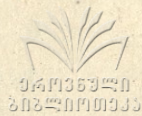
	\dot{P}_t	\dot{P}_x	\dot{P}_y	\dot{P}_z	$U_x^x E_x$	$U_x^y E_y$	$U_x^z E_z$	$U_y^x E_x$	$U_y^y E_y$	$U_y^z E_z$	$U_z^x E_x$	$U_z^y E_y$	$U_z^z E_z$	$U_x^x H_x$	$U_x^y H_y$	$U_x^z H_z$	$U_y^x H_x$	$U_y^y H_y$	$U_y^z H_z$	$U_z^x H_x$	$U_z^y H_y$	$U_z^z H_z$
$\rho^{(t)}$	+	+	+	-	-	-	-	+	+	+	-	-	-	+	+	+	-	-	-	+	+	+
$\rho^{(x)}$	-	+	+	+	+	-	-	-	+	+	-	+	+	-	-	-	-	+	+	+	-	-
$\rho^{(y)}$	+	-	+	+	-	+	-	+	-	+	+	-	+	-	+	-	-	+	-	+	-	+
$\rho^{(z)}$	+	+	-	+	-	-	+	+	+	-	-	-	+	+	+	-	+	+	-	-	-	+

Если попытаться найти уравнение движения тахиона в брэддонном поле, то из соображений четности единственным уравнением, линейным по скорости тахиона и брэддонному полю, будет уравнение $d\pi_t/dx = euE_x$. Однако, как можно видеть, это уравнение не составляет лоренцинвариантной пары со своим необходимым следствием $d\pi_x/dx = eu^2E_x$. Поэтому либо заряженные тахионы вообще не реагируют на поля брэддонов, либо уравнения движения тахионов в поле брэддонов должны быть нелинейными. Наконец, выписывая следующие из (5) преобразования тензора энергии-импульса ($\hat{\sigma}_{\mu\nu}$ - тензор напряжений, W - плотность энергии)

$$\begin{vmatrix} \hat{\sigma}_{xx} & \hat{\sigma}_{xp} & \hat{\sigma}_{xy} & S_x \\ \hat{\sigma}_{px} & \hat{\sigma}_{pp} & \hat{\sigma}_{py} & S_p \\ \hat{\sigma}_{yx} & \hat{\sigma}_{yp} & \hat{\sigma}_{yy} & S_y \\ S_x & S_p & S_y & W \end{vmatrix} = \begin{vmatrix} -W' & -iS'_p & -iS'_y & -S'_x \\ -iS'_p & \hat{\sigma}'_{pp} & \hat{\sigma}'_{py} & -i\hat{\sigma}'_{xp} \\ -iS'_y & \hat{\sigma}'_{yp} & \hat{\sigma}'_{yy} & -i\hat{\sigma}'_{yp} \\ -S'_x & i\hat{\sigma}'_{xp} & i\hat{\sigma}'_{yp} & -\hat{\sigma}'_{xx} \end{vmatrix} \quad (10)$$

и интегрируя один из четырех следующих из (10), (1) законов сохранения

$$\frac{\partial S_x}{\partial x} = -\frac{1}{\rho} \frac{\partial}{\partial \rho} (\rho S_p) - \frac{1}{\rho} \frac{\partial S_v}{\partial \varphi} - \frac{\partial W}{\partial t} + j_{\text{ex}} \mathcal{H}_x, \quad (11)$$



получим уравнение движения тахсона в поле остальных тахсонов (того же \mathcal{X} -класса)

$$\frac{d\pi_t}{dx} = -q \mathcal{H}_x; \quad \frac{d\pi_x}{dx} = -q u \mathcal{H}_x. \quad (12)$$

автор приносит благодарность участникам семинара в Институте ядерной физики высоких энергий при ТГУ под руководством Т.И.Копалейшвили за обсуждение данной работы, Г.И.Никобадзе, Г.В.Скороцкому за внимание и поддержку, Е.М.Тодриной за большую помощь в работе, Н.М.Полневктову-Николадзе, Д.А.Киржницу, М.В.Перельману, И.И.Гуревичу за ценное обсуждение тахсоновой проблемы.

Поступила 20.III.1980

Институт неорганической
химии и электрохимии
АН СССР

ЛИТЕРАТУРА

1. Ю.Г.Борода. Доклад на XXI научной конференции МЭТИ 1975 г. В сб. "Труды МЭТИ, сер.Общ.и молек.физ.", МГО, с.238 (1978).
2. O.M.P.Bhuniuk, V.K.Deshpande and E.C.G.Sudarshan. Amer. J.Phys., 30, 718 (1962)
3. G.Feinberg, Phys. Rev., 159, 1089 (1967)
4. Д.А.Киржниц, В.Н.Сазонов, Эйншт.об., 1973, М., Наука, 1974, с.84.
5. В.С.Барашенков.УФН, 17, 774 (1975).

Summary

The paper deals with the description of the electrodynamics of tachyons, based on the conception suggested in the author's previous papers [1,7]. The basic idea of this conception is that the spacelike world line of tachyon can be parametrized Lorentz-invariantly only by the space coordinate and not by time. Such an approach is an alternative to Sudarshan's reinterpretation-principle (RIP) and is free of such consequences of the RIP as Lorentz-uninvariability of tachyon's vacuum state, the necessity of the Fermi-Dirac quantization of scalar field etc, developed by G. Feinberg in the tachyon field theory [3]. It is shown that the principle of relativity slackens in the case of tachyons, because the motion, parallel to the velocity of tachyon and transversal to it become physically unequal. It is shown that for each tachyon there exists a class of reference-frames in relation to which the tachyon will move strictly rectilinearly in the arbitrary field.

By means of infinite-velocity Lorentz-transformation [1] it is shown that tachyon cannot be generated and absorbed in the bradyon matter, which removes all the paradoxes of causality, linked with tachyons and permits to search for tachyons only in the cosmical rays.

Expressions for the electromagnetic field of an arbitrarily moving charged tachyon are derived. It is shown that a charged tachyon is linked not only with a retarding but also with advancing electromagnetic wave (both waves are axial-symmetrical relative to the line of tachyon motion). Incidentally, a uniformly moving tachyon does not radiate, but only reradiates the electromagnetic energy-impulse.

Through an analysis of the time-and-space parities of electric + magnetic fields Lorentz-invariant equations are obtained, describing the action of the tachyon on the bradyons and allowing Lagrange formulation. It is shown that there cannot exist equations describing the action of bradyons on the tachyon, being Lorentz-invariant and at the same time linear in the field and tachyon velocity. An equation is also derived, describing the motion of tachyon in the external field of other tachyons moving parallel to it.

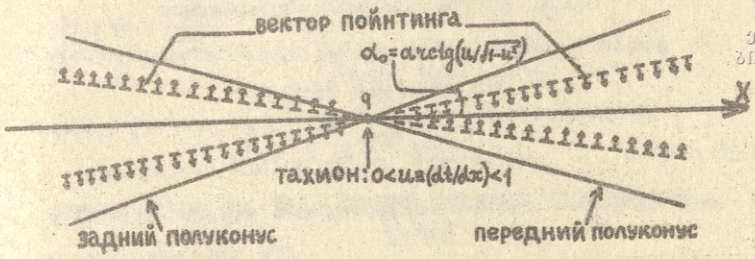


Рис.
Поле равномерно движущегося тахиона

216, 1980

ИЗУЧЕНИЕ УСТОЙЧИВОСТИ РЕШЕНИЙ ЗАДАЧ ДЛЯ МНОГОАТОМНЫХ СИСТЕМ

Н.С.Вашакмадзе - Васильева

Как известно, при исследовании биологически-активных молекул часто возникает необходимость изучения условий образования устойчивых соединений.

В данной работе рассматривается один из вопросов, связанных с этой темой, а именно - нахождение достаточных условий минимума энергетического функционала \mathcal{M} -атомной системы, содержащей N электронов.

В нерелятивистском приближении модельный гамильтониан N -электронной системы в поле \mathcal{M} неподвижных центров может быть представлен в следующем виде:

$$\hat{\mathcal{H}}(N) = -\sum_{i=1}^N \frac{\hbar^2}{2m} \Delta_i - \sum_{a,i}^{N,N} \frac{Z_a e^2}{r_{ai}} + \sum_{i>j}^N \frac{e^2}{r_{ij}} \quad (1)$$

Введем следующие обозначения:

$$\hat{f}_i(1) = -\frac{\hbar^2}{2m} \Delta_i - \sum_{a=1}^M \frac{Z_a e^2}{r_{ai}}; \quad \hat{g}_{ij} = \frac{e^2}{r_{ij}} \quad (2)$$

Тогда $\hat{\mathcal{H}}(N)$ можно записать в виде суммы двух частей:

$$\hat{\mathcal{H}}(N) = \sum_{i=1}^N \hat{f}_i(1) + \sum_{i,j>i}^N \hat{g}_{ij} \quad (3)$$

Введем N -электронную пробную волновую функцию, удовлетворяющую принципу Паули в виде антисимметризованного произведения из N одноэлектронных молекулярных функций:

$$\Psi(N) = \frac{1}{\sqrt{N!}}$$

$$\begin{vmatrix} u_1(1) & u_1(2) & \dots & u_1(N) \\ u_2(1) & u_2(2) & \dots & u_2(N) \\ \dots & \dots & \dots & \dots \\ u_N(1) & u_N(2) & \dots & u_N(N) \end{vmatrix}$$



(4)

Волновые функции $u_i(1)$ будем считать действительными.

$$\mathcal{E}(N) = \min \int \Psi^*(N) \hat{H}(N) \Psi(N) dv(N). \quad (5^a)$$

Составим энергетический функционал для N -электронной модельной системы:

$$\mathcal{Y}(N) = \int \Psi^*(N) \hat{H}(N) \Psi(N) dv(N), \quad (5)$$

где $\hat{H}(N)$ определяется выражением (3), $\Psi(N)$ имеет вид (4).

Введем условие ортонормировки для пробных функций $u_i(1), u_j(1)$:

$$\int u_i^*(1) u_j(1) dv(1) = \delta_{ij}, \quad i, j = 1 \dots N, \quad (6)$$

а также следующие обозначения:

$$[i|i] = \int u_i^*(1) \hat{f}(1) u_i(1) dv(1), \quad (7)$$

$$[[i|j]] = \int u_j^*(2) u_j(2) \hat{g}_{12} u_i^*(1) u_i(1) dv(1) dv(2).$$

В этих обозначениях энергетический функционал системы принимает следующий вид:

$$\mathcal{Y}(N) = \sum_{i=1}^N [i|i] + \sum_{i,j} \{ [[i|j]] - [ij|ji] \}, \quad (8)$$

зависящий от $u_i(1), u_j(1)$.

Используя вариационный метод нахождения минимума $\mathcal{Y}(N)$ при дополнительных соотношениях (6) (условный минимум), составим вспомогательную функцию, введенную Лагранжем

12/, 13/

$$\mathcal{F}(N) = \mathcal{Y}(N) + \sum_{i,j>i}^N \lambda_{ij} \psi_{ij}, \quad (9)$$

63

где λ_{ij} - неопределённые множители Лагранжа, φ_{ij} вспомогательные функции, определенные следующим выражением: 041935921
20220110333

$$\varphi_{ij} = \delta_{ij} - \int u_i^*(v) u_j(v) dv; \quad (10)$$

разложим функцию $\mathcal{F}(N)$ в ряд Тейлора в окрестности точки минимума:

$$\mathcal{F}(N) = \mathcal{F}_0(N) + \sum_{i=1}^N \left[\frac{\partial \mathcal{F}}{\partial u_i(v)} \right]_0 \delta u_i(v) + \frac{1}{2} \sum_{i,j=1}^N \left[\frac{\partial^2 \mathcal{F}}{\partial u_i(v) \partial u_j(v)} \right]_0 \delta u_i(v) \delta u_j(v) \quad (11)$$

Как известно, в точке минимума должны выполняться следующие условия:

$$\left[\frac{\partial \mathcal{F}}{\partial u_i(v)} \right]_0 = 0, \quad (12^a)$$

$$\sum_{i,j=1}^N \left[\frac{\partial^2 \mathcal{F}}{\partial u_i(v) \partial u_j(v)} \right]_0 \delta u_i(v) \delta u_j(v) > 0. \quad (12^b)$$

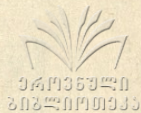
Первое условие - необходимое, но не достаточное. Оно приводит к известным уравнениям Хартри - Фока:

$$\begin{aligned} \hat{f}(v) u_i(v) + \sum_{j=1}^N \left\{ \int u_j^*(v) \hat{g}_{12} dv_2 \right\} u_j(v) - \\ - \sum_{j=1}^N \left\{ \int u_j^*(v) u_i(v) \hat{g}_{12} dv_2 \right\} u_j(v) = \epsilon_i u_i(v). \end{aligned} \quad (13)$$

Рассмотрим неравенство (12^b), которое выражает достаточное условие минимума $\mathcal{F}(N)$ при дополнительных соотношениях между δu_i , что является следствием условий (6) и (10).

Данная квадратичная форма должна быть преобразована с учетом связи между $\delta u_i(v)$, $\delta u_j(v)$ (1). Произведем варьирование дополнительных функций φ_{ij} , определенных выражением (10). Из самого определения φ_{ij} следует, что $\delta \varphi_{ij} = 0$, откуда мы получаем соотношение:

$$\delta u_N(1) = - \sum_{i=1}^{N-1} \delta u_i(1). \quad (14)$$



Для удобства записи введем следующие обозначения:

$$h_i = \delta u_i(1); \quad a_{ij} = \frac{\partial^2 \mathcal{F}(N)}{\partial u_i(1) \partial u_j(1)}.$$

Тогда можно показать, что выражение (12^B) с учетом условия (14) представляет собой сумму:

$$\mathcal{J}(N) = \sum_{i,j}^N a_{ij}^* h_i h_j, \quad (15)$$

где $a_{ij}^* = a_{ij} - 2a_{iN} + a_{NN}$.

Достаточным условием устойчивости решения (5^A) при выполнении необходимого условия (12^A) является: $\mathcal{J}(N) > 0$.

Из определения (11) видно, что (15) представляет собой квадратичную форму, а квадратичная форма является положительно-определенной, если все главные миноры матрицы, образованной из коэффициентов квадратичной формы, положительно-определены.

В нашем случае коэффициентами квадратичной формы являются a_{ij}^* . Для нахождения a_{ij}^* сначала вычислим a_{ij} . Составим вариации второго порядка функции $\mathcal{F}(N)$.

Произведя соответствующие операции, получим:

$$a_{ij} = \bar{V}_i \delta_{ij} + \sum_{k=1}^N \bar{g}_{kk} \delta_{ij} - \bar{g}_{ij}, \quad (17)$$


где введены следующие обозначения:

$$\bar{V}_i = - \int \left(\sum_{a=1}^N \frac{\partial^2 \mathcal{L}}{\partial u_i^2} + \lambda_i \right) dv(1); \quad \bar{g}_{ij} = \int u_i(1) \hat{g}_{i2} u_j(2) dv_1 dv_2. \quad (18)$$

Составим элементы a_{ij}^* , пользуясь введенными обозначениями:

$$a_{ij}^* = \bar{V}_i \delta_{ij} + (\bar{V}_N - 2\bar{g}_{iN}) + \sum_{k=1}^{N-1} \bar{g}_{kk} - \bar{g}_{ij} \quad (19)$$

Построим матрицу из коэффициентов в блочном виде:



$$\left\| \begin{array}{cc} \overline{V}_i + \overline{V}_N - 2\overline{g}_{iN} + \sum_{K=1}^{N-1} \overline{g}_{KK}, & \overline{V}_N - 2\overline{g}_{iN} + \sum_{K=1}^{N-1} \overline{g}_{KK} - \overline{g}_{ij} \\ \overline{V}_N - 2\overline{g}_{Nj} + \sum_{K=1}^{N-1} \overline{g}_{KK} - \overline{g}_{ij}, & \overline{V}_j + \overline{V}_N - 2\overline{V}_{Nj} + \sum_{K=1}^{N-1} \overline{g}_{KK} \end{array} \right\| \quad (20)$$

Решение является устойчивым, если детерминант данной матрицы, а также все его главные миноры положительно-определены.

В частном случае, когда можно пренебречь электрон-электронными взаимодействиями, матрица коэффициентов упрощается:

$$\left\| \begin{array}{cc} \overline{V}_i + \overline{V}_N, & \overline{V}_N \\ \overline{V}_N, & \overline{V}_j + \overline{V}_N \end{array} \right\|$$

Из условия $\alpha_{ii}^* > 0$ следует, что для устойчивой системы справедливо неравенство:

$$-\int \left\{ \sum_{a=1}^M \frac{\lambda_a \rho_a^2}{\eta_{ai}} + \lambda_i \right\} dV(t) > 0 \quad (\lambda_i = -\varepsilon_i), \quad (21)$$

что согласуется с содержанием теоремы Иршоу.

На практике приходится исследовать решения уравнений Хартри-Фока в модификации Рутаана /1,4/. В этой схеме молекулярные одноэлектронные волновые функции представляются как ЛКАО (линейные комбинации атомных орбит):

$$U_i(t) = \sum_{e=1}^M C_{ei} U_e^0(t),$$

где $U_e^0(t)$ - атомные одноэлектронные функции. В данной записи подразумевается, что вариационными переменными остаются $U_i(t)$, хотя вариации проводятся через C_{ei} :

$$\delta U_i(t) = \sum_{e=1}^M \delta C_{ei} U_e^0(t). \quad (22)$$

Различные дополнительные условия, налагаемые на волновые функции, приводят к различным связям между вариациями коэффициентов δC_{ei} , δC_{pj}

Функция $\mathcal{F}(N)$ для N -электронной и M -атомной системы в обозначениях Рутаана может быть представлена в виде суммы:

$$\mathcal{F}(N) = \sum_{i=1}^N \sum_{e,k}^M c_{ki} c_{ei} \{ [k|e] + [ke|pe] - [kp|e] \} - \lambda_i S_{ke}, \quad (23)$$

где

$$[e|k] = \int u_e^{0*}(1) \hat{f}(1) u_k^0(1) dv(1), \quad (24)$$

$$[ke|pe] = \int u_k^{0*}(2) u_e^0(2) g_{12} u_p^0(1) u_q^0(1) dv_1 dv_2.$$

Варьируя функцию $\mathcal{F}(N)$ по коэффициентам, мы получаем следующие выражения:

$$a_{ki|pj}^* = \{ [k|p] - \lambda_i S_{kp} \} \delta_{ij} + \sum_j^{N-1} \sum_{e,q}^M c_{ei} c_{qj} \{ [ke|pq] - [kp|e] \} - \sum_{e,q}^{N-1} c_{ei} c_{qi} \{ [ke|pq] - [kp|e] \} \delta_{ij}. \quad (25)$$

Связь между δC_{ki}^{N-1} получим из условия: $\sum_{i,j>l}^M \delta \varphi_{ij} = 0$

$$\delta C_{ki}^N = - \frac{\sum_{k=1}^{N-1} \sum_e^M c_{ei} S_{ke} \delta C_{ki}}{\sum_e c_{ei} S_{ek}}. \quad (26)$$

В частном случае, когда:

$$S_{ke} = \delta_{ke},$$

$$\delta C_{ki}^N = - \frac{\sum_{k=1}^{N-1} c_{ki} \delta C_{ki}}{c_{ki}}. \quad (27)$$

Таким образом, объединяя (25) и (26), получим:

$$\delta C_{ki}^N = \sum_{k=1}^{N-1} v_{ki} \delta C_{ki}$$

$$v_{ki} = - \frac{\sum_{e=1}^N c_{ei} S_{ke}}{\sum_e c_{ei} S_{ek}} \quad (28^a); \quad v_{ki} = - \frac{c_{ki}}{c_{ki}} \quad \text{при } S_{ke} = \delta_{ke}. \quad (28^b)$$

Квадратичная форма теперь может быть записана в виде следующей суммы:

$$\mathcal{F}(N) = \sum_{e=1}^{N-1} \sum_{p=1}^{N-1} a_{eipj}^* \delta c_{ei} \delta c_{pj}, \quad (29)$$

$$a_{eipj}^* = a_{eipj} + 2v_{ei} a_{kini} + a_{kini} v_{ei} v_{ki}$$

Составим матрицу коэффициентов a_{eipj}^* в одноэлектронном приближении. При этом отпадает необходимость писать индексы i и j , так как в функционале они вводятся в электрон-электронных взаимодействиях.

$$a_{kp}^* = \{[K|P] - \lambda_i S_{kp}\} + \{[M|M] - \lambda_i\} v_k v_p + \{[P|M] - \lambda_i S_{pk}\} v_k + \{[M|K] - \lambda_i S_{pk}\} \cdot v_p \quad (31)$$

Диагональные элементы матриц:

$$a_{\alpha\alpha}^* = [\alpha|\alpha] + 2v_{\alpha} [\alpha|M] + v_{\alpha}^2 [M|M] - \lambda_i (1 + 2v_{\alpha} S_{\alpha\alpha} + v_{\alpha}^2) \quad (32)$$

Рассмотрим в частном случае простую двухатомную систему. Так как в этой системе $M=2$, то в формуле (31) остается только один член, равный a_{11}^* . Из формулы (32) имеем:

$$a_{\alpha\alpha}^* = a_{11}^* = [1|1] + 2v_1 [1|2] + v_1^2 [2|2] - \lambda_i (1 + 2v_1 S_{12} + v_1^2) \quad (33)$$

или:

$$\mathcal{H}(1) = \{[1|1] - \lambda\} + 2v_1 \{[1|2] - S_{12}\} + v_1^2 \{[2|2] - \lambda\} \quad (34)$$

Допустим, что система является гомоядерной (X_2). Тогда

$$[1|1] = [2|2].$$

Рассмотрим решения, которые, как известно, получены в одноэлектронном приближении

$$\lambda^I = \alpha + \beta; \quad c_1^I = c_2^I = \frac{\sqrt{2}}{2}; \quad \lambda^{II} = \alpha - \beta; \quad c_1 = -c_2 = \frac{\sqrt{2}}{2},$$

где

$$\alpha = [1|1] = [2|2]; \quad \beta = [1|2]; \quad S_{12} \approx 0; \quad \beta < 0.$$

Подставляя первое решение в формулу (33), получаем:

$$\mathcal{H}^I(1) = -4\beta; \quad \mathcal{H}^I(1) > 0.$$

Соответственно подставим в формулу (33) второе решение:

$$\mathcal{F}^{\text{II}}(1) = 4\beta ; \quad \mathcal{F}^{\text{II}}(1) < 0.$$



041935340
3032010333

Первому решению соответствует положительная квадратичная форма, что подтверждает устойчивость данного решения (в согласии с известными данными).

Мы можем исследовать различные решения в общем виде, составляя для них соответствующие $\mathcal{F}(N)$ по формулам (29), (30), (31).

Данный метод определения устойчивости решений можно применять для изучения топологии многоатомных систем, В этом случае, вводя межатомные расстояния как вариационные параметры, можно проводить решение задачи на собственные функции и собственные значения вместе с определением равновесных расстояний между атомами.

Поступила 20.III.1980 г.

Кафедра экспериментальной
физики

Литература

1. Д.Слэтер. Электронная структура молекул, "Мир", 1967
2. Д.Р.Меркин. Введение в теорию устойчивости движения. "Наука", 1970
3. В.Немыцкий, М.Слудская. Курс математического анализа. "Наука", 1945
4. А.Цоликке. Квантовая химия, "Мир", 1975

საზღვარგარეთის სსრკ-ის აკადემია
საზღვარგარეთის დეპარტამენტი

რეზიუმე

ნაწილობრივ მუდმივობის ნივთიერების სტრუქტურული ნივთიერების
საკვანძოების ვარიაციული მეთოდების გამოყენებით. დამატებითი
პირობების გამოყენებით, ნივთიერების ამოცანის ნივთიერების
საკვანძოს პირობები.

N. Vashakmadze-Vasilyeva

STUDY OF THE STABILITY OF SOLUTIONS OF
PROBLEMS OF MULTIATOMIC SYSTEMS

Summary

Using variational methods, the problem of stability of mole-
cular structures is studied in the paper. Sufficient conditions for
the stability of solution are found, with account of additional con-
ditions.

О НЕКОТОРЫХ ВОПРОСАХ РАСПРЕДЕЛЕНИЯ ЭЛЕКТРОСТАТИЧЕСКОГО
ПОЛЯ В ДИЭЛЕКТРИЧЕСКОМ ПАРАЛЛЕЛЕПИПЕДЕ

М.И. Демуришвили

Параллелепипед из диэлектрика с диэлектрической постоянной ϵ_2 , находится в среде с диэлектрической постоянной ϵ_1 , во внешнем однородном электрическом поле E_0 , направленном вдоль оси x . Потенциал этого поля $\varphi = xE_0$.

Требуется найти распределение потенциала на поверхности образца и в частности падения напряжения вдоль сторон $2a$, $2b$, $2c$.

Обозначим поверхность пластинки через S . Возникает следующая краевая задача: найти решение уравнения Лапласа $\Delta\varphi = 0$ с краевыми условиями на S в виде:

$$\frac{\partial\varphi_e}{\partial n} \epsilon_1 = \frac{\partial\varphi_i}{\partial n} \epsilon_2, \quad n - \text{нормаль к } S,$$

φ_e - внешний потенциал, φ_i - внутренний (то есть внутри и вне S).

Решение φ_0 будем искать в виде суммы:

$$\varphi_0 = xE_0 + \varphi.$$

Потенциал φ должен стремиться к 0 на бесконечности.

Главная трудность, возникающая при решении этой задачи,

заканчивается в бесконечности области. Для ее преодоления поступим следующим образом:



Запишем уравнение Лапласа:

$$\frac{\partial^2 y}{\partial x^2} + \frac{\partial^2 y}{\partial y^2} + \frac{\partial^2 y}{\partial z^2} = 0. \quad (1)$$

Произведем преобразование координат:

$$x = \frac{a\alpha}{1-\alpha}, \quad y = \frac{b\beta}{1-\beta}, \quad z = \frac{c\gamma}{1-\gamma},$$

$$\alpha = \frac{x}{x+a}, \quad \beta = \frac{y}{y+b}, \quad \gamma = \frac{z}{z+c}.$$

С учетом этих преобразований уравнение (1) переписывается в виде

$$\frac{1}{a^2}(1-\alpha)^2 \frac{\partial}{\partial \alpha} (1-\alpha)^2 \frac{\partial y}{\partial \alpha} + \frac{1}{b^2}(1-\beta)^2 \frac{\partial}{\partial \beta} (1-\beta)^2 \frac{\partial y}{\partial \beta} + \frac{1}{c^2}(1-\gamma)^2 \frac{\partial}{\partial \gamma} (1-\gamma)^2 \frac{\partial y}{\partial \gamma} = 0. \quad (2)$$

Цель этих преобразований состоит в формальном преобразовании бесконечной области в конечную.

Например: $\alpha = \frac{x}{x+a}$.

Когда $x \rightarrow \infty$, $\alpha \rightarrow 1$; $x = 0$, $\alpha = 0$,

т.е. бесконечная область преобразовалась в параллелепипед $1 \times 1 \times 1$ (т.е. в куб).

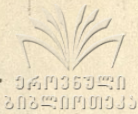
Преобразуем (2), проводя дифференцирование:

$$K_1^2 (1-\alpha)^4 \frac{\partial^2 y}{\partial \alpha^2} - K_1^2 (1-\alpha)^3 \frac{dy}{d\alpha} + K_2^2 (1-\beta)^4 \frac{\partial^2 y}{\partial \beta^2} - K_2^2 (1-\beta)^3 \frac{dy}{d\beta} + (1-\gamma)^4 \frac{\partial^2 y}{\partial \gamma^2} - 2(1-\gamma)^3 \frac{dy}{d\gamma} = 0. \quad (3)$$

Здесь $K_1 = \frac{c}{a}$; $K_2 = \frac{c}{b}$.

Уравнение (3) - основное. Будем решать его методом

сеток. Поскольку область симметрична относительно всех трех сторон координатной поверхности, достаточно рассмотреть с учетом симметрии только заштрихованный участок S .



Отметим, что \mathcal{E}_2 будет высокой ($\mathcal{E}_2 = 100$ и выше) и это обстоятельство необходимо учесть в программировании (алгоритм).

Потенциал \mathcal{U} будем искать в виде суммы:

$$\mathcal{U} = \mathcal{U}_1 + \mathcal{U}_2.$$

Здесь \mathcal{U}_1 - потенциал решения поставленной задачи, если \mathcal{E}_2 бесконечна. Для этого потенциала имеем следующие краевые условия:

$$\mathcal{U}_{1/S_2} = -E_0 a; \quad \mathcal{U}_{1/S_1} = -E_0 x;$$

$$\mathcal{U}_{1/S_3} = -E_0 x.$$

Или, с учетом преобразования координат:

$$\mathcal{U}_{1/S_1} = -E_0 \frac{\alpha d}{1-\alpha}; \quad \mathcal{U}_{1/S_3} = -E_0 \frac{\alpha \alpha}{1-\alpha};$$

$$\mathcal{U}_{1/S_2} = -E_0 a.$$

После того, как это решение будет найдено, оно будет использовано для определения \mathcal{U}_2 . Для \mathcal{U}_2 получим следующие краевые условия:

$$\mathcal{E}_1 \left(E_0 + \frac{\partial \mathcal{U}_1}{\partial n/S_1} + \frac{\partial \mathcal{U}_2}{\partial n/S_1} \right) = \mathcal{E}_2 \frac{\partial \mathcal{U}_2}{\partial n/S_1}. \quad (4)$$

Итак, надо решить уравнение (3) (записанное для \mathcal{U}_2) с учетом краевых условий (4). Следует учесть также, что в плоскости $xy - \mathcal{U}_2 = 0$; в плоскости $xy - \frac{\partial \mathcal{U}_2}{\partial x/x=0} = 0$;

в плоскости $x_0, x_1 - \frac{\partial y_2}{\partial y_1} = 0$. Уравнение (3) будем решать методом сеток.

041935340
20220101033

Используем метод верхней релаксации в сочетании с методом Федоренко. Метод верхней релаксации не загружает память ЦВМ дополнительными массивами. Это его главное преимущество по сравнению с другими методами.

Итерации рассчитывались по формулам:

$$u^{n+1} = \frac{1}{P_0} (P_1 u_{i-1,j,k}^{n+1} + P_2 u_{i,j-1,k}^{n+1} + P_3 u_{i,j,k-1}^{n+1} + P_4 u_{i+1,j,k}^{n+1} + P_5 u_{i,j+1,k}^{n+1} + P_6 u_{i,j,k+1}^{n+1} - f_{i,j,k});$$

$$u_{i,j,k}^{n+1} = W_t u_{i,j,k}^{n+1} + (1 - W_t) u_{i,j,k}^n;$$

$$i = 1, 2, \dots, e; \quad j = 1, 2, \dots, m; \quad k = 1, 2, \dots, n,$$

где W_t - параметр релаксации,

$$W_{t+1} = \frac{2}{1 + \sqrt{1 - \frac{(\lambda_1^{(t)} + W_{t-1})^2}{\lambda_1^{(t)} W_t^2}}}, \quad t = 0, 1, \dots,$$

где $\lambda_1^{(t)}$ - максимальное по модулю собственное число процесса.

Метод Федоренко применяется для ускорения счета, т.е. времени решения системы линейных уравнений.

Сущность этого метода для решения уравнения Лапласа в прямоугольной области с краевыми условиями 1-го рода, заключается в следующем. Пусть на квадратной сетке $\Omega \in \mathbb{R}^2$ с шагом h ($h = \frac{1}{2k}$; k - целое число) требуется найти решение системы пятиточечных разностных уравнений Лапласа:

$$(\Delta_h u_h)_{i,j} = f_{i,j}, \quad i, j = 1, 2, \dots, N \quad (N = \frac{1}{h} = 2^k).$$

Решим сначала на более редкой сетке Ω_{2h} с шагом $2h$ аналогичную вспомогательную задачу:

$$(\Delta_{2h} u_{2h})_{2i, 2j} = f_{2i, 2j}, \quad i, j = 1, 2, \dots, N,$$

Затем решение u_{2h} проинтерполируем в узлы сетки Ω_h по формулам:

$$u_h^0 = \begin{cases} u_{2h, j, i} & i, j \text{ четные} \\ 1/2 (u_{2h, i+1, j} + u_{2h, i-1, j}) & i \text{ нечетно, } j \text{ четно} \\ 1/2 (u_{2h, i, j-1} + u_{2h, i, j+1}) & i \text{ четно, } j \text{ нечетно} \\ 1/4 (u_{2h, i-1, j-1} + u_{2h, i-1, j+1} + u_{2h, i+1, j-1} + u_{2h, i+1, j+1}) & i, j \text{ нечетны} \end{cases}$$

Принимая полученную функцию u_h^0 за начальное приближение, проводим далее итерационное решение для исходной системы уравнений:

$$u_h^{n+1} = u_h^n + \tau (\Delta_h u_h^n - f) = T u_h^n - \tau f.$$

Собственные числа матрицы T итерационного процесса равны

$$\lambda_{p,q} = 1 - \frac{4\tau}{h^2} \left(\sin^2 \frac{ph}{2} + \sin^2 \frac{qh}{2} \right), \quad p, q = 1, 2, \dots, N$$

поэтому итерации сходятся при $0 < \tau < h^2/4$.

Если для нахождения u_{2h} использовать вспомогательную разностную задачу на сетке Ω_{4h} шагом $4h$, для нее, в свою очередь, сетку Ω_{8h} и т.д., то получение решения с

ON THE DISTRIBUTION OF ELECTROSTATIC FIELD
IN A DIELECTRIC PARALLELEPIPED



Summary

The paper discusses a method for calculating the electric field of a dielectric parallelepiped placed in an electric field. The distribution of potential and tension in the inner and outer surface of the parallelepiped has been calculated in detail.

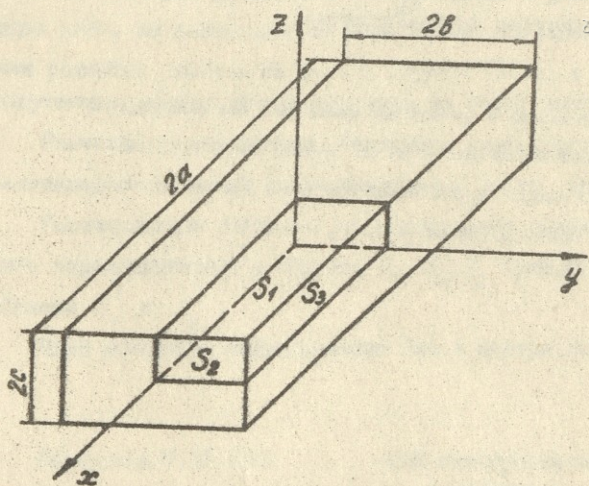


Рис.1 Диэлектрический параллелепипед
 в электрическом поле

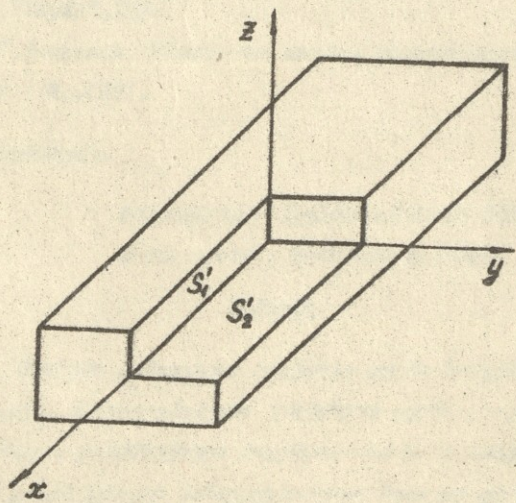


Рис.2 Распределение электрического поля внутри
 диэлектрического параллелепипеда

ОЦЕНКА КОЭФФИЦИЕНТОВ РАЗЛОЖЕНИЯ ТЕРМОДИНАМИЧЕСКОГО
ПОТЕНЦИАЛА Ψ - ТЕОРИИ СВЕРХТЕКУЧЕСТИ

Г.А.Гамцемлидзе, С.эль-Саббан, М.И.Мирзоева,
Д.Н.Цаава, Г.К.Шония

В модифицированной теории сверхтекучести Гинзбурга-Собянина /1/ фигурирует параметр M , определяющий характер фазового перехода в He^4 . В работе /2,3/ калориметрическим методом было установлено значение параметра $M=1,7 \pm 0,2$. Целью данной работы является определение коэффициентов трехчленного разложения термодинамического потенциала по степеням параметра порядка $|\Psi|^2$.

Трехчленное разложение термодинамического потенциала в случае однородного покоящегося гелия имеет вид

$$\Phi_{II} = \Phi_I + A|\Psi|^2 + \frac{B}{2}|\Psi|^4 + \frac{C}{3}|\Psi|^6, \quad (1)$$

где Φ_{II} - термодинамический потенциал $He-II$, Φ_I - термодинамический потенциал $He-I$ вблизи λ -точки, а коэффициенты A, B, C зависят от температуры следующим образом:

$$\begin{aligned} A &= -A_0 (T_\lambda - T) / |T_\lambda - T|^{1/3}, \\ B &= B_0 / |T_\lambda - T|^{2/3} \\ C &= C_0 \end{aligned} \quad (2)$$

На основе ранее имеющихся экспериментальных данных

феноменологической теории в варианте Д.Г.Мамаладзе /4/ коэффициент

коэффициенты разложения подобраны следующим образом:

$$A_0 = 1,11 \cdot 10^{-16} \text{ эрг} \cdot \text{град}^{-4/3}$$

$$B_0 = 3,54 \cdot 10^{-39} \text{ эрг} \cdot \text{см}^3 \cdot \text{град}^{-2/3}$$

$$C_0 = 0.$$

На три независимых коэффициента A_0 , B_0 , C_0 можно наложить два ограничения, потребовав, чтобы они давали правильные экспериментальные значения скачка теплоемкости $\Delta C_p = 5,2 \cdot 10^3 \frac{\partial p_2}{1 \cdot \text{град}}$ и правильную величину коэффициента при температурной зависимости ρ_{se} . Вводя безразмерную переменную

$$y = \frac{\psi}{\psi_0}, \quad \psi_0 = \sqrt{\frac{1,43 \rho_0}{m}} = \sqrt{\frac{\rho_0}{m}},$$

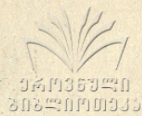
где m — масса атома гелия, $\rho_0 = 0,21 \text{ г} \cdot \text{см}^{-3} \cdot \text{град}^{-2/3}$, для разложения (1) получаем:

$$\begin{aligned} \Phi_{II} - \Phi_I = & \frac{3\Delta C_p}{(3+M)T_\lambda} \left(-t|t|^{1/2} |y|^2 + \right. \\ & \left. + \frac{(1-M)|t|^{3/2}}{2} |y|^4 + \frac{M}{3} |y|^6 \right), \end{aligned} \quad (3)$$

здесь $t = T_\lambda - T$, $M = \frac{C_0 \psi_0^4}{A_0}$ — безразмерный параметр.

Выражение (3) охватывает практически все варианты записи феноменологического разложения применительно к λ -переходу. В частности, варианту Мамаладзе отвечает $M = 0$. В работе /5/ рассмотрен вариант $M = 1$, а в /6/ M очень большое.

Если в этом разложении вернуться к переменной $\psi = y \psi_0$, то оно примет вид



$$\phi'' - \phi' = \frac{3\Delta C_p}{(3+M)T_A} \left(-\frac{t|t|^{1/3}}{\psi_0^2} |\psi|^2 + \frac{(1-M)|t|^{2/3}}{2\psi_0^4} |\psi|^4 + \frac{M}{3\psi_0^6} |\psi|^6 \right) \quad (4)$$

Сравнение разложений (1) и (4) для коэффициентов A_0 , B_0 , C_0 дает следующее выражение:

$$A_0 = \frac{3\Delta C_p}{(3+M)T_A \psi_0^2}$$

$$B_0 = \frac{3(1-M)\Delta C_p}{(3+M)T_A \psi_0^4}$$

$$C_0 = \frac{3M\Delta C_p}{(3+M)T_A \psi_0^6}$$

Подставляя в эти формулы $\Delta C_p = 0,76 \cdot 10^7 \frac{\text{эрг}}{\text{см}^3 \text{град}}$,

$T_A = 2,172^\circ\text{К}$, $\psi_0 = 1,78 \cdot 10^{11} \text{ см}^{-3/2} \cdot \text{град}^{-1/3}$, и

$M = 1,7 \pm 0,2$ получаем:

$$A_0 = (7,1 \pm 0,3) \cdot 10^{-17} \text{ эрг} \cdot \text{град}^{-4/3}$$

$$B_0 = -(1,6 \pm 0,4) \cdot 10^{-39} \text{ эрг} \cdot \text{см}^3 \cdot \text{град}^{-2/3}$$

$$C_0 = (1,2 \pm 0,1) \cdot 10^{-61} \text{ эрг} \cdot \text{см}^6$$

Поступила 14.1У.1980

Научно-исследовательская лаборатория физики низких температур

Литература

1. В.Л.Гинзбург, А.А.Собянин, УФН, 120,153, 1976.
2. Г.А.Гамцелидзе, С.эль-Саббан, Д.Н.Цава, Г.К.Шония. Сообщения АН ГССР, 95, № 1, 69, 1979.
3. С.эль-Саббан. Кандидатская диссертация, Тбилиси, 1979.
4. Д.Г. Мамаладзе, ЖЭТФ, 52, 729, 1967.
6. Труды 216.

Труды Тбилисского ордена Трудового Красного Знамени
государственного университета



თბილისის შრომის წიგნელი რჩობის ორდენის სახელმწიფო
უნივერსიტეტის შრომები

216, 1980

იდეოლოგიის მემორი კვების სტრუქტურის ძირითადი
პრობლემების მართვის მიხედვით

მ. ხაბაიაძე

1. შესავალი

1.1. ძირითადი პრობლემების ნიშანი.

მეცნიერული მუშაობის სწავლების ტრადიციული ნიშანი ურთიერთ-
საგან მიმართ კუროს სხვაობისა და წარმოადგენს ამახვი-
ლებს მიმართების კლასიფიკაციას, რის გამოც შეუძლებელი ხდება
მუშაობის მიმართების განხილვა. მუშაობის სწავლის განვითარება ამის
შედეგად სწავლების ტრადიციული ნიშანის ძირფესვიანად გამოაქვინას. ამ
რთულ პრობლემის გადასაჭრელად განვიხილავთ შემდეგნაირად:

საბოლოო გამოცდის ახალი მიმართება, რომელსაც უწოდებენ [1]

ძირითადი პრობლემების ნიშანი: მეცნიერული მუშაობის განვითარება და
მუშაობის ურთიერთობის განხილვა და წარმოადგენს მუშაობის მიმართება,
რაც ნიშნის საფუძვლებს ურთიერთობაში ვლინდება და რაც სპეციფიკა-
ციისა და განვითარებაში პრობლემები სულ უფრო ძვირი დასაძინებელი
/მუშაობის ან "იღის", რამ იგი დაუფარავლად "ნეუნიკაბ", "უნივერსიტეტი"
და ა. შ. - მუშაობის ურთიერთობა / კუროს იმედობა ფუნდამენტური პრობ-
ლემების განხილვის / მუშაობის ან არის ფუნდამენტის უმარტივადი კრებუ-
ლი / და ნათესავი გამოცდების მეცნიერული მუშაობის მიმართების
განვითარების პრობლემები ხდება მუშაობის წარმოადგენების მიმართება-

საქართველოს
საგარეო ურთიერთ-
ობის მინისტრის
სამსახურის
სტამბა

განვიხილოთ /პარლევალია დასაღის ტრადიციული განლაგება, რომელიც
ცვლის ლოგიკური წყობა/. ურთი სიფუციით, მტკაპი ფიზიკა ტაბრიცებუ-
ლია: ხანმივრევე ფიზიკოსის ზვალსაზრისით.

თარხიპი პრინციპების ნეოლოგი შენევივებინია. იღესსაფვის
განმევეწმეღული რანევინიე სახეღიმიეღვანელო [2-4], განსხვავებინი
ტრადიციულისაგან, რრინინაღურია და ურთინანეოს არა ჰგავს.

1.2. ფიზიკის სფრუქტურა.

საკიხიხი, ლე რრინეღ ებეღეღებინს ჩავეღიხი თარხიპიპა, უკავშირ-
ებმა კონევეფიას ფიზიკის სფრუქტურის შესახებ. ფიზიკის აქვის მარტო-
ვი, ლოგიკურად ნეწეღბრი სფრუქტურა, რომელიც ეის მიღიანობას განაპი-
რრებინს.

ვიტენრის ნიხევეიხი [5] პირველი საფეხურია მიღეღენებინ, რრინ-
ეღბინც "ნეღეღეღს" ნარმოსეღენს ნეოლოგი საფეხურიისაფვის - ბუნებინს
კანონებინსაფვის. კანონებინ აკავშირებინს მიღეღენებინს, ცნობიღი მიღეღ-
ენიხ უპოღეღბი უფიღბს. "ნიერარეიის" ნესანე, უმიღეღის საფეხურიი
ინეარინანეფობინს /სიმეფრინის/ პრინციპებინ, რრინეღბინც აკავშირებინს კანონ-
ებებინს ურთინანეოხან, ცნობიღი კანონიხი უპოღეღბი უფიღბს.

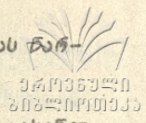
განსაკუთრებინიხი სანეფრეღესოი ინეარინანეფობინს პრინციპებინსა
და მიუღიღეღბინს კანონებინს რრინანეღი ურთივერეკავშირინ.

2. მტკაპი ფიზიკის კურსის ატებინს სქენა

2.1. თარხიპი ებეღეღებინს არჩევა.

გამორეინარე ვიტენრის კონევეფიიიიან, მტკაპი ფიზიკის
კურსის ატებინსაფვის თარხიპი ებეღეღებმა, რრინეღბინც ექსპერიმენ-
ტული შეეღეღებინს განმეღეღეღებინს ნარნოსეღენს, ავირჩიოთ: ჭარეღბინ-
იიიხი პრინციპი /შესამე საფეხური; ნაოღიი, ფარეღბინიიიხი პრინ-
ციპის ჩანეფეღენებინსაფვის საფიროა ერო-სივირცის ზვისებებინ და
ინევირცინის პრინციპი/ და ვნევერცინის მიუღიღეღბინს კანონი, რრინესაფ
ეღეღეღეღბინს კურსში უნია ეაენაფოს მიუხვის მიუღიღეღბინს კანონი

ჭურჭი პირნიცხივენი ექსპერინენჭური შიგნევიბის განმტყარეობას წარ-
ნიშნევენს.



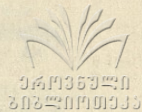
მიკვლეპ ჩამოთვტვალთ ღოტნიკური ნინეპვერთბა კურსის რასანტე-
სი ნაწილის ნიშნარი /რეჭალინბაციის გარეშე/ საკითხებიისა: ატვილის
სისტემა, რჩო-სივრცის ზვისებებნი, ნინეცივისა რა ჭარბობნიშობის პირნი-
ცივებნი, ლორენციის გარბაქენა /კოორდინატიებისა რა რჩოსისათვის, ატრე-
ვი ამ სიბიბევიბით კერძო წარმოებულებიისათვის/, ელექტრონაგნიჭური
ვილი რა ნისი გარბაქენის ჭორბულები [7], ვილის ნინვარინატიები;
ნუბტის ნუბინივობის კანონი, ნუბტისა რა ევინის სინკვირვიის გარბაქ-
ენის ჭორბულები [7], ენერჯიის მიუბინივობის კანონი ავიისუჭალი
ვილისათვის რა ნუბტისან სივრცეში.

წინანებებარე ნაშრომის შინეციმი ნაწილიში ნაჩვენებია, რჩი
არჩევილი ძარჩიშაბი ებებულებიბიბან ელემენტიარული ვიქტორული ანალი-
ზის გამოცხენებით მიიღება იმიპულისა რა იმიპულის ნიშენების მიუბინივ-
ობის კანონები რა ნაქსვილის განჭოლებები, რჩილეტა საშუალებით
უნდა ნიხბეს ელექტრონაგნიჭური ნივრენების შისნავლა რანეებული
ელექტროსტატიკიბიბან ელექტრონაგნიჭურ ჭალიებანებე რეპ ვაკუუმიში,
შინეცივ - გარეშიში. გარეშიის განხილვისას საჭირთა ნაქსვილის
განჭოლებების განსაშუალოება /ღორენციის მიბეცნა/. ნაწილებარე რა
საკითხებებარე მტყარე ჭიბიკის რაჭოჭის შისახებ იხ. [8] კრებული.

უნდა აღვინიშნოთ, რჩი ენერჯიის ნუბინივობის კანონიბან ნაქ-
სვილის განჭოლებები განოცხანილია პლანკის /ატრეტივი, ნისი ნინეცი-
ვიბის/ სახებნიძღვანელებიში [9]*. ნაჭრამი საკითხის გარბევივი-
სათვის ნარჭო ენერჯიის ნუბინივობის კანონი საკინარისი არ არის,
საჭირთა რამატიბითიბი რაშეებანი, რჩილებიცი კერძო ხასილათისა. აღ-
ბათ, ანის გამო წერბა პლანკი, რჩი "ელექტრონაგნიჭური ვილის რიჭ-
ქენციბალური განჭოლებების გამოცხანა წინიბა ებევივიციური გიბი
შეუბებებია" [9, გვ. 14].

* ატრეტივი ნაბელობას უბიის რჩი. ნ. პილივივიჭოვი-ნიკოლაძის ამ
საკითხებზე შიხიხევიბისათვის.

3. იმპულსის ნუპნოვობის კანონი



3.1. თავისუფალი ველი

განვიხილოთ თავისუფალი ველი /მუხვის სიმკვრივე = 0/ ამი-
ცოც არ დატვირთება მუხვის ნუპნოვობის კანონი. ვენერციის მუპნოვო-
ბის კანონს შედრეტი სახე აქვს:

$$\frac{\partial u}{\partial t} + \text{div } \vec{S} = 0, \quad (3.1)$$

სადაც $u = \frac{1}{8\pi} (E^2 + B^2)$ არის ველის ვენერციის სიმკვრივე, ხოლო $\vec{S} = \frac{c}{4\pi} [\vec{E} \vec{B}]$
ჰი - მთონფინგის ვექტორი /ვენერციის ნაკადის სიმკვრივე/.

ნოვიტხოვოთ /3.1./ განოსახლებობის ინვარიანტობა ღორენცის
ტარდაქნების ნინარტ /კოორდინატებშიცა და რროთც კერძო წარმოდებუ-
ლებისა და ვექტორნადინფორტი ველისათვის/;

$$\frac{\partial}{\partial x} = \gamma \left(\frac{\partial}{\partial x'} - \frac{v}{c^2} \frac{\partial}{\partial t'} \right),$$

$$\frac{\partial}{\partial y} = \frac{\partial}{\partial y'}$$

$$\frac{\partial}{\partial z} = \frac{\partial}{\partial z'}$$

$$\frac{\partial}{\partial t} = \gamma \left(\frac{\partial}{\partial t'} - v \frac{\partial}{\partial x'} \right)$$

და

$$E_x = E'_x,$$

$$E_y = \gamma \left(E'_y + \frac{v}{c} B'_z \right),$$

$$E_z = \gamma \left(E'_z - \frac{v}{c} B'_y \right),$$

$$B_x = B'_x,$$

$$B_y = \gamma \left(B'_y - \frac{v}{c} E'_z \right),$$

$$B_z = \gamma \left(B'_z + \frac{v}{c} E'_y \right),$$

სადაც $\gamma \equiv 1 / (1 - v^2/c^2)^{1/2}$.

მეოოქური ღვალსაბრისისთ უმჯობესია თავდაპირველად გამოთვლებობს
საფარება კერძო შემთხვევაში, ნაბალითა, $\vec{E}(0, E_y, 0)$ და $\vec{B}(0, 0, B_z)$.
გრძელი, მატრან ნარტოვიცო ტარდაქმინოთ ნიილუბა:

$$\frac{\partial g_x}{\partial t} = - \frac{\partial u}{\partial x}, \quad (3.2)$$

სადაც $\vec{g} = \frac{1}{c^2} \vec{S}$ არის ველის იმპულსის სიმკვრივე. სასარგებროთ
/3.2./ იმპულსის ნუპნოვობის კანონის შედარება ნიუტონის მეორე



Գնաքննարկության, ստատիստիկայի և մեթոդականության մասին խոսելու համար անհրաժեշտ է համարել հետևյալը: Երկրի մասին ընդհանուր տեղեկությունները համարելով համարյալ անփոփոխ, մենք կարող ենք համարել, որ մեր հասարակության մեջ ընդհանուր տեղեկությունների քանակը մեծապես կախված է մեր կրթության մակարդակից: 1976 թվականին Հայաստանի Գիտությունների ակադեմիան հրատարակեց «Հայաստանի մասին ընդհանուր տեղեկություններ» գիրքը, որը կարող է ծառայել որպես հիմնական աղբյուր:

Գիտության մասին ընդհանուր տեղեկությունները կարող են ձևավորվել միայն համակարգված կերպով: Գիտության մասին ընդհանուր տեղեկությունները կարող են ձևավորվել միայն համակարգված կերպով: Գիտության մասին ընդհանուր տեղեկությունները կարող են ձևավորվել միայն համակարգված կերպով: Գիտության մասին ընդհանուր տեղեկությունները կարող են ձևավորվել միայն համակարգված կերպով:

Սակայն ընդհանուր տեղեկությունները կարող են ձևավորվել միայն համակարգված կերպով: Գիտության մասին ընդհանուր տեղեկությունները կարող են ձևավորվել միայն համակարգված կերպով:

Մեղադրության մասին

Ը Ն Դ Ն Ի Ն Ե Ն Ե Ն

1. Др. О. Рип. Популярная физика, М., "Мир", 1964, с. 9.
2. Մեղադրության մասին ընդհանուր տեղեկությունները կարող են ձևավորվել միայն համակարգված կերպով, 1964, համ. 1.
3. Р. Фейнман, Р. Лейтон, М. Сэндс. Фейнмановские лекции по физике, М., "Мир", 1965-67, вып. I-9.
4. Ч. Киттель и др. Берклеевский курс физики, М., "Наука", 1971-74, тт. I-V.
5. Е. Вигнер. Этюды о симметрии, М., "Мир", 1971.

6. Ս. Բաբյան, Սայրաբեյլյանի և Լևոն Զեյնաբյանի զո-
 ճոյան իր նշանակությունը Սայրաբեյլյանի-Զեյնաբյանի
 իր լուծումներում, Երևանի համալսարանի տեղեկագրեր - թ. 1976, թ. 29.
7. Ս. Բաբյան, X ընդհանուր Սայրաբեյլյան-Զեյնաբյանի
 լուծումներում, Երևանի համալսարանի տեղեկագրեր -
 թ. 1978, թ. 34, 23.
8. Ս. Բաբյան, Երևանի համալսարանի տեղեկագրեր,
 1976, թ. 1-5.
9. М. Планк. Введение в теоретическую физику, ОНТИ, 1934,
 часть III, Электричество и Магнетизм.
10. И. Е. Тамм. Основы теории электричества, М., Гостехиздат,
 1956, с. 502.

Т. М. Хазарадзе

О ПОСТРОЕНИИ ОБЩЕГО КУРСА ЭЛЕКТРИЧЕСТВА ПО
 МЕТОДУ ОСНОВНЫХ ПРИНЦИПОВ

Резюме

Рассмотрено преимущество нового подхода для построения
 курса общей физики.

За основные принципы, которые являются обобщением экспери-
 ментальных данных, принимаются: принцип относительности и зако-
 ны сохранения энергии и заряда.

Показано, что из этих основных принципов вытекают законы
 сохранения импульса и момента импульса и уравнения Максвелла,
 с помощью которых нужно изучить электромагнитные явления от
 электростатики до электромагнитных волн сначала в вакууме,
 затем - в среде.



ON THE CONSTRUCTION OF A GENERAL COURSE OF
ELECTRICITY BY THE METHOD OF BASIC PRINCIPLES

Summary

The advantage of a new approach to the construction of a general course of physics is discussed.

The relativity principle and the laws of energy and charge conservation are taken as the basic principles representing a generalization of the experimental data. It is shown that out of these principles follow the laws of conservation of momentum and angular momentum, as well as Maxwell equations by means of which the electromagnetic phenomena, starting with electrostatics to electromagnetic waves, should be studied - first in vacuum and then in medium.

О ВЛИЯНИИ НЕСТАБИЛЬНОСТИ РАСПРЕДЕЛЕНИЯ ПОЛЯ НА
КИНЕТИКУ ГЕНЕРАЦИИ ЛАЗЕРА

М.И. Джибладзе, Л.Е. Лазарев, Э.Ш. Теплицкий

1. Введение

Как известно /1-4/, нестабильность излучения твердотельных лазеров не всегда может быть объяснена их технической неустойчивостью и требует для своего объяснения введения также представления об изменениях оптических свойств активной среды в процессе генерации. По существу, возможность такого подхода была предложена ранее в работе /5/, в которой нестабильность лазерного излучения связывалась с нестабильностью положения оси генерируемого луча (названного "движением нити"), причиной чего являются возникновение и изменение градиента показателя преломления в активной среде, а также различные нарушения структуры зеркал, приводящие к некоторой их эффективной непараллельности. Представление о движении нитей основывалось на обнаруженном в ряде работ (напр., /6/) факте, что лазерные кристаллы, находящиеся в плоскопараллельном резонаторе, генерируют в различных областях кристалла вдоль отдельных тонких "нитей", диаметры которых лежат в интервале 0,1 - 0,8 мм. В работах /7,5/

сообщалось, что эти генерирующие "нити" смещаются вдоль зеркал со скоростью, достигающей 10^4 см/сек для рубинового лазера с плоскими зеркалами (и еще большей - для полупроводниковых лазеров).

Такое движение "нитей", согласно /5/, может привести к медленной модуляции добротности резонатора за счет запасенной энергии в генерируемой моде. Хотя смещение центра пятна генерации (и его поперечных размеров) является небольшим (порядка 0,1мм), однако оно может привести к самомодуляции добротности, поскольку в активной среде распределение инверсной населенности является неоднородным:

$$n(x) = n_1 \left(1 - x^2/x_0^2\right),$$

где x - расстояние от оси кристалла, а x_0 - расстояние от оси кристалла, на котором инверсная населенность обращается в нуль, что, как показано в /8/, приводит к неустойчивости режима генерации даже при наличии небольшой неоднородности в распределении коэффициента усиления в плоскости, перпендикулярной оси кристалла. Хотя механизм движения "нитей" является частным случаем механизмов, рассмотренных в /4/, однако, как мы покажем в настоящей статье, он является достаточно наглядной и простой моделью основных процессов, происходящих в активной среде, которые могут быть описаны как своеобразная модуляция лазерного излучения (автомодуляция), проявляющаяся в его нестабильности.

О возникновении "движущихся нитей" можно судить как по наблюдению случайного смещения точек выхода излучения из торцов активной среды, так и по возможности наблюдать генерацию при наклонах зеркал на угол значительно больший,

чем это допустимо для лазеров с однородной активной средой (например, газовых). Возможность рассматривать эти два процесса совместно связана с общностью механизмов, вызывающих в них самомодуляцию добротности (неравномерности распределения $n(r)$) /9/. Случай с наклоном зеркал представляет, в то же время, модель, в которой эффект смещения нити генерации значительно усилен и его детальное изучение позволяет получить определенную информацию о процессах, связанных с самопроизвольным смещением луча.



2. Нестабильность положения центра тяжести светового пучка в твердотельном лазере в процессе генерации.

Причиной блуждания лучей, как уже отмечалось, является нестабильность оптических пространственно-временных характеристик активной среды в процессе генерации. Будем эту нестабильность характеризовать отклонением показателя преломления среды от ее среднего значения

$$n(\vec{r}, t) = n_0 + \mu(\vec{r}, t).$$

Как хорошо известно /10-12/, случайные изменения показателя преломления приводят к эффекту диффузии лучей, при которой случайным образом меняются длина пути луча, углы выхода луча из поперечной к направлению луча плоскости и смещения луча в этой плоскости. Также случайным образом деформируется форма поперечного сечения луча. В экспериментах с твердотельными лазерами в основном фиксируются две последние характеристики.

Как следует из /10,11/, в предположении гауссовского характера $\mu(\vec{r}, t)$ смещение центра тяжести оптического пучка

$\vec{\rho}_c(\vec{x})$, распространяющегося вдоль оси \vec{x} , зависит от градиента показателя преломления в плоскости, перпендикулярной \vec{x} ,

$$\vec{\rho}_c(\vec{x}) = \frac{1}{2\rho_0} \int_0^L (\vec{x}-s) ds \iint_{-\infty}^{\infty} d^2R I(s,R) \vec{\nabla}_R N(s,R),$$

где $I(R)$ - интенсивность поля также описывается гауссовским распределением и характеризуется моментом

$$\langle \rho_{ci}(\vec{x}) \rho_{ck}(\vec{x}) \rangle = \frac{2}{3} \mathcal{D} \cdot \delta_{ik} \cdot L^3,$$

где \mathcal{D} - коэффициент диффузии луча

$$\mathcal{D} = \pi^2 \int_0^{\infty} d\alpha \cdot \alpha^3 \cdot \Phi(\vec{\alpha}),$$

а $\Phi(\vec{\alpha})$ - трехмерная спектральная плотность корреляционной функции $N(\vec{r}, t)$. Для дальнейшего удобно нестабильность среды характеризовать не величиной $\vec{\rho}_c(\vec{x})$, а скоростью смещения луча, которую мы определим как $\vec{v} = \vec{\rho}_c / \Delta t$, где Δt - время между соседними кадрами при фиксации положения луча.

Нами было экспериментально изучено распределение средней скорости "движения нитей" на рубиновом лазере при параллельных зеркалах. Для этой цели исследовалось распределение поля в ближней зоне при генерации рубинового лазера с помощью СРР-2.

Эксперименты проводились при комнатной температуре в импульсном режиме генерации. Кристалл рубина длиной 120 мм помещался в двухламповый осветитель и накачивался лампами ИФП-2000. Резонатором служили плоские диэлектрические зеркала. Длина резонатора составляла 40 см. Для селекции ти-



пов колебаний резонатора по угловым индексам в резонатор помещалась диафрагма диаметром 2мм. Импульс генерации наблюдался с помощью ФЭУ-22 на осциллографе С1-29. Распределение поля генерации в ближней зоне исследовалось с помощью скоростного фоторегистратора СФР-2 в режиме "покадровой развертки".

Генерируемый рубиновым лазером луч, проходя систему линз, попадал на вращающееся зеркало СФР-2 и разворачивался в горизонтальном направлении на фото пленку, скорость перемещения которой определялась соотношением $V = 2\omega r$, где ω -угловая скорость вращения зеркала, r - радиус развертки луча, равный 229 мм. Угловая скорость вращения зеркала достигла 60000 об/мин., чему соответствует частота съемок $2 \cdot 10^6$ кадров в секунду.

На рис.1 представлена типичная картина распределения ближнего поля генерации рубинового лазера в одном пичке во время развития и затухания генерируемого импульса при превышении мощности накачки над пороговой на 20%. Последовательность кадров соответствует развитию пичка во времени (кадры следуют друг за другом сверху вниз, а столбцы - слева направо). Время Δt между соседними кадрами соответствует $0,5 \cdot 10^{-6}$ сек. На рис.2 представлено распределение поля в ближней зоне на зеркалах, нанесенных на одну координатную сетку. При исследовании распределения поля излучения было обнаружено, что максимумы распределения интенсивности поля на зеркалах перемещаются во время генерации по случайным направлениям и величинам, т.е. движение центра тяжести интенсивности носит броуновский

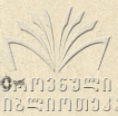
характер, что соответствует сделанному в начале параграфа предположению о случайном изменении показателя преломления активной среды при генерации.

Обработка полученных результатов позволила построить распределение средней скорости движения "нитей" во время генерации одного пичка, приводимое на рис.3. Полученный порядок средней скорости движения моды по зеркалу порядка 10^4 см/сек, что согласуется с данными работы [7].

Таким образом, проведенные нами эксперименты показали, что в режиме свободной генерации за время генерации отдельного пичка имеет место "движение нитей", носящее гауссов характер, с соответствующим распределением средней скорости движения.

3. Моделирование процесса автомодуляции добротности

Полученный выше результат может быть рассмотрен с несколько иной точки зрения. Представим, что в какой-нибудь области кристалла возникла генерация с гауссовым распределением интенсивности поля $I(R, \lambda)$. Если допустить, что кристалл до начала генерации равномерно возбужден светом накачки, то ясно, что в тех областях кристалла, в которых находятся максимумы поля генерации, сброс инверсии населенности уровней произойдет сильнее, чем в периферийной части поля (или в той части, где поле имеет минимумы). При деформации (или смещении) распределения поля генерации максимумы интенсивности поля переходят в те области, которые были слабее обеднены генерируемым полем. Это эквивалентно некоторому увеличению запасенной энергии для данной



моды. Так как добротность резонатора для определенной моды определяется отношением запасной энергии к потерянной мощности ($Q = \omega E / \rho$), то такое смещение поля соответствует некоторому увеличению добротности резонатора для данной моды вида

$$Q(t) = Q_0 + \alpha Q'(t). \quad (1)$$

Безусловно, дальнейшие деформации поля могут приводить и к уменьшению добротности моды за счет увеличения потерь (на краях зеркал или диафрагмы, из-за оптически более неоднородных участков и т.д.), но ясно, что в начальный момент времени смещение распределения поля должно привести к некоторому увеличению добротности резонатора для данной моды, а при дальнейшем развитии генерации во времени - к его уменьшению за счет роста потерь (главным образом диффракционных - на краях диафрагмы).

Соотношение (1) позволяет поставить вопрос о моделировании процесса неустойчивости лазера в экспериментах с наклоном зеркал, при которых эффект смещения нитей значительно усилен и представлен в чистом виде (что, конечно, не исключает блуждания нитей относительно сформированного направления).

В приведенных ранее работах /13,14/ смещение точки выхода луча из торцов активной среды рассматривалось в рамках геометрической оптики и речь шла о вычислении дополнительных потерь, связанных с увеличением числа отражений, диффракционных потерь, а также с ограниченностью объема насыщенной части активного образца. Такой подход, однако,

не охватывает всех возможных реализаций данного механизма неустойчивости. В частности, учет собственного блуждания луча, не связанного с наклоном зеркал, в рамках геометрического описания оказывается весьма сложным и требует специальных предположений о характере такого блуждания. Таким образом, описание экспериментов с наклоном зеркал с учетом указанных процессов требует использования волновой оптики, поскольку вся информация о свойствах активной области и их изменений в процессе генерации содержится в векторе поляризации среды $\vec{P}(\vec{r}, t)$. При этом достаточно выделить основное свойство рассматриваемого процесса - смещение точки выхода луча из торца активной среды - и приписать лучу некоторую скорость в направлении, перпендикулярном излучению. Удобно, однако, рассматривать не смещение луча, а смещение активной среды по отношению к лучу со скоростью \vec{v} (зависящей от угла наклона зеркал φ) в плоскости, перпендикулярной оптической оси. В отличие от случая блуждания "нитей", рассмотренного в § 1, направление скорости \vec{v} при наличии наклона зеркал не носит столь явного случайного характера.

Этот подход позволяет описывать излучение в резонаторе с непараллельными зеркалами как генерацию в движущейся среде (при этом зеркала резонатора остаются неподвижными), в которой, как известно, уравнения Максвелла остаются без изменения, меняются лишь материальные уравнения

$$\begin{aligned} \vec{D} &= \epsilon \vec{E} + \frac{\epsilon-1}{c} [\vec{v}, \vec{H}], \quad \vec{B} = \vec{H} + \frac{\epsilon-1}{c} [\vec{E}, \vec{v}], \\ \vec{j} &= j_0 (\vec{E} + \frac{1}{c} [\vec{v}, \vec{H}]), \end{aligned} \quad (2)$$

где γ_0 описывает объемные потери.

Считая, что движется лишь активная среда (по отношению к лучу), а зеркала остаются неподвижными, можно использовать для выделения мод собственные функции резонатора \vec{E}_n и \vec{H}_n и разложения

$$\begin{aligned}\vec{E}(\vec{r}, t) &= \sum_m e_m(t) \vec{E}_m(\vec{r}), \\ \vec{H}(\vec{r}, t) &= \sum_m h_m(t) \vec{H}_m(\vec{r}),\end{aligned}\quad (3)$$

причем условия на границе (зеркалах) совпадают с условиями для покоящихся сред, так как (\vec{v}, \vec{n})

$$[\vec{n}, \vec{E}] = \chi \vec{H},$$

где \vec{n} - нормаль к вертикальному положению зеркала, χ - поверхностный импеданс зеркал. С учетом соотношений (2) и приближения $v/c \ll 1$ следуя обычному выводу уравнений электромагнитного поля в активной среде [15], мы приходим в рассматриваемом случае к уравнению

$$\ddot{e}_m + \frac{\omega_{cm}}{Q_{vm}} \dot{e}_m + \omega_{cm}^2 e_m = - \int_V \frac{\partial^2 \vec{P}}{\partial t^2} \cdot \vec{E}_m dV + i \omega_{cm} \frac{\vec{v}}{c} \int_V \left[\frac{\partial \vec{P}}{\partial t} \cdot \vec{H}_m \right] dV, \quad (4)$$

где \vec{P} - вектор поляризации среды. Таким образом, в правой части уравнения появляется новый член, зависящий от скорости смещения луча.

Используя разложение

$$\begin{aligned}e_m(t) &= \frac{1}{2} \left[\mathcal{E}_m(t) e^{-i\omega_m t} + \mathcal{E}_m^*(t) e^{i\omega_m t} \right], \\ \vec{P}(t) &= \frac{1}{2} \left[\vec{\mathcal{P}} e^{-i\omega_m t} + \vec{\mathcal{P}}^* e^{i\omega_m t} \right]\end{aligned}$$

и предположение о медленности изменения амплитуды поля и поляризации, из уравнения (4) получаем

$$\frac{d\mathcal{E}_m}{dt} + \left[\frac{1}{2T_{cm}} + i(\omega_{cm} - \omega) \right] \mathcal{E}_m = \frac{i}{2} \omega \int_V \vec{\mathcal{P}} \cdot \vec{E}_m dV + \frac{i\omega}{2} \frac{\vec{v}}{c} \int_V [\vec{\mathcal{P}}, \vec{H}_m] dV. \quad (5)$$

Ограничимся однофотонным режимом и перейдем к скоростным уравнениям, введя величины

$$\frac{\mathcal{E}_m^2}{2\hbar\omega} = M, \quad B = \frac{\xi}{V} \bar{B}, \quad \xi = \frac{1}{4\pi} \int |\vec{E}|^2 dV \approx \frac{|\vec{E}|^2}{4\pi} \cdot V, \quad (6)$$

$$N = N_{\Sigma} \mathcal{D}, \quad \mathcal{D} = \epsilon_{22} - \epsilon_{11}, \quad \frac{\omega T_2}{\hbar} |\vec{\mu}|^2 = \frac{\bar{B}}{4\pi},$$

где M - число фотонов, N_{Σ} - число активных атомов, N - заселенность, ϵ_{ik} - элементы матрицы плотности, \bar{B} - коэффициент Эйнштейна для индуцированного излучения, $\vec{\mu}$ - дипольный момент атома, а V - объем активной среды. В этих обозначениях уравнение примет вид

$$\frac{dM}{dt} + \frac{M}{T_c} = M \cdot B \cdot (N - q \frac{v}{c} N) + \frac{B}{2} (N + N_{\Sigma}), \quad (7)$$

где два слагаемых в первой скобке соответствуют двум членам правой части уравнения (5) и, кроме того, справа добавлен член, описывающий спонтанное излучение, и использовано обозначение $q = \frac{1}{\hbar} (\vec{v} \cdot \vec{\mu})$, $\vec{v} = N / |\vec{\mu}|$. Вообще говоря, этот параметр зависит от плотности поля в среде, поскольку определяется степенью выстроенности дипольных моментов по проходящей волне. Член, пропорциональный v/c , связан со смещением луча и, согласно приведенным выше соображениям, характеризует модуляцию добротности.

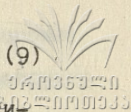
Полученное уравнение позволяет записать систему уравнений для генерации лазера рассматриваемого типа как лазера с модулированной добротностью

$$\frac{dM}{dt} - M \left[B N - \frac{1}{T_c} \right] = \frac{B}{2} (N + N_{\Sigma}), \quad (8)$$

где

$$\frac{dN}{dt} = - \frac{N - N_0}{T_1} - B N M,$$

$$f(t) = 1 + q \frac{\nu}{c} \cdot T_c N(t) B.$$



Величина ν/c связана с углом наклона φ зеркала относительно вертикальной плоскости длиной активного кристалла, расстоянием от его торца до зеркала и коэффициентом преломления активной среды.

Таким образом, модуляция добротности определяется динамикой насыщения и излучения, а также углом смещения луча в виде аналогичном (1)

$$f(t) = 1 + \alpha \varphi B T_c N(t), \quad (10)$$

где α - объединенный числовой параметр.

Для дальнейшего удобно ввести безразмерные величины

$$\chi = \frac{t}{T_1}, \quad G = \frac{T_1}{T_c}, \quad \varepsilon = \frac{1}{2} B T_1, \quad m = B T_1 M, \quad n = B T_c N,$$

и тогда система (8) примет вид

$$\begin{aligned} \dot{m} - G(n - f(\chi))m &= \varepsilon G(n + n_\Sigma), \\ \dot{n} &= -mn - (n - n_\Sigma), \\ f(\chi) &= 1 + \alpha \cdot \varphi \cdot n(\chi). \end{aligned} \quad (11)$$

Зависимость $f(\chi)$ от времени определяется вторым уравнением в (11):

$$n(\chi) = \begin{cases} n_0, & \chi \leq \chi_3 \\ n_0 e^{-m_0 \chi}, & \chi > \chi_3, \end{cases}$$

где χ_3 - значение безразмерного времени задержки генерации, а m_0 - стационарное значение числа излученных фотонов.

Рассмотрим надпороговую область генерации и пренебрежем членом спонтанного излучения в (11). Нетрудно видеть, что имеет место соотношение (штрихи относятся к модулированным значениям)

$$m_2' - m_1' = G \{ (n_1' - n_2') (1 - \alpha \varphi) - \ln(n_1/n_2) \},$$

которое от обычного /15/ отличается членом, пропорциональ-
ным φ .

Из условия стационарности $\dot{m}_0 = 0$ и $m_0' \approx m_0$ получаем из
(11) для пороговых значений заселенности соотношение

$$n_0' = n_0 / x(n_0), \quad (12)$$

где n_0 - заселенность при $\varphi = 0$, а

$$x(n) = 1 - \varphi \alpha \frac{n + n_{\Sigma}}{1 + n_{\Sigma}}. \quad (13)$$

Таким образом, уровень заселенности растет с ростом φ .

Для ширины импульса генерации при обычных предположе-
ниях $n_1 = n_0$, $m_1 \ll m_2 = m$ получаем

$$\Delta T(\varphi) = \frac{6}{5} \frac{T_c \ln(n_H' / n_K')}{(n_0' - 1)(1 - \alpha \varphi) - \ln n_0'}, \quad (14)$$

где n_H и n_K - начальная и конечная заселенность, соот-
ветственно. Принимая, что соотношение между n_H' и n_K' такое
же, как и в случае без модуляции и пользуясь (12), получаем

$$\frac{\Delta T(\varphi)}{\Delta T(0)} = x(n_0) \cdot \left[1 + \frac{x(n_0) \ln x(n_0) + (1 - x(n_0))(1 + \ln n_0)}{n_0 - 1 + \ln n_0} \right]^{-1}, \quad (15)$$

а для числа излученных фотонов на пороге генерации (т.е.
амплитуды пичка) имеем, используя (11), соотношение

$$\frac{m(\varphi)}{m(0)} = \frac{x(0)}{x(n_H) \cdot x(n_K)}, \quad (16)$$

т.е. имеем возрастание амплитуд и временное сужение пичков.

Соотношения, приведенные выше, получены при фиксирован-
ной мощности накачки. Как видно из (12), (15) и (16), за-
висимость от мощности накачки $P(t)$ входит только лишь

через пороговые населенности n_0 . Рассматривая пороговые условия при различных значениях мощности накачки, нетрудно получить соотношение

$$n_2 = n_1 \cdot \frac{P_2}{P_1} \left[1 + \frac{n_1}{n_2} \left(\frac{P_2}{P_1} - 1 \right) \right] \quad (17)$$

которое позволяет связать $\Delta T(\varphi)$, $n(\varphi)$ и $m(\varphi)$ при различных мощностях накачки.

Полученные выводы сопоставлялись с результатами специально-проведенных экспериментов. Эксперимент проводился на цилиндрическом неодимовом стекле (ЛГС 250-5) диаметром 8 мм и длиной 130 мм, $\alpha = 1,54$. Стержень был помещен в эллиптический двухламповый отражатель и накачивался лампами ИЭП-2000. Резонатором служили два плоских диэлектрических зеркала с коэффициентом отражения 81%. Внутри резонатора находилась вертикальная щель шириной 1 мм, расположенная перед ближним к ФЭУ зеркалом. Импульс генерации наблюдался с помощью фотоумножителя ФЭУ-22 на осциллографах С8-7А и С8-11. Стержень охлаждался дистиллированной водой и протекающим раствором $K_2Cr_2O_7$ при комнатной температуре, с помощью которого отсекалась ультрафиолетовая часть спектра излучения накачки до 400 нм.

В эксперименте менялась степень разъюстировки резонатора посредством наклона наиболее удаленного от ФЭУ зеркала. Зеркало отклонялось до $\varphi = 12$ таким образом, что геометрическое смещение луча генерации происходило вдоль щели. Измерялась зависимость ширины ΔT и амплитуды A первых пиков от наклона зеркала φ при разных значениях превышения энергии накачки над пороговой E/E_0 . Экспериментальные

результаты представлены на рис. 4 и 5 (сплошные линии - соответствуют соотношениям (15 и (16)). Как видно из рисунков, при наклоне зеркал наблюдается сужение ширины первых пичков и возрастание амплитуды при разных превышениях энергии накачки над пороговой. Превышение энергии накачки для линий - 1 на рис. 4 и 5 равно 1,03, а для линий 2 - 1,3. Качественная картина не меняется, а количественное различие описывается соотношением (17). Из приведенных графиков следует достаточно хорошее согласие экспериментальных данных с теоретическими расчетами.

Полученные экспериментальные результаты качественно согласуются и с данными работ [16-18], однако в последних $\Delta T(\varphi)$ не изучалось и не были рассмотрены возможные механизмы процесса.

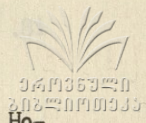
Таким образом, наши результаты показывают, что эффект движения "нитей" может быть рассмотрен как некоторый вид модуляции лазерного излучения (в естественных условиях приводящее к самомодуляции) и может объяснить некоторые особенности динамики генерации твердотельных лазеров без предположений об их технической неустойчивости.

Поступила 23.У.1980.

Кафедра квантовой радио-
физики

Литература

1. В.В. Андиферов, В.С. Пивцов, В.Д. Угомаев, К.Г. Фолин, Квантовая электроника, № 3 (15), 57 (1973).
2. В.В. Андиферов, А.В. Гайнер, К.П. Комаров, К.Г. Фолин, Квантовая электроника, № 3, 591 (1975).



3. В.В.Анциферов, А.В.Гайнер, К.П.Комаров, В.С.Пивцов, К.Г.Фолин, ЖПС, 24, № 1, 18 (1976).
4. А.В.Гайнер, К.П.Комаров, К.Г.Фолин, препринт №8-77, Новосибирск.
5. М.И.Джибладзе, Л.Э.Лазарев, А.И.Мествиришвили, Т.Я.Челидзе, З.Г.Эсиашвили, Сообщения АН Груз.ССР, 71, 581 (1973).
6. H.K.v.Lotsch, Phys.Lett., A26, № 7, 323 (1968).
7. Т.В.Бутхузи, М.И.Джибладзе. Сообщения АН Груз.ССР, 66, 569 (1972).
8. В.С.Идиатулин, А.В.Успенский, Квантовая электроника, 3 (15), 1973, 51 (1973).
9. М.М.Макагон, Ю.Н.Пономарев. Оптика и спектроскопия, 34, 762 (1973).
10. А.С.Гуревич, А.И.Кон, В.Л.Миронов, С.С.Хмелевцов, Лазерное излучение в турбулентной атмосфере, "Наука", М. (1976)
11. В.И.Гляцкин, Статистическое описание динамических систем с флуктуирующими параметрами, "Наука", М. (1975).
12. Л.А.Чернов, Волны в случайно-неоднородных средах, "Наука", М. (1975).
13. В.Л.Брауде, В.В.Заика, В.И.Кравченко, М.С.Соскин, ЖПС, 3, 225 (1965).
14. В.В.Заика, В.И.Кравченко, М.С. Соскин, УФЖ, 13, 816 (1968)
15. Я.И.Ханин, Динамика квантовых генераторов (В.М.Файн, Я.И.Ханин, Квантовая радиоп физика, т.2), "Сов.радио", М. (1975).
16. L.Freund. Appl. Phys. Lett., 12, 388 (1968).
17. R.C.Greenhow, A.J.Schmidt. Appl. Phys. Lett., 12, 390(1968).

მ.ჯიბლაძე, ლ.ლაზარევი, ე.თეპლიტსკი

ვერის მდინარეების არამდგრადობის მკვლევარ
დასახელების პრეზენტაცია

რეზიუმე

ვერის არამდგრადობის და მისი ეფექტის მკვლევარების
დასახელების ვერის მდინარეების არამდგრადობა და მისი
გავლენა გენერაციის პრეზენტაცია, ნაკვეთების, რთვ ვერის მდინარე-
ების დამდგრადობის ეფექტის ინტენსივობის რეგულაციის უზრუნველყოფის
ინტენსივობის.

M. Jibladze, L. Lazarev, E. Teplitski

THE EFFECT OF THE FIELD DISTRIBUTION INSTABILITY
UPON THE LASER GENERATION KINETICS

Summary

The instability of electromagnetic field distribution in solid-state laser and its effect upon the generation kinetics is investigated experimentally and theoretically. It is demonstrated that the generation field displacement in active medium causes the effect of Q-modulation in free generation mode.

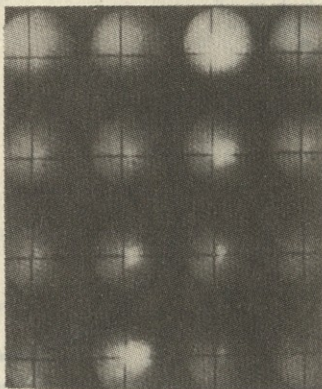


Рис.1

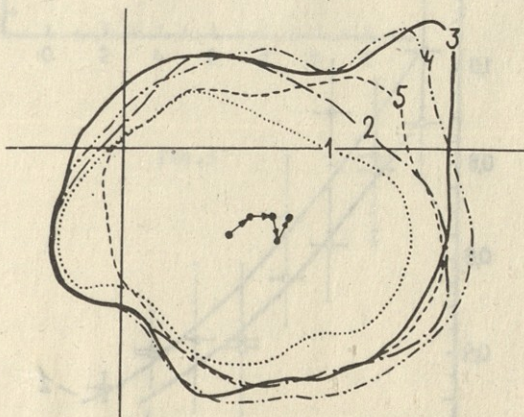


Рис.2

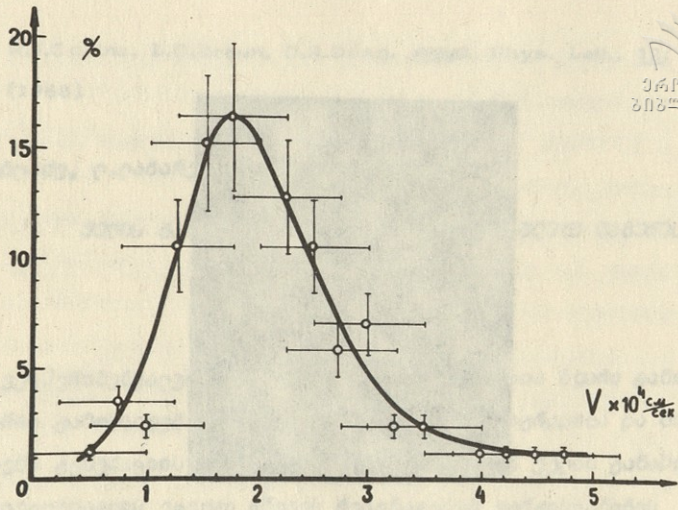


Рис. 3

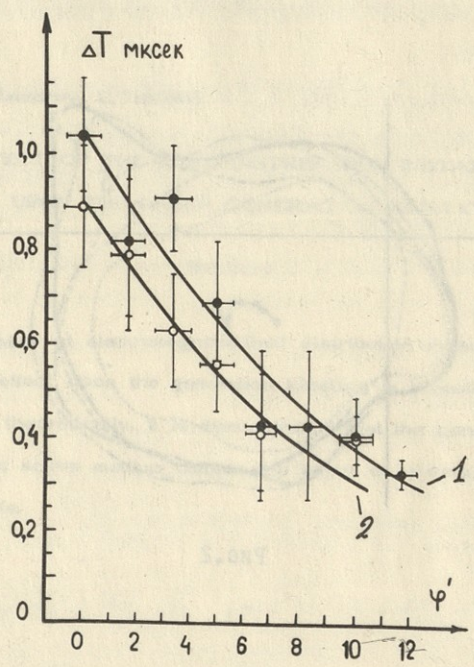


Рис. 4

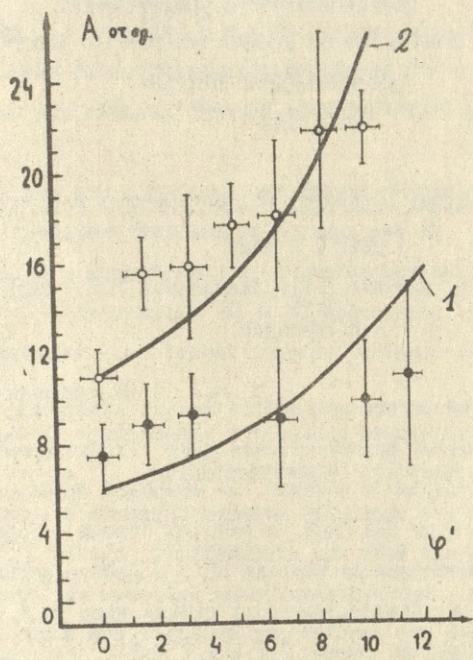


Рис. 5

АНАЛИЗ СЕЧЕНИЙ НЕУПРУГИХ ВЗАИМОДЕЙСТВИЙ РЕЛЯТИВИСТИЧЕСКИХ
ЯДЕР С ЯДРАМИ

Н.С.Григалашвили, Т.Р.Джалагания, Н.К.Ицциди,
Ю.В.Тевзадзе

В настоящей работе приводится анализ неупругих сечений взаимодействия релятивистских ядер /1/. Экспериментальный материал получен с помощью 2-метровой пропановой пузырьковой камеры ЛВЭ ОИЯИ, в рабочем объеме которой были помещены три пластины из тантала /2/. В работе использованы результаты экспозиции камеры в пучках ядер p, d, He, C при P_0 - импульс на нуклон 2,2 и 4,2 КэВ/с. Некоторые данные по сечениям взаимодействия вышеперечисленных релятивистских ядер с ядрами C и Ta опубликованы ранее /1/. Для анализа использованы также данные из других работ /3/.

Анализ полученных таким образом величин неупругого сечения взаимодействия релятивистских ядер проводился по формулам:

$$\sigma(A_i, A_t) = \pi R_0^2 (A_i^{1/3} + A_t^{1/3} - \epsilon)^2, \quad (1)$$

$$\sigma(A_i, A_t) = \pi R_0^2 [A_i^{1/3} + A_t^{1/3} - \beta(A_i^{1/3} + A_t^{-1/3})], \quad (2)$$

где R_0 является константой пропорциональности в выражении для радиуса ядер $R = R_0 A^{1/3}$, A_i и A_t - массовые числа ядер пучка и мишени, соответственно. Величина $\epsilon(\beta)$ выражает

степень перекрытия ядерных поверхностей при их взаимодействии. Формула (1) получена в модели твердых сфер с перекрытием из простых геометрических соображений /4/ и широко используется для анализа сечений взаимодействий различных ядер /1,5/.

Отметим, что при аппроксимации данных по обеим формулам в качестве свободных параметров брались как R_0 , так и $\delta(\rho)$. Результаты аппроксимации экспериментальных данных по формулам (1-2) для величин R_0 и $\delta(\rho)$ приведены в таблицах I и II. В таблицах в последней колонке указаны величины уровней достоверности (C.L.).

Как видно из приведенных в таблицах результатов аппроксимации, выражение (1) удовлетворительно описывает экспериментальные данные в довольно широком диапазоне значений A_i и особенно A_t . Однако получающееся при этом значение параметра R_0 зависит от массовых чисел сталкивающихся ядер, хотя физический смысл его введения заключается как раз в его универсальности. Существенно меняется также параметр δ . Таким образом, выделяется не совсем полная адекватность соотношения (1) с реальной физической картиной взаимодействия. Это может быть обусловлено тем, что формула (1) не учитывает изменения формы распределения ядерной материи при переходе от легких к тяжелым ядрам, т.е. не учитывает кривизну поверхности ядер в параметре перекрытия. Действительно, как известно, плотность нуклонов в легких ядрах имеет вид гауссовского распределения с довольно широко размытым краем. С другой стороны, плотность ядерной материи в тяжелых ядрах описывается распределением Ферми. Следовательно, в тяжелых

ядрах доля нуклонов, находящихся около поверхности, гораздо меньше, чем в легких. Поэтому в величине параметра перекрывания доминирующую роль будет играть более легкое ядро. Именно это и учитывается в явном виде в формуле (2), приведенной в работе /6/, где

$$b = \beta (A_i^{-1/3} + A_t^{-1/3}). \quad (3)$$

Тот факт, что в варианте модели /6/ во взаимодействиях выделяется роль поверхностных нуклонов, согласуется, например, с подходом модели Глаубера, с одной стороны /7/, а также с формой распределения плотности ядерной материи в модели мягких сфер /8/.

Результаты совместной аппроксимации зависимости $b = f(A_i, A_t)$ для легкой (C) и тяжелой (Ta) мишеней при $P_0 = 2,2$ и $4,2$ ГэВ/с на нуклон представлены на рис. 1 и 2.

Зависимость на рис. 1 соответствует аппроксимации величин сечений при импульсах налетающих ядер $P_0 = 2,2$ ГэВ/с на нуклон, а на рис. 2 - $P_0 = 4,2$ ГэВ/с на нуклон. Сплошной линией нанесены зависимости расчетных сечений неупругих взаимодействий от $A_i^{1/3} + A_t^{1/3}$ в результате аппроксимации по формуле (1), штрихованной линией - по формуле (2).

Обе формулы удовлетворительно описывают экспериментальные данные.

По формуле (1):

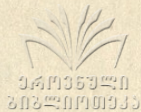
$$R_0 = (1,49 \pm 0,88) f_m, \quad b = 1,24 \pm 0,16, \quad P_0 = 2,2 \text{ КэВ/с,}$$

$$R_0 = (1,49 \pm 0,06) f_m, \quad b = 1,33 \pm 0,14, \quad P_0 = 4,2 \text{ ГэВ/с,}$$

а по формуле (2):

$$R_0 = (1,32 \pm 0,05) f_m, \quad \beta = 0,75 \pm 0,11, \quad P_0 = 2,2 \text{ ГэВ/с}$$

$$R_0 = (1,33 \pm 0,04) f_m, \quad \beta = 0,85 \pm 0,10, \quad P_0 = 4,2 \text{ ГэВ/с}$$



Зависимость сечения от A_i и A_f согласно (1) и (2) изучалась при фиксированных мишенях C и T_a в отдельности для тех же налетающих ядер.

Из приведенного анализа следует, что :

1) значение параметра R_0 , полученное по выражению (1), всегда больше, чем то же значение, полученное из (2). Причем, значения R_0 , полученные по формуле (2), существенно стабильнее, чем в случае формулы (1) (см. рис.3а);

2) аналогичное заключение можно сделать, по-видимому, и относительно стабильности параметра β (см. рис.3б);

3) отметим, что для тяжелой мишени, при исключении из налетающих ядер дейтрона, параметр перекрытия $\mathcal{V}(\beta)$ становится практически неопределенным, т.е. теряет физический смысл и применима модель твердых сфер без перекрытия (см табл.1, реакции $\underline{d} - \underline{m}$). Проведенная нами аппроксимация данных для этих реакций при фиксированном значении $\mathcal{V}(\beta) = 0$ также приводит к хорошему согласию ($C.L.=1$), однако значение R_0 по обеим формулам при этом несколько уменьшается

($R_0 = 1,21 \pm 0,02$) f_m . Факт иного поведения для случая дейтона объясняется тем, что распределение ядерной материи не соответствует ни гауссовскому, ни фермиевскому;

4) в случае объединения данных на разных парах мишеней (табл.2) имеют место, в общем, те же тенденции. В случае

Величины параметров R_0 и $\vartheta(\rho)$, полученные в результате аппроксимации сечения неупругих взаимодействий по формулам (1) и (2) на разных мишенях

Взаимодействующие ядра	Формула	R_0 [fm]	$\vartheta(\rho)$	с.б.
а (p, d, He, c)P	(1)	1,47 \mp 0,09	1,28 \mp 0,07	0,12
	(2)	1,13 \mp 0,06	0,56 \mp 0,04	0,22
б (d, He, c)P	(1)	1,28 \mp 0,13	1,11 \mp 0,14	0,43
	(2)	1,07 \mp 0,08	0,50 \mp 0,08	0,32
в (d, He, c)d	(1)	1,57 \mp 0,04	1,21 \mp 0,06	1
	(2)	1,32 \mp 0,03	0,62 \mp 0,03	0,27
г (d, He, c)He	(1)	1,56 \mp 0,04	1,27 \mp 0,09	1
	(2)	1,29 \mp 0,03	0,67 \mp 0,06	0,14
д (p, d, He, c)c*	(1)	1,65 \mp 0,22	1,47 \mp 0,29	1
	(2)	1,28 \mp 0,09	0,68 \mp 0,17	1
е (d, He, c)c*	(1)	1,54 \mp 0,27	1,28 \mp 0,46	1
	(2)	1,25 \mp 0,12	0,62 \mp 0,28	1
ж (p, d, He, c)c**	(1)	1,62 \mp 0,25	1,56 \mp 0,25	0,47
	(2)	1,22 \mp 0,10	0,70 \mp 0,20	0,45
з (d, He, c)c**	(1)	1,45 \mp 0,34	1,21 \mp 0,64	0,30
	(2)	1,20 \mp 0,15	0,55 \mp 0,36	0,25
и (d, He, c, o)c	(1)	1,85 \mp 0,16	1,76 \mp 0,23	0,27
	(2)	1,41 \mp 0,07	1,00 \mp 0,17	0,13
к (He, c, o)c	(1)	1,08 \mp 0,23	2,10 \mp 0,27	1
	(2)	1,55 \mp 0,11	1,38 \mp 0,24	1
л (He, c, o)Cu	(1)	1,32 \mp 0,30	0,61 \mp 1,30	1
	(2)	1,22 \mp 0,09	0,24 \mp 0,67	1
м (He, c, o)Pb	(1)	1,55 \mp 0,47	2,23 \mp 2,59	1
	(2)	1,28 \mp 0,16	1,03 \mp 1,59	1
н (p, d, He, c)Ta*	(1)	2,66 \mp 0,44	3,93 \mp 0,48	0,37
	(2)	1,40 \mp 0,14	1,23 \mp 0,64	0,29



Взаимодействующие ядра	Формула	R_0 [fm]	$\ell(\beta)$	С.Л.
o (d, He, c) Ta*	(1)	2,62 \pm 0,66	3,96 \pm 0,96	0,27
	(2)	1,51 \pm 0,19	1,89 \pm 0,86	0,18
п (p, d, He, c) Ta**	(1)	2,50 \pm 0,48	3,71 \pm 0,70	1
	(2)	1,48 \pm 0,11	1,59 \pm 0,51	1
р (d, He, c) Ta**	(1)	2,52 \pm 0,58	3,79 \pm 0,84	1
	(2)	1,51 \pm 0,19	1,88 \pm 0,70	1

* Данные с 2 м ПНК при $P_0 = 2,2$ Гэв/с

** Те же данные при $P_0 = 4,2$ Гэв/с

Таблица 2

Величины параметров R_0 и $\ell(\beta)$, полученные при аппроксимации сечения неупругих взаимодействий по формулам (1) и (2) для разных пар мишеней

Взаимодействующие ядра	Формула	R_0 [fm]	$\ell(\beta)$	С.Л.
а (p, d, He, c)(c, Ta)*	(1)	1,48 \pm 0,08	1,24 \pm 0,16	0,61
	(2)	1,32 \pm 0,05	0,75 \pm 0,11	0,80
б (d, He, c)(c, Ta)*	(1)	1,46 \pm 0,09	1,15 \pm 0,21	0,51
	(2)	1,33 \pm 0,06	0,77 \pm 0,15	0,56
в (He, c)(c, Ta)*	(1)	1,56 \pm 0,14	1,37 \pm 0,32	0,35
	(2)	1,41 \pm 0,09	1,09 \pm 0,27	0,50
г (p, d, He, c)(c, Ta)**	(1)	1,49 \pm 0,06	1,33 \pm 0,14	0,14
	(2)	1,33 \pm 0,04	0,85 \pm 0,10	0,58
д (d, He, c)(c, Ta)**	(1)	1,49 \pm 0,07	1,29 \pm 0,18	0,38
	(2)	1,35 \pm 0,05	0,91 \pm 0,14	0,36

Взаимодействующие ядра	Формула	R_0 [fm]	$\delta(\rho)$	С.Л.
е (He, c)(c, Ta)**	(1)	1,58 \pm 0,09	1,49 \pm 0,21	0,43
	(2)	1,42 \pm 0,06	1,16 \pm 0,18	1
ж (c, o)(c, Cu)	(1)	1,27 \pm 0,11	0,39 \pm 0,43	0,37
	(2)	1,24 \pm 0,06	0,31 \pm 0,34	0,39
з (He, c)(Cu, Ta)*	(1)	1,36 \pm 0,21	0,78 \pm 0,89	0,13
	(2)	1,26 \pm 0,11	0,52 \pm 0,66	0,13
и (He, c)(Cu, Ta)**	(1)	1,52 \pm 0,19	1,36 \pm 0,62	0,29
	(2)	1,32 \pm 0,10	0,79 \pm 0,55	0,16
к (He, c, D)(Cu, Pb)	(1)	1,21 \pm 0,08	0,12 \pm 0,50	0,86
	(1)	1,21 \pm 0,06	0,14 \pm 0,41	0,88
л (c, o)(Cu, Pb)	(1)	1,31 \pm 0,11	0,34 \pm 0,64	1
	(2)	1,21 \pm 0,07	0,18 \pm 0,62	0,58

* Данные с 2 -м Шк при $\rho_0 = 2,2$ Гэв/с

** Те же данные при $\rho_0 = 4,2$ Гэв/с

когда обе мишени тяжелые и среди налетающих ядер отсутствует дейтрон, параметр перекрытия также теряет физический смысл (см. табл. 2, реакции ж, з, к, л).

В заключение можно сказать, что в исследованном нами достаточно широком интервале массовых чисел взаимодействующих ядер для описания сечения взаимодействия хорошо работает простая геометрическая картина. Учет кривизны поверхности ядер в параметре перекрытия приводит к физически более последовательной картине.

Поступила 17.VI.1980

Кафедра теоретической
физики



ANALYSIS OF INELASTIC CROSS SECTIONS OF THE REACTIONS OF RELATIVISTIC NUCLEI WITH NUCLEI

INT. J. THEOR. PHYS. 20(2):101-103, 1983

Summary

An analysis of inelastic cross sections of relativistic nuclei with nuclei interactions has been carried out according to the solid spheres model with overlap. It is shown that taking into account the curvature of the surface in the overlap parameter leads to a better agreement of the data.

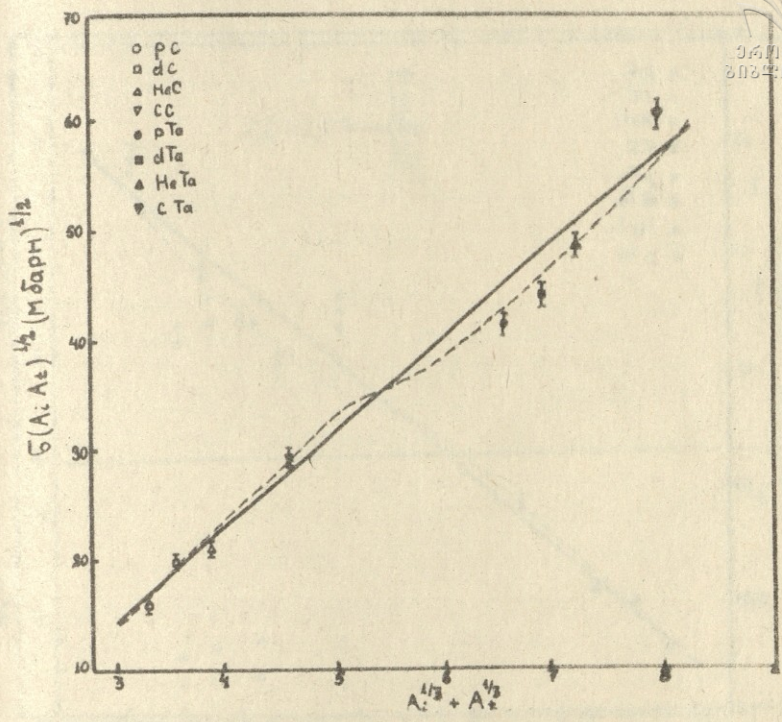


Рис. 1

Сечения неупругого взаимодействия при $P_0=2,2$ ГэВ/с на нуклон в зависимости от атомного веса ядра-снаряда A_i и ядра мишени A_t . Экспериментальные точки получены на 2 м ППР. Сплошная линия - зависимость расчетных неупругих сечений в результате аппроксимации по формуле (1) ($R_0 = 1,48 \pm 0,08$) f_m , $\beta = 1,24 \pm 0,16$; штрихованная линия - по формуле (2) ($R_0 = 1,32 \pm 0,05$) f_m , $\beta = 0,75 \pm 0,11$)

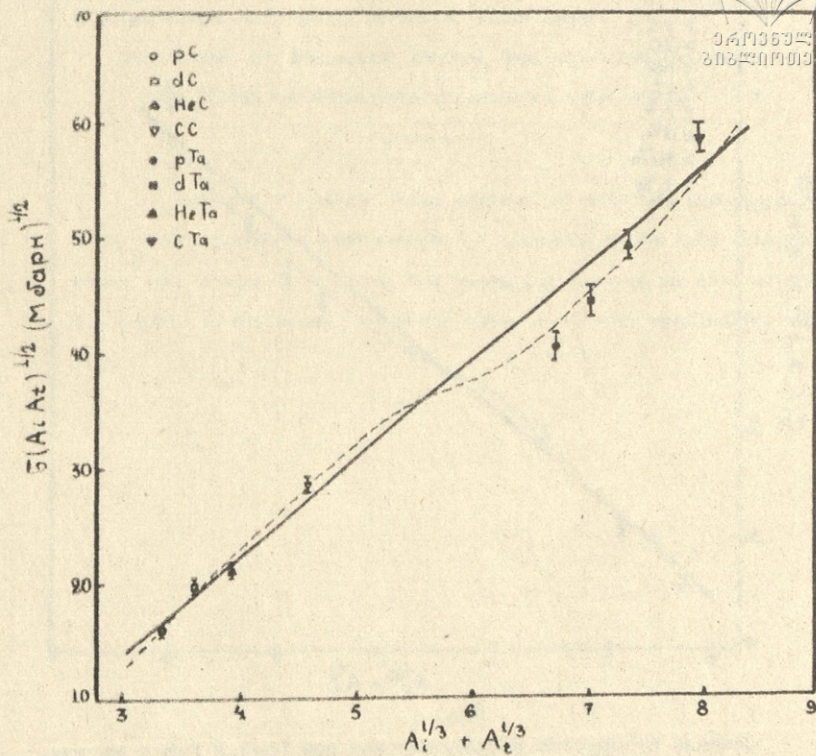


Рис. 2

Сечение неупругих взаимодействий при $P_0=4,2$ ГэВ/с на нуклон в зависимости от атомного веса ядра-снаряда A_i и ядра-мишени A_t . Экспериментальные точки получены на 2м ППК. Сплошная линия - зависимость расчетных неупругих сечений в результате аппроксимации по формуле (1) ($R_0=(1,49 \pm 0,06) f_m$, $\delta=1,32 \pm 0,14$); штрихованная линия - по формуле (2) ($R_0=(1,33 \pm 0,04) f_m$, $\delta=0,85 \pm 0,10$)

0419353210
2022010335

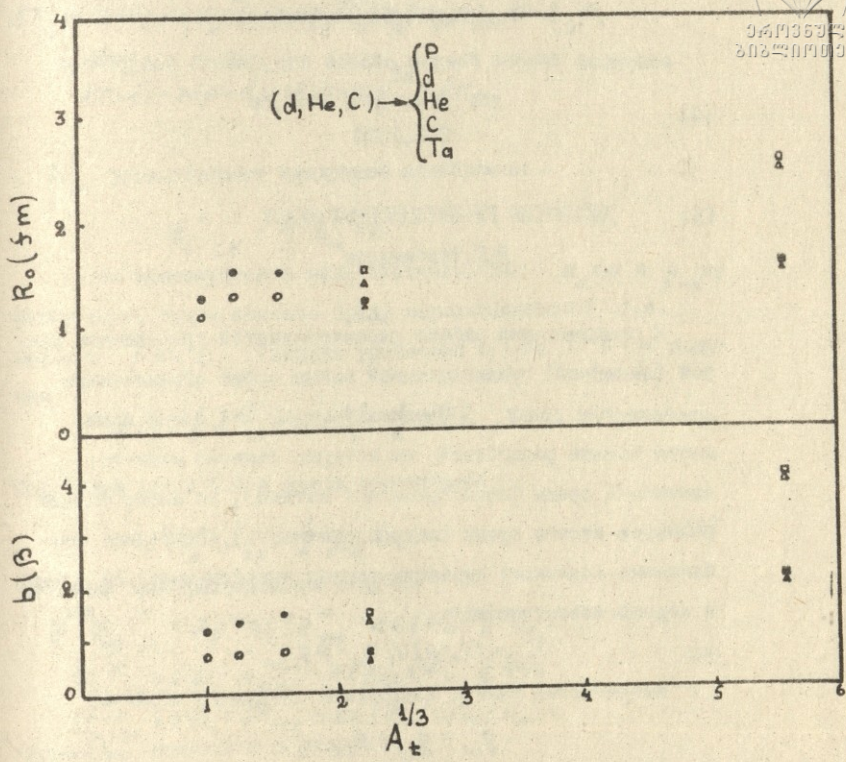


Рис. 3
 Значения параметров R_0 и $b(\beta)$, полученные при аппроксимации экспериментальных величин сечений неупругих взаимодействий по формулам (1) и (2) в зависимости от массового числа мишени A_t . □, ■ - точки, полученные с использованием данных с ППИК при $P_0=2,2$ ГэВ/с. △, ▲ - $P_0=4,2$ ГэВ/с.

ДИСПЕРСИЯ ГРАВИТАЦИОННЫХ ВОЛН

В.Г.Таргамадзе

В предлагаемой работе рассматривается прохождение слабой (линейной) гравитационной волны через ограниченную статическую среду. Предполагается, что длина волны много меньше расстояний, на которых заметно меняется плотность среды (геометрическая оптика), но много больше размеров атомов среды (макроскопичность). Последнее приближение позволяет выразить тензор энергии-импульса среды в хорошо известном виде.

$$T_{ik} = (\epsilon + p)u_i u_k - p g_{ik}.$$

Метрический тензор представим следующим образом;

$$g'_{ik} = g_{ik} + h_{ik},$$

где g_{ik} - метрика в отсутствии гравитационных волн, а h_{ik} - малые поправки, вызванные гравитационной волной. Это позволяет записать уравнения поля линейными по h_{ik} (см. например, /1/)

$$h_{ik ; e}^{; e} = 2 h_n^e R_{ike}^n + x (h_i^n T_{nk} + h_k^n T_{ni} - 2 \delta T_{ik} + g_{ik} \delta T), \quad (1)$$

где δT_{ik} и δT - возмущения тензора энергии-импульса, вызванные волной



$$\delta T_{i\kappa} = (\delta\epsilon + \delta\rho) u_i u_\kappa + (\epsilon + \rho)(u_i \delta u_\kappa + u_\kappa \delta u_i) + g_{i\kappa} \delta\rho - h_{i\kappa} \rho,$$

$$\delta T = \delta\epsilon - 3\delta\rho - h\rho + 2(\epsilon + \rho)g^{i\kappa} u_i \delta u_\kappa, \quad (2)$$

а $h_{i\kappa}$ удовлетворяет следующей калибровке:

$$\dot{h}_{i\kappa}^n - \frac{1}{2} \dot{h}_{,i} = 0. \quad (3)$$

Пусть невозмущенное поле статично. Тогда $u_\alpha = 0$ и $g_{0\alpha} = 0$. Кроме того, будем считать среду нерелятивистской, т.е. положим $\rho \ll \epsilon$. Свернув уравнения (1) по i и κ получим

$$x\delta\epsilon = \frac{1}{2} h_{,e}^e + x\epsilon h_0^0 - \frac{1}{2} x\epsilon h. \quad (4)$$

Подставив (4) в (1) и введя обозначение

$$\psi_{i\kappa} = h_{i\kappa} - \frac{1}{2} g_{i\kappa} h, \quad (5)$$

простыми преобразованиями получим

$$g^{\alpha\beta} \psi_{\alpha\beta ; e} = -2g^{\alpha\beta} \psi_n^e R_{\alpha\beta e}^n - x\epsilon(\psi_0^0 - \frac{1}{2}\psi), \quad (6)$$

$$\psi_{\alpha\beta ; e} = 2\psi_n^e R_{\alpha\beta e}^n - x\epsilon g_{\alpha\beta}(\psi_0^0 - \frac{1}{2}\psi),$$

$$\psi_{\alpha\alpha ; e} = 2\psi_n^e R_{\alpha\alpha e}^n + x\epsilon(\psi_{0\alpha} - 2u_0 \delta u_\alpha),$$

причем $\psi_{i\kappa}$ подчиняются условиям

$$\psi_{i\kappa}^n = 0. \quad (7)$$

Считая фоновое поле слабым, выбираем метрику в виде

$$g_{00} = 1 - 2\psi, \quad g_{\alpha\beta} = \zeta_{\alpha\beta}(1 - 2\psi),$$

где ψ - решение уравнения Пуассона

$$\Delta\psi = \frac{1}{2} x\epsilon, \quad (8)$$

а $\zeta_{\alpha\beta}$ - тензор Минковского.

В этом случае второе уравнение из (6) примет вид:

$$\begin{aligned}
 & \psi^{\epsilon m} \psi_{\alpha, \beta, \epsilon, m} - 2\psi \psi_{\alpha, \beta, 0, 0} + \psi^{\epsilon r} (2\psi \psi_{\alpha, \beta, r, \beta} + 4 \frac{\partial \psi}{\partial x^r} \psi_{\alpha, \beta, \beta} - 2 \frac{\partial \psi}{\partial x^r} \psi_{\beta, \beta, \alpha}) \\
 & - 2 \frac{\partial \psi}{\partial x^r} \psi_{\beta, \alpha, \beta} + 4 \frac{\partial \psi}{\partial x^\alpha} \psi_{\beta, \beta, \beta} + 4 \frac{\partial \psi}{\partial x^\alpha} \psi_{\gamma, \alpha, \beta} - \frac{\partial \psi}{\partial x^\alpha} \psi_{\beta, \beta} - \\
 & - \frac{\partial \psi}{\partial x^\alpha} \psi_{\beta, \alpha} - \epsilon \epsilon \psi_{\alpha, \beta} = 2\psi_n^\epsilon R_{\alpha \beta}^n - \epsilon \epsilon \psi_{\alpha, \beta} (1 - 2\psi) (\psi_0^\epsilon - \frac{1}{2} \psi).
 \end{aligned}$$

Будем искать решение уравнения (9) в виде

$$\psi_{\alpha, \beta} = A_{\alpha, \beta} + \epsilon B_{\alpha, \beta}.$$

Пренебрегая членами $\sim \epsilon^2$ и приравнивая одинаковые степени ϵ , получим

$$\begin{aligned}
 & A_{\alpha, \beta, \epsilon} = 0, \\
 & \epsilon B_{\alpha, \beta, \epsilon} = 2\psi A_{\alpha, \beta, 0, 0} - \psi^{\epsilon r} (2\psi A_{\alpha, \beta, r, \beta} + 4 \frac{\partial \psi}{\partial x^r} A_{\alpha, \beta, \beta} - 2 \frac{\partial \psi}{\partial x^r} A_{\beta, \beta, \alpha}) \\
 & - 2 \frac{\partial \psi}{\partial x^r} A_{\beta, \alpha, \beta} + 4 \frac{\partial \psi}{\partial x^\alpha} A_{\beta, \beta, \beta} + 4 \frac{\partial \psi}{\partial x^\alpha} A_{\gamma, \alpha, \beta} + \frac{\partial \psi}{\partial x^\alpha} A_{\beta, \beta} + \frac{\partial \psi}{\partial x^\alpha} A_{\beta, \alpha} + \\
 & + 2A_n^\epsilon R_{\alpha \beta}^n - \epsilon \epsilon \psi_{\alpha, \beta} (1 - 2\psi) (A_0^\epsilon - \frac{1}{2} \psi) + \epsilon \epsilon A_{\alpha, \beta}.
 \end{aligned} \quad (10)$$

Как известно [1], условия (7) еще не определяют однозначно системы отсчета. Воспользовавшись оставшимся произволом, легко показать, что A_{ik} (но не B_{ik}) можно подчинить дополнительным условиям

$$A_{0k} = A_i^i = 0, \quad \kappa^\alpha A_{\alpha, \beta} = 0. \quad (11)$$

Из (10) и (11) следует, что $A_{\alpha, \beta}$ можно считать плоской, поперечной гравитационной волной, а κ^α — волновым вектором.

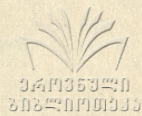
Направив ось x^1 вдоль волнового вектора, представим

$$A_{\alpha, \beta} \text{ в виде } A_{\alpha, \beta} = a_{\alpha, \beta} e^{i(\omega t + \kappa x^1)}$$

Подстановка последнего во второе из уравнений (10) даст

$$\begin{aligned}
 \epsilon B_{\alpha, \beta, \epsilon} = & \left\{ -4\psi \omega^2 a_{\alpha, \beta} + i\omega \left[4 \frac{\partial \psi}{\partial x^1} a_{\alpha, \beta} - 2(\delta_{\alpha 1} a_{\beta, \beta} + \delta_{\beta 1} a_{\alpha, \alpha}) \frac{\partial \psi}{\partial x^1} \right] + \right. \\
 & \left. + 2a_{\gamma}^{\beta} R_{\alpha \beta \gamma}^{\gamma} + \epsilon \epsilon A_{\alpha, \beta} \right\} e^{i(\omega t + \kappa x^1)}.
 \end{aligned} \quad (12)$$

Решая уравнение (12), получим



$$\begin{aligned} \alpha B_{\alpha\beta} = & \left\{ (\lambda\psi + \frac{1}{4}\epsilon\epsilon x'^2) a_{\alpha\beta} + (\delta_{\alpha 1} a_{\rho\beta} + \delta_{\beta 1} a_{\rho\alpha}) \int \frac{\partial\psi}{\partial x'^\rho} dx' + \right. \\ & \left. + i \left[(-2\omega\int\psi dx' + \frac{1}{4\omega}\epsilon\epsilon x') a_{\alpha\beta} + \frac{1}{\omega} a_{\beta}^{\rho} \int R_{\alpha\rho}^r dx' \right] \right\} e^{i(\omega t + \kappa x')} \end{aligned} \quad (13)$$

и, следовательно, для поперечных и продольных компонент

$\psi_{\alpha\beta}$ имеем

$$\psi_{\alpha\beta} = a_{\alpha\beta} \left\{ (1 - 2\psi + \frac{\epsilon}{4}\epsilon x'^2) + i(-2\omega\int\psi dx' + \frac{\epsilon}{4\omega}\epsilon x' - \frac{1}{\omega}\int R_{3223} dx) \right\} e^{i(\omega t + \kappa x')}, \quad \alpha, \beta = 2, 3. \quad (14)$$

$$\psi_{11} = -\frac{i}{\omega} \left[a_{22} \int (R_{2112} - R_{3113}) dx' - 2a_{23} \int R_{2113} dx' \right] e^{i(\omega t + \kappa x')},$$

$$\psi_{1\alpha} = \left\{ -a_{\rho\alpha} \int \frac{\partial\psi}{\partial x'^\rho} dx' - \frac{i}{\omega} a_{\alpha}^{\rho} \int R_{1\rho}^r dx' \right\} e^{i(\omega t + \kappa x')}$$

Фазу поперечных компонент в данном приближении можно представить в виде

$$\varphi = \omega t + \kappa x' - 2\omega\int\psi dx' + \frac{1}{4\omega}\epsilon\epsilon x' - \frac{1}{\omega}\int R_{3223} dx'. \quad (15)$$

Поскольку скорость, измеренная локальным наблюдателем есть

$$v = \sqrt{\frac{g_{11}}{g_{00}}} \frac{dx'}{dt},$$

то для фазовой скорости поперечных компонент получим

$$v = 1 - \frac{1}{4\omega^2}\epsilon + \frac{1}{\omega^2} R_{2332} \equiv 1 + \frac{1}{4\omega^2}\epsilon - \frac{\partial^2\psi}{\partial x'^2}.$$

Продольные и продольно-поперечные компоненты, как и ψ_{00} и ψ_{01} (которые можно вычислить из (7) распространяются с фундаментальной скоростью.

Поступила 24.VI.1980

Кафедра общей физики

Литература

1. Л.Д.Ландау, Е.М.Лифшиц. Теория поля, "Наука", 1973.

რეზიუმე

განხილულია სუსტი /წრფივი/ გრავიტაციული ტალღის გავრცელება ბერძნულ-სტრუქტურულ სტრუქტურულ გარემოში, იმ დაშვებით, რომ ტალღის სიგრძე ბევრად ნაკლებია იმ მანძილზე, რომელიც იმდენად, რამდენადც ბუნებრივად იცვლება გარემოს სიბრტყე /გეომეტრიული ობიექტი/, იატომი ბევრად აღემატება გარემოს ატომების მანძილს /ნაკლებობს/, განიხილილია ტალღის ფაქტური სიჩქარე და დისპერსიის კანონი გარემოში.

V. Targamadze

THE DISPERSION OF GRAVITATIONAL WAVES

Summary

The paper considers the propagation of a weak (linear) gravitational wave through finite-sized static medium.

The velocity of the wave and the dispersion law are calculated in the approximation that the wave length is much less than the distance at which the medium density is significantly modified (geometric optics), but is much more than the atom sizes of the medium (macroscopicity).

ИССЛЕДОВАНИЕ ДОМЕНОВ В РЕДКОЗЕМЕЛЬНЫХ МАГНЕТИКАХ
МЕТОДОМ ДЕПОЛЯРИЗАЦИИ НЕЙТРОНОВ

Н.Г.Баазов, Е.А.Бирюкова, А.Г.Манджavidze

По деполяризации прошедшего пучка тепловых поляризованных нейтронов ($\lambda = 1.08 \text{ \AA}$) исследована доменная структура в редкоземельных металлах (тербий, диспрозий) и соединениях (ортоферриты, ферриты-гранаты, интерметаллиды) и рассчитан средний размер доменов в глубине массивных образцов. Прослежено влияние температуры, магнитного поля и деформации растяжения на величину доменов. Определены условия возникновения однодоменного состояния в некоторых ферритах-гранатах. Обнаружен резонансный переворот нейтронных спинов, возникающий при перестройке доменной структуры в ряде соединений. По экспериментальным данным и на основе соответствующей модели определена величина внутреннего эффективного ведущего магнитного поля.

§ 1. Введение

Согласно гипотезе Вейсса /1/, ферромагнетик в отсутствие внешнего магнитного поля разбивается на малые области - домены, каждый из которых самопроизвольно намагничен, но векторы намагниченности ориентированы так, что результирующий макроскопический магнитный момент равен нулю. Во внешнем поле

векторы намагниченности ориентируются вдоль поля, и возникает результирующий момент в образце. Ландау и Лифшиц /2/ дали окончательное теоретическое обоснование и предложили конкретную модель доменной структуры.

Вышесказанное относится к ферро- и ферромагнетикам, но, как следует из экспериментов /3/, доменная структура возможна и в антиферромагнетиках. В работе /4/ исследовались антиферромагнитные домены в редкоземельных (РЗ) металлах и сплавах.

Для визуального наблюдения доменов существует ряд методов: порошковых фигур Акулова-Биттера /5/, эффектов Керра и Фарадея /6/, двойного лучепреломления, рентгеновской дифрактометрии, электронных пучков, дифракции света, пермалоевских и холловых датчиков, ферромагнитного резонанса и др. Эти методы имеют те или иные недостатки, ограничивающие область их применения.

Единственный метод, известный в настоящее время и позволяющий получать информацию о доменной структуре и ее динамике внутри массивного образца, — это нейтронный, включающий нейтронографию, например, /7/, и прохождение поляризованных нейтронов. В последнем случае меняется первоначальная поляризация пучка \vec{P}_0 , т.е. имеет место либо поворот вектора поляризации \vec{P} прошедшего пучка, либо деполяризация, связанная с хаотическим разбросом фаз \vec{P} при прохождении магнитных неоднородностей, размер которых много меньше поперечного размера пучка нейтронов.

Исследования доменов с помощью поляризованных нейтронов велись и ранее /8,9/. Во многих работах Драбкина, например,

в /10/, изучалась доменная структура магнетиков. В настоящей работе эксперименты проводились на установке, описанной в работах /11,12/.



§ 2. Теоретические аспекты

Деполаризация нейтронов на доменах впервые была рассмотрена в работе /13/. В ней выведена простая формула для относительного изменения поляризации нейтронного пучка, прошедшего через магнитные домены толщиной δ_i :

$$P = P_0 \exp\left(-\frac{1}{2} \gamma_n^2 \sum_i B_i^2 \delta_i^2\right). \quad (2.1)$$

Здесь B_i - магнитная индукция в i -м домене, γ_n - гидромагнитное отношение для нейтрона. Сумма берется по всем доменам на пути нейтронов, движущихся с постоянной скоростью v . Формула (2.1) верна при условии:

$$\frac{1}{2} \gamma_n B_i \delta_n / v \ll 1. \quad (2.2)$$

В общем случае, когда поле B_i каждого домена является суммой полей \vec{B}_0 и \vec{B}_{ni} , из которых \vec{B}_0 является постоянным на протяжении всей толщины образца, \vec{B}_{ni} - постоянно внутри i -го домена, причем $|\vec{B}_{ni}| \ll |\vec{B}_0|$ с учетом (2.2), а также того, что $\vec{B}_{ni} \perp \vec{B}_0$, получаем, что

$$D_M = \frac{P}{P_0} = \exp\left[-\frac{1}{2} \left(\frac{\gamma_n}{v}\right)^2 \langle B_{ni}^2 \delta_i^2 \rangle_{av} \left(\frac{d}{\delta}\right)\right]. \quad (2.3)$$

Здесь D_M - т.н. фактор деполаризации, d - толщина образца, δ - средний размер доменов. Знак $\langle \dots \rangle_{av}$ означает усреднение по всем нейтронным направлениям.

С учетом ряда допущений, путем несложных преобразований /14/ получается удобная для практических расчетов доменной структуры формула:

$$D_{\mu} \cong \exp \left[\frac{1}{15} \left(\frac{\delta \alpha}{v} \right)^2 (4\pi \chi)^2 H^2 \delta d \right].$$

(2.4)
 0419359211
 20220110333

Здесь H - внешнее магнитное поле, χ - магнитная восприимчивость. Таким образом, в эксперименте измеряется фактор деполяризации и по формуле (2.4) рассчитывается или оценивается средний размер доменов в глубине массивных образцов.

Малеевым и Рубаном /15/ было показано, что в ряде случаев следует учитывать зависимость деполяризации нейтронов от взаимной ориентации векторов \vec{P}_0 и \vec{v} , чего не было сделано в работе /13/.

Существует иной подход к проблеме, если учесть явление резонансной деполяризации /10/. Этому эффекту посвящены также работы /16,17/. Он возникает благодаря интерференции малых последовательных поворотов \vec{P} в блоховских стенках, обусловленной его прецессией вокруг поля \vec{B}_i в доменах. В работе /17/ на кривой деполяризации вблизи T_c наблюдался ряд последовательных минимумов. Резонансный интервал полей составил 100-170 Э. Аналогичные эффекты отмечены в данной работе вблизи температур T_n спиновой переориентации /18/ и T_a нового магнитного фазового перехода /19,20/, обнаруженного в ряде РЗ ферритов-гранатов.

§ 3. Домены в редкоземельных магнетиках

В работе /21/ методом коллоидов в монокристалле тербия при температуре 210 К наблюдалась доменная структура, возникавшая после намагничивания в поле 150 Э, с размером доменов порядка 2мкм на поверхности образца. В данной работе

по деполяризации нейтронов рассчитывался средний размер доменов в глубине массивных поли- и монокристаллических образцов, как и в работах /14,22/. На рис. 1 приведены результаты для тербия, на рис. 2 - для диспрозия. Сводные данные систематизированы в табл. 1. Соответствующие эксперименты описаны в работах /12,23/.

По деполяризации нейтронов оценен размер доменов в интерметаллиде $TbCo_{5,1}$. Полевая зависимость при комнатной температуре приведена на рис. 3 (литературных данных по доменам в этих соединениях нами не обнаружено).

Доменной структуре в РЗ ортоферритах вблизи T_n посвящены многие работы, в том числе /24,25/. По данным работы /24/, ширина доменов в эрбиевом ортоферрите между T_{n1} и T_{n2} составляет 60 мкм. Некоторые наши данные по эрбиевому и тулиевому ортоферритам приведены в табл. 2. Расчеты проводились по результатам работы /26/.

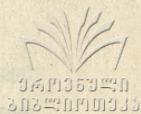
Доменная структура ферритов, в частности РЗ ферритов-гранатов, исследовалась в ряде работ, например, в /27/. В работе /28/ был применен рентгенографический метод. По данным работы /29/ в тербиевом гранате с ростом поля до 50 Э наблюдалось увеличение размера доменов с 0.05 до 0.2 мм. Наши оценки даны в таблице 3.

Средний размер доменов в редкоземельных металлах: $(\delta \times 10^4)$ см

	Охлаждение. Магнитное поле, Э				
	10	400	500	600	700
Тербий отожженный поликристалл, 214 К	20.0	25.0	26.0	26.5	26.5
Тербий деформированный	1.0	15.0	20.0	21.0	21.5
Диспрозий отожженный, 81.2 К	1.2	5.0	6.0	6.5	6.7
Охлаждение	Температура, К				
	200	210	215	216	217
Тербий отожженный поликристалл, 20 Э	21.5	21.0	20.0	19.8	19.7
Тербий деформированный, поликристалл 20 Э	21.5	15.0	8.5	6.5	5.0
Тербий отожженный монокристалл, 18 Э	46.0	44.5	42.0	40.0	-
Тербий неотожженный монокристалл, 18 Э	34.5	31.5	30.0	29.5	-
Поле 20 Э	Температура, К				
	72	75	80	83	
Диспрозий отожженный поликристалл, нагрев	3.8	3.7	3.6	3.5	
То же, охлаждение	3.8	3.7	2.9	1.8	

Таблица 2

Средний размер доменов в редкоземельных соединениях:
 ($\bar{D} \times 10^4$), см.



	Температура, К				
	80	85	90	95	100
Эрбиевый ортоферрит, 3 э	20	15	10	20	30
	100 э	45	40	35	60
Тулиевый ортоферрит, 3 э	40	30	20	40	65
	100 э	80	60	45	80
Интерметаллид тербий-кобальт 293 К	Поле, э				
	3	500	1000	1500	2100
	2	6	10	14	18

Таблица 3

Средний размер доменов в ферритах-гранатах:
 ($\bar{D} \times 10^4$), см

$T_{\text{с}}^{\text{с}} \text{ у } \text{х} \text{ к } \text{Fe}_2 \text{O}_3$	Т = 293 К			
	Поле, э			
Значение х	3	40	120	300
0.26	9	70	90	130
0.5	6.5	70	80	105
1.65	4	65	70	100
2.12	2	55	65	85
3.0	1	40	65	75

Имеется немало работ, в которых исследовано влияние того или иного типа деформации на магнитные свойства, в частности - на доменную структуру. Следует отметить работу /7/, в которой методом малоуглового рассеяния нейтронов было установлено, что размер доменов в ферромагнетике мал в деформированном образце, растет в поликристаллах, еще больше в монокристаллах и достигает максимума в отожженных монокристаллических образцах.

В данной работе приведены некоторые результаты изменения величины доменов в поликристаллическом тербии, подвергнутом деформации растяжения с помощью универсальной испытательной машины типа "Instron - 1115" - вблизи температуры T_c перехода из ферро- в антиферромагнитное состояние. На рис.4. дана температурная зависимость среднего размера доменов для одного из образцов, растянутого усилием 12 кг/мм^2 . На рис.5. дана соответствующая полевая зависимость ниже T_c . Длительный термический отжиг практически полностью восстанавливал магнитные свойства деформированных образцов. Часть результатов дана в таблице I. Там же приводятся данные для монокристаллов и недеформированных поликристаллов диспрозия.

§ 4. Динамика доменной структуры

С помощью поляризованных нейтронов легко идентифицируется однодоменное состояние в образце. В случае РЗ ферритов-гранатов переход спиновой переориентации в T_n можно четко наблюдать методом деполяризации нейтронов в состоянии, близком к однодоменному. Т.к. спиновая переориентация состоит

041935740
3032110333

в спонтанном развороте вектора намагниченности к другому кристаллографическому направлению, а в отсутствие внешнего поля легкие оси в различных доменах направлены вдоль разных направлений (например, вдоль 8 направлений типа $[111]$), переориентацию в "чистом" виде наблюдать трудно из-за почти полной деполяризации прошедших через такой образец нейтронов. С увеличением поля происходит рост доменов, и при каком-то значении (порядка 75% от насыщения, которое в РЗ ферритах-гранатах составляет 400-600 Э в зависимости от состава) возникает состояние, близкое к однодоменному. Такие исследования можно проводить только на поляризованном пучке нейтронов. Некоторые данные приведены в /18/.

В работах /19,20/ описан новый фазовый переход, обнаруженный методом деполяризации нейтронов при некоторой температуре T_a вблизи экстремума первой константы кристаллографической магнитной анизотропии, где происходит, по-видимому, интенсивная перестройка доменной структуры. При этом наблюдаются и резонансные явления в некотором интервале магнитных полей (60-80 Э). Из рис. 6 видно, что в определенных условиях резкое изменение поляризации нейтронов на противоположное характерно для процессов вблизи T_a . Этот эффект связан с резонансным переворотом нейтронных спинов при прохождении пучка сквозь создаваемое доменами периодическое магнитное поле /30/. Условия для такого прохождения могут возникать в некотором интервале температур и полей. Если, следуя /31/, принять для среднего размера доменов величину $5 \cdot 10^{-3}$ см, а также учесть тот факт, что для направления $[111]$ в поле 120 Э образец становится как бы однодоменным

/18/, можно считать, что средний размер доменов в поле 70 Э не меньше, чем $5 \cdot 10^{-2}$ см. (Это, кстати, подтверждается и нашими оценками по формуле (2.4)). Применив, согласно /30/, для оценки эффективного ведущего поля H_0 внутри образца формулу, используемую для расчетов резонансных систем,

$$H_0 = \frac{\sigma v}{\delta_n \delta} \quad (4.1)$$

($v = 3.3 \times 10^5$ см/с, $\delta_n = 1.84 \times 10^4$ рад/с·Гс), получаем величину порядка 10^3 Э, которая находится в согласии с теоретическими оценками /32/.

Заключение

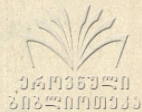
В результате проведенных исследований был измерен средний размер доменов в глубине массивных образцов ряда РЗ металлов и соединений. Выяснено, что эта величина больше, чем полученная с помощью других методик для поверхностей подобных образцов.

Средний размер доменов заметно менялся при растяжении образца. Наибольшие изменения имели место при охлаждении образцов в слабом внешнем поле, т.е. большие механические напряжения, возникающие в образце, препятствуют магнитному упорядочению и движению доменных границ. С ростом поля средний размер доменов в деформированном образце меняется более резко, а величина его уменьшается.

Эксперименты по выявлению однодоменного состояния магнетиков представляют собой важный для материаловедения результат, а резонанс при перестройке доменной структуры может быть использован в технике нейтронных экспериментов

как инструмент для переворота нейтральных спинов.

Авторы благодарны Л.Д.Буйшвили, Р.З.Левитину и Г.А.Харадзе за обсуждение полученных результатов и полезные замечания.

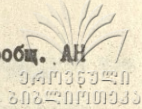


Поступила 25.VI.1980

Институт физики АН ГССР

Литература

1. P.Weiss. J.Phys. et radium, 6, 661, 1907.
2. Л.Д.Ландау, Е.М.Лифшиц. Phys. Zs. UdSSR, 8, 153, 1935.
3. М.М.Фарзетдинов. УФН, 84, 6II, 1954.
4. S.V.Palmer. J.Phys. F: Met. Phys., 5, 2370, 1975.
5. F.Bitter. Phys. Rev., 38, 1905, 1931; Н.С.Акулов, М.В.Дегтяр. Ann. Phys., 15, 750, 1932.
6. H.J.Williams, F.G.Foster, E.A.Wood. Phys. Rev., 82, 119, 1951; C.A.Fowler, E.M.Fryer. Phys. Rev., 104, 552, 1956.
7. С.Ш.Шильштейн, В.А. Соменков, М.Каланов, Н.О.Елутин. ФТТ, 18, 3231, 1976.
8. M.Schlenker, C.G.Shull. J.Appl. Phys., 44, 4181, 1973.
9. M.Th.Rekvelde. Z.Phys., 259, 391, 1973.
10. Г.М.Драбкин, В.А.Трунов, А.Ф.Щебетов. Письма в ЖЭТФ, 10, 527, 1969.
11. Н.Г.Баазов, Дж.С.Цакадзе. В сб. "Тр.Добил. сессии Ин-та физики АН ГССР", Тб., 1968, с.119.
12. Н.Г.Баазов, Я.М.Бараш, С.И. Шило. В сб. "Радиационная физика твердого тела и радиационная материаловедение", I, Тб., 1974, с.170.
13. O.Halpern, T.Holstein. Phys. Rev., 59, 960, 1941.

- 
 ՀԱՅԿՍՏԱՆԻ
 ԳՐԱԴԱՐԱՆ
14. Ю.М. Колесников, А.А.Нерсисян, Г.А.Харадзе. *Сбщ. АН СССР*, 71, 77, 1973.
 15. С.В.Малеев, В.А.Рубан. *ЖЭТФ*, 62, 415, 1972; *ФТТ*, 18, 2283, 1976.
 16. С.В. Малеев, В.А.Рубан, В.А. Трунов. *Письма в ЖЭТФ*, 10, 541, 1969.
 17. В.А.Трунов, Р.П.Дмитриев, В.А.Ульянов. *ФТТ*, 15, 1353, 1973.
 18. Н.Г.Баазов, Е.А. Бирюкова, Р.З. Левитин, А.С.Маркосян, С.И.Шило. *ФТТ*, 19, 1834, 1977.
 19. Н.Г.Баазов, Е.А.Бирюкова, А.Г.Манджavidзе, А.С. Маркосян, Н.И. Надирадзе, Л.С.Топчян, С.И.Шило. *ФТТ*, 20, 1581, 1978.
 20. Н.Г.Баазов, Ф.Х.Акопов, В.В.Гогавя, А.Г.Манджavidзе, В.М.Федоров. *ФТТ*, 22, 273, 1980.
 21. W.D.Corner, T.S.Al-Bassam. *J.Phys. C: Solid St. Phys.*, 4, 47, 1971.
 22. E.Löffler, H.Rauch. *J.Phys. and Chem. Sol.*, 30, 2175, 1969; H.Rauch, E.Seidl, A.Zeilinger. *Zang. Phys.*, 32, 109, 1971; H.Rauch, A.Zeilinger. *Atomkernenergie*, 19, 167, 1972.
 23. Н.Г. Баазов, А.Г.Манджavidзе. *ФТТ*, 15, 1933, 1973; Н.Г.Баазов, Я.М.Бараш, Л.М.Колесникова, С.И.Шило. *Сообщ. АН СССР*, 71, 333, 1973.
 24. А.И.Беляева, М.М.Котлярский, Ю.М.Стельмахов. *ФТТ*, 18, 2229, 1976.
 25. А.К. Звездин, С.Г.Каленов. *ФТТ*, 14, 2835, 1972; В.Г. Барьяхтар, Б.Н.Разсукованный, Е.П.Стефановский. *ФММ*, 36, 455, 1973.

N. Baazov, E. Biryukova, A. Manjavidze

STUDY OF DOMAINS IN RARE - EARTH MAGNETICS BY
MEANS OF POLARIZED NEUTRONS

Summary

Domain structure in rare-earth metals (Tb, Dy) and in compounds (orthoferrites, iron garnets, intermetallics) was investigated and the mean domain sizes inside the bulk specimens calculated from the depolarization of the transmitted polarized thermal neutron beam. The conditions in which monodomain state arises in some iron garnets are determined. Neutron spin resonance overturn was observed in some compounds when the domain structure rearranges.

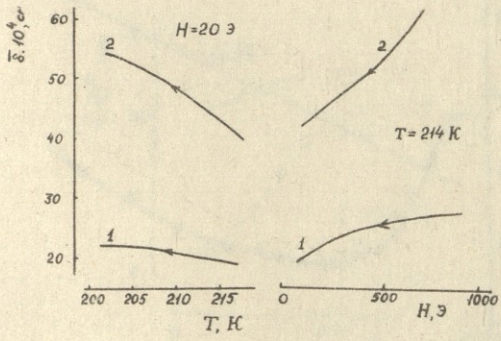


Рис. 1

Температурная и полевая зависимости среднего размера доменов в тербии: 1 - поликристалл, 2 - монокристалл.

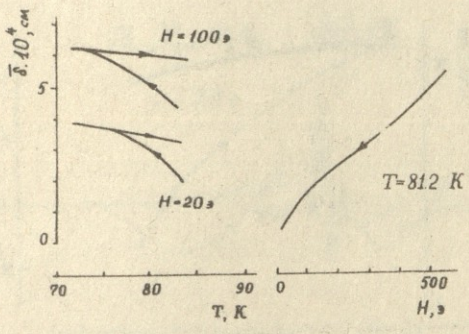


Рис. 2

Температурная и полевая зависимость среднего размера доменов в поликристаллическом диспрозии.

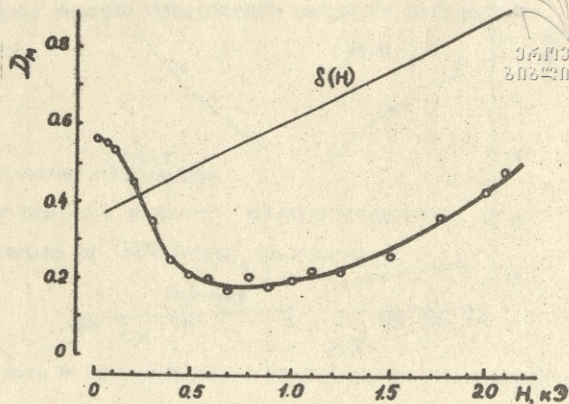


Рис. 3

Полевая зависимость фактора деполяризации нейтронов в поликристаллическом интерметаллиде $TbCo_{5.1}$ при комнатной температуре. Показана также оценка относительного изменения среднего размера доменов во внешнем поле.

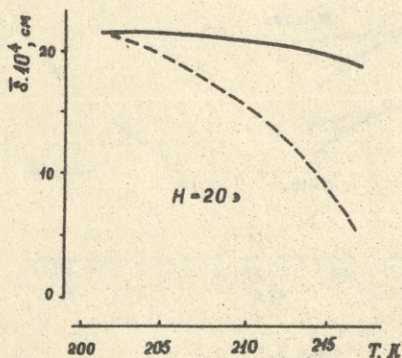


Рис. 4

Температурная зависимость среднего размера доменов в поликристаллическом тербии: сплошная линия - недеформированный отожженный образец, пунктирная - деформированный.

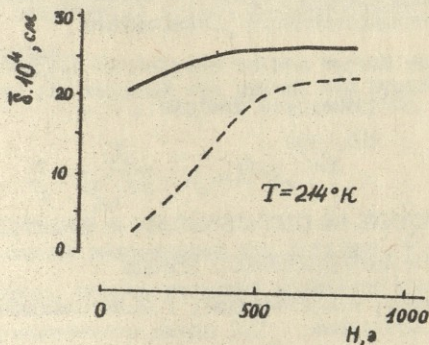


Рис. 5

Полевая зависимость среднего размера доменов в поликристаллическом тербии: сплошная линия - недеформированный образец, пунктирная - деформированный.

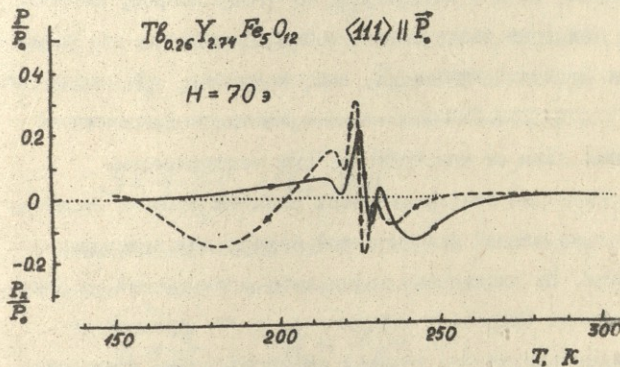


Рис. 6

Температурная зависимость отношения степени поляризации прошедшего и падающего нейтронных пучков для одного из составов ферритов-гранатов в поле 70 э при цикле нагрев-охлаждение в окрестности T_a . Виден резонанс на доменной структуре.

ВЛИЯНИЕ КОНСТРУКЦИИ НА СТАТИСТИЧЕСКИЕ И ДИНАМИЧЕСКИЕ
ПАРАМЕТРЫ ЦИЛИНДРИЧЕСКОГО ТРИОДА

Ш.Л.Бебиашвили, М.Ш.Кобахидзе, Г.З.Магалашвили

Одним из существенных факторов, влияющих на работу электронных ламп, является их конструкция (т.е. геометрия и форма электродов). Эта задача для цилиндрической конструкции с учетом начальных скоростей электронов достаточно сложна. Хотя в литературе по этому вопросу имеются довольно солидные исследования [1, 2, 3, 4, 5, 6], но для решения таких практических задач, как, например, зависимость статических и динамических параметров цилиндрических электронных ламп от конструкции, они малопригодны.

Целью настоящей статьи является попытка решения вышеуказанной весьма важной практической задачи для цилиндрического триода. Не накладывая каких-либо ограничений на величины начальных скоростей электронов, в [7] произведено приближенное (достаточно точное) интегрирование уравнения Пуассона в цилиндрическом диодном промежутке. При этом предполагалось, что промежуток имеет осевую симметрию, а междуэлектродные расстояния (а также радиусы кривизны электродов) пренебрежимо малы по сравнению с длиной

лампы. Затем в /8/ была сделана попытка применения полученных в /7/ результатов к двум диодным промежуткам цилиндрического триода.



В работе /8/ анодный ток триода был представлен в такой форме:

$$j_a = \frac{j_s}{U_{эс}^{3/2}} (U_c + D U_a)^{3/2}, \quad (1)$$

где j_s - полный эмиссионный ток с катода, $U_{эс}$ - эффективный потенциал, соответствующий начальной точке режима насыщения эквивалентного диода ($U_{эс}$ находится из специального трансцендентного уравнения, приводимого в /8/), U_c - потенциал сетки, U_a - потенциал анода, D - проницаемость сетки, которая может быть записана в такой форме /9/:

$$D = \frac{\rho n \frac{r_c}{N \rho}}{N \rho n = \frac{r_a}{r_c}} \quad (2)$$

Здесь N, ρ - соответственно полное число и радиус проволоки сетки, r_a - радиус анода, r_c - радиус сетки.

Согласно (1) крутизна анодно-сеточной характеристики:

$$S = \frac{3}{2} \frac{j_s}{U_{эс}^{3/2}} \sqrt{U_c + D U_a} \quad (3)$$

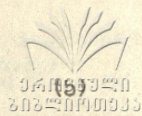
Статистический коэффициент усиления μ и внутреннее сопротивление R_i можно найти из формул:

$$\mu = \frac{1}{D}, \quad R_i = \frac{\mu}{S}. \quad (4)$$

Так как обычно

$$U_c = -\frac{D U_a}{2},$$

то эффективный потенциал триода



$$U_{\text{э}} = U_c + DU_{\text{г}} = \frac{DU_{\text{а}}}{\alpha}$$

Если нагрузка в анодной цепи лампы активна (R_a), то крутизна и коэффициент усиления в динамическом режиме соответственно таковы:

$$S_d = \frac{S}{1+\alpha}, \quad \mu_d = \frac{\mu_a}{1+\alpha}, \quad \text{где } \alpha = \frac{R_a}{R_i} \quad (6)$$

Если же нагрузка в анодной цепи комплексна ($Z_a = R_a + jX_a$), то S_d и μ_d тоже комплексны. Их активные и реактивные части выражаются так:

$$R_e S_d = \frac{S(1+\alpha)}{(1+\alpha)^2 + c^2}, \quad Y_m S_d = \frac{Sc}{(1+\alpha)^2 + c^2}, \quad (7)$$

$$R_e \mu_d = \mu \frac{\alpha(1+\alpha) + c^2}{(1+\alpha)^2 + c^2}, \quad Y_m \mu_d = \mu \frac{c}{(1+\alpha)^2 + c^2} \quad (8)$$

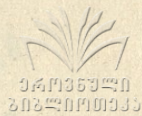
в которых $c = \frac{X_a}{R_i}$. В этом случае входная проводимость лампы также комплексна и, согласно выражению (43.18) из /9/, ее активная и реактивная составляющие имеют вид:

$$\left. \begin{aligned} R_e Y_{\text{вх}} &= g = - \frac{\mu \omega c C_{ac}}{(1+\alpha)^2 + c^2}, \\ Y_m Y_{\text{вх}} &= b = \omega \left\{ C_{kc} + C_{ac} \left[1 + \mu \frac{\alpha(1+\alpha) + c^2}{(1+\alpha)^2 + c^2} \right] \right\}, \end{aligned} \right\} \quad (9)$$

где ω - частота переменной составляющей сеточного потенциала, а C_{kc}, C_{ac} - соответственно емкости между катодом и сеткой и между анодом и сеткой (междуэлектродные емкости):

$$C_{kc} = K \frac{pN}{\rho n \delta_{o1}}, \quad C_{ac} = K \frac{pN}{\rho n \delta_{o2}} \quad (10)$$

Здесь K - коэффициент, зависящий от выбранной системы единиц, а $\delta_{o1} = \frac{r_c}{r_k}, \delta_{o2} = \frac{r_a}{r_c}$ - параметры конструкции триода (r_k - радиус катода). Согласно выражениям (9) и (10) получаем



$$g_{np} = -\frac{g}{k\rho N\omega} = \frac{\mu c}{\epsilon n \delta_{0a} [(1+a)^2 + c^2]},$$

$$b_{np} = \frac{b}{k\rho N\omega} = \frac{1}{\epsilon n \delta_{01}} + \frac{1}{\epsilon n \delta_{02}} \left[1 + \mu \frac{a(1+a) + c^2}{(1+a)^2 + c^2} \right] \quad (11)$$

Формулы (7), (8) и (11) позволяют получить асимптотические выражения соответствующих величин для высоких частот (практически до дециметрового диапазона, т.е. пока скажется инерционность электронов). При этом целесообразно рассмотреть два случая:

- 1) реактивная часть нагрузки имеет индуктивный характер ($x_a = \omega k_a$), 2) реактивная часть нагрузки имеет емкостный характер ($x_a = -\frac{1}{\omega c_a}$).

Рассмотрим сначала первый случай: $x_a = \omega k_a$. Очевидно, что при этом $c \gg a$ и

$$R_e S_d \approx \frac{S(1+a)}{c^2}, \quad Y_m S_d \approx -\frac{S}{c},$$

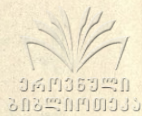
$$R_e M_d \approx \mu, \quad Y_m M_d \approx \frac{\mu}{c},$$

$$-\frac{g}{k\rho N\omega} \approx \frac{\mu}{c \epsilon n \delta_{02}}, \quad \frac{b}{k\rho N\omega} \approx \frac{1}{\epsilon n \delta_{01}} + \frac{1+\mu}{\epsilon n \delta_{02}}$$

или, принимая во внимание, что $c = \frac{x_a}{R_i} = \frac{\omega k_a}{R_i}$, будем иметь:

$$\left. \begin{aligned} x_a^2 R_e S_d &\approx \mu R_i (1+a), & x_a Y_m S_d &\approx -\mu, \\ R_e M_d &\approx \mu, & x_a Y_m M_d &\approx \mu R_i, \\ -\frac{g k_a}{k\rho N} &\approx \frac{\mu R_i}{\epsilon n \delta_{02}}, & \frac{b}{k\rho N\omega} &\approx \frac{1}{\epsilon n \delta_{01}} + \frac{1+\mu}{\epsilon n \delta_{02}}. \end{aligned} \right\} \quad (12)$$

Теперь перейдем ко второму случаю: $x_a = -\frac{1}{\omega c_a}$. Для высоких частот $c \ll a$. Поэтому



$$R_e S_d \approx \frac{S}{1+a}, \quad Y_m S_d \approx -\frac{Sc}{(1+a)^2},$$

$$R_e M_d \approx \frac{Ma}{1+a}, \quad Y_m M_d \approx \frac{Mc}{(1+a)^2},$$

$$-\frac{g}{KPN\omega} \approx \frac{Mc}{(1+a)^2 \epsilon n \delta_{02}}, \quad \frac{b}{KPN\omega} \approx \frac{1}{\epsilon n \delta_{01}} + \frac{1}{\epsilon n \delta_{02}} \left(1 + \frac{Ma}{1+a}\right).$$

Так как в данном случае

$$C = \frac{I_a}{R_i} = -\frac{1}{\omega C_a R_i},$$

то получаем

$$\begin{aligned} R_e S_d &\approx \frac{S}{1+a}, & \omega C_a Y_m S_d &\approx \frac{S}{R_i (1+a)^2}, \\ R_e M_d &\approx \frac{Ma}{1+a}, & -\omega C_a Y_m M_d &\approx \frac{S}{(1+a)^2}, \\ \frac{g C_a}{KPN} &\approx \frac{S}{(1+a)^2 \epsilon n \delta_{02}}, & \frac{b}{KPN\omega} &\approx \frac{1}{\epsilon n \delta_{01}} + \frac{1}{\epsilon n \delta_{02}} \left(1 + \frac{Ma}{1+a}\right). \end{aligned} \quad (13)$$

На таких высоких частотах очень важным является величина

$$\mu_{dK} = \frac{S}{\omega C_{Kc}}$$

или, согласно (10)

$$\omega K \mu_{dK} = S \epsilon n \delta_{01}. \quad (14)$$

Фактически μ_{dK} имеет смысл коэффициента усиления одного каскада.

Для расчета статистических и динамических параметров цилиндрического триода по формулам (2)-(8), (11)-(14) мы придавали параметрам конструкции δ_{01} и δ_{02} значения от 2 до 9. Для выбранной модели исходные данные были фиксированы следующим образом:

$$\begin{aligned} r_k &= 0,5 \text{ мм}, & r &= 0,01 \text{ мм}, & N &= 95, & U_a &= 300 \text{ в}, & I_s &= 0,6 \text{ а}, \\ a &= 4 & C &= 4 \text{ (для невысоких частот)}. \end{aligned}$$

Что касается величины U_{35} , как уже указывалось выше, она находится из трансцендентного уравнения, приводимого в/8/. Эта величина является функцией параметра конструкции

δ_{01} и представлена на рис.2.

Результаты расчетов статистических и динамических параметров триода показаны на рис. 1,2,3,4. Следует отметить, что на них построены не все величины (так как некоторые повторяются или отличаются от построенных лишь масштабом).

Из этих зависимостей вытекают следующие закономерности:

1. Влияние параметра δ_{01} на все величины при больших значениях становится относительно незначительным. При малых значениях δ_{01} указанное влияние резко выражено.
2. Параметр δ_{01} незначительно влияет на R_i , а параметр δ_{02} - на S . Зависимости R_i от δ_{02} , S от δ_{01} и M от обоих (т.е. δ_{01} и δ_{02}) весьма чувствительны.
3. Величина $U_{эс}$ от δ_{01} зависит почти линейно. δ_{02} не влияет совсем на ϵ_{np} и g_{np} . $I_m N_d$ почти не зависит от δ_{02} и мало зависит от δ_{01} .
4. Отсутствует зависимость параметра $\frac{v}{k_{pN}\omega}$ в обоих случаях от δ_{02} . Другая составляющая входной проводимости - $\frac{g_{ka}}{k_{pN}}$ незначительно зависит от δ_{02} . Довольно ощутимо влияние δ_{01} и δ_{02} на $\frac{g_{ca}}{k_{pN}}$ и $\omega C_a Y_m S_d'$. Зависимость величины $\omega k_{pN} M_{dh}$ от δ_{01} выражена резко, чем от δ_{02} .

Таким образом, влияние конструкции почти на все параметры цилиндрического триода весьма значительно. Это обстоятельство позволяет в принципе моделировать лампы с требуемыми параметрами для их практических применений (так как указанное влияние исследовано не только качественно, но и количественно).

Поступила 27.У1.1980

кафедра радиотехники

ლიტერატურა



1. С.В. Беллестин, ДАН СССР, 16,307 (1937).
2. С.В. Беллестин, ЖЭТФ; 9,840 (1939); 13,230 (1943).
3. J.Crank, L.R.Hartree, J.Ingham, R.W. Sloane, Proc. Phys. Soc., 51, 952 (1939).
4. E.L.E.Wheatcroft. Journ. IEE, 86, 473 (1940); 87, (1940)
5. Wan der Ziel, Appl. Sci. Res., B1,105 (1948).
6. L.Page, N.I.Adams. Tr., Phys. Rev., 76, 381 (1949).
7. მ.შ.Кобахидзе, Г.З. Магалашвили, А.Г.Робиташвили. Труды Грузинского политехнического института им. В.И.Ленина, № 8 (172), 1974.
8. მ.შ.Кобахидзе, Г.З. Магалашвили, С.С.Иаганашвили, А.Г. Робиташвили, Труды Грузинского политехнического института им. В.И.Ленина, № 7 (189), 1976.
9. В.Г. Гапонов, Электроника, часть 2, Гос.изд-во физ.мат. лит-ры, М., 1960.

რედაქციისთვის, თბილისი,
საბჭოთა კავშირი

კონსტრუქციის და დამუშავების განყოფილებაში
სამუშაოებს და მისი შედეგების გამოცემის

რედაქციისთვის

გეგმიური რედაქციის მუშაობისათვის კუთვნილი განყოფილების
მედიაციისთვის ამოწმების საფუძველზე /ჯერჯერობით საბჭოთა სიბრძნის-

რევიზიის გახვედრისწინებში/ ნაპოვნია ცილინდრული ტრიოდის ან-
ოდური ძენის მიხედვებზელი ანალიზური განმსახულებია. ნიღებულია
ამ ნიღაკის თარისადი სტატიკური და დინამიკური პარამეტრების
განმსახულებანი სიხშირეა დეფინიტივილი დიაპაზონი. დადებრი-
ლია მიღაკის კონსტრუქციის გავლენის ხასიათი ალნიშნულ პარ-
ამეტრებზე.



Sh. Beblashvili, M. Kobakhidze, G. Magalashvili

THE INFLUENCE OF DESIGN ON THE STATIC AND
DYNAMIC PARAMETERS OF A CYLINDRICAL TRIODE

Summary

A convenient analytical expression of the anodic current of a cylindrical triode has been found on the basis of an approximate solution of the Poisson equation for the cylindrical diode interval. The expressions of the main static and dynamic parameters of this valve up to a decimeter frequency band were obtained.

The nature of the influence of the valve design on the cited parameters was ascertained.

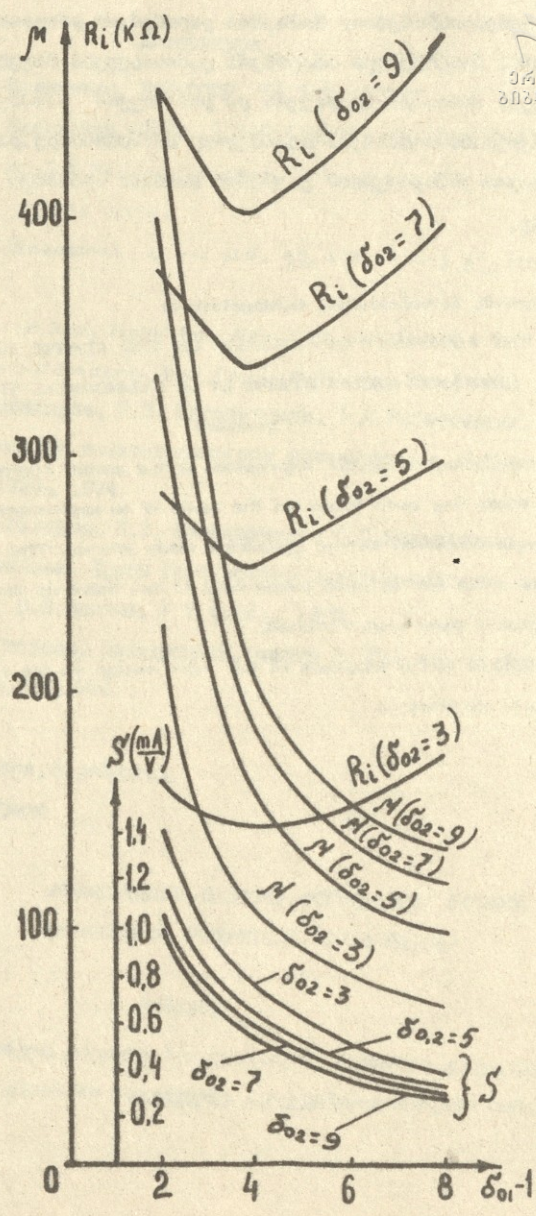


Рис. I

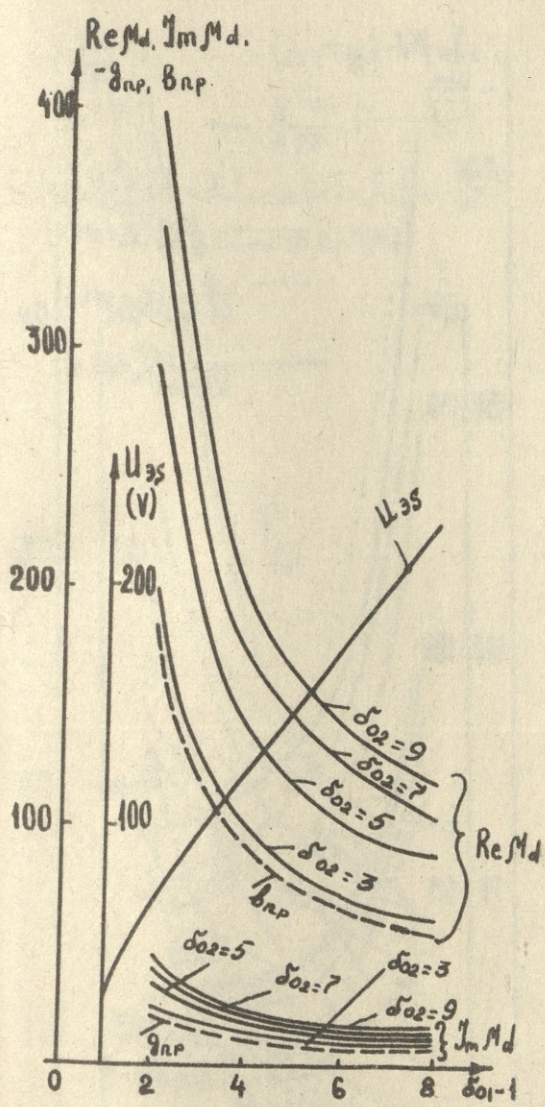


Рис. 2

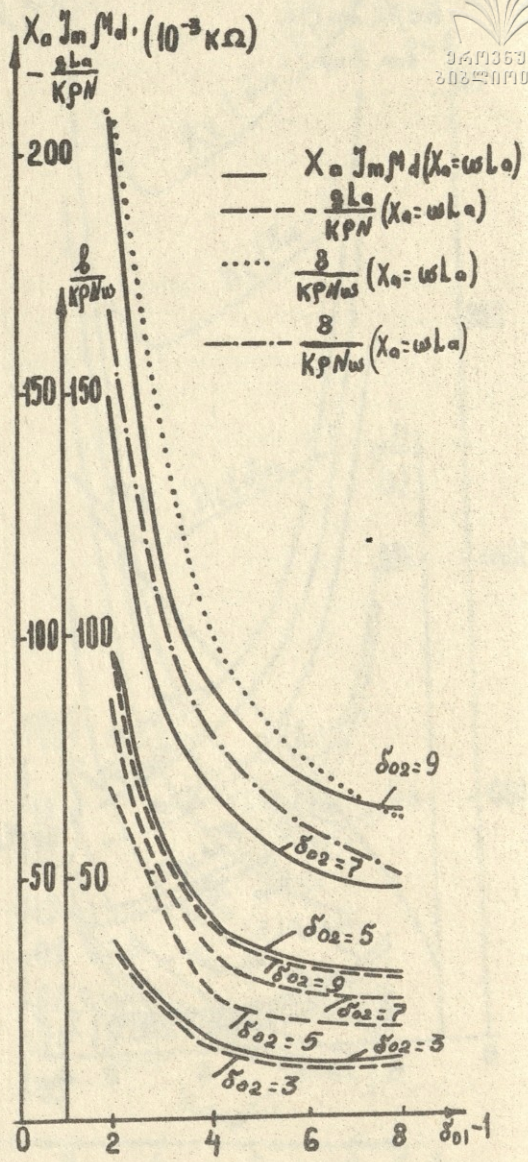


Рис. 3

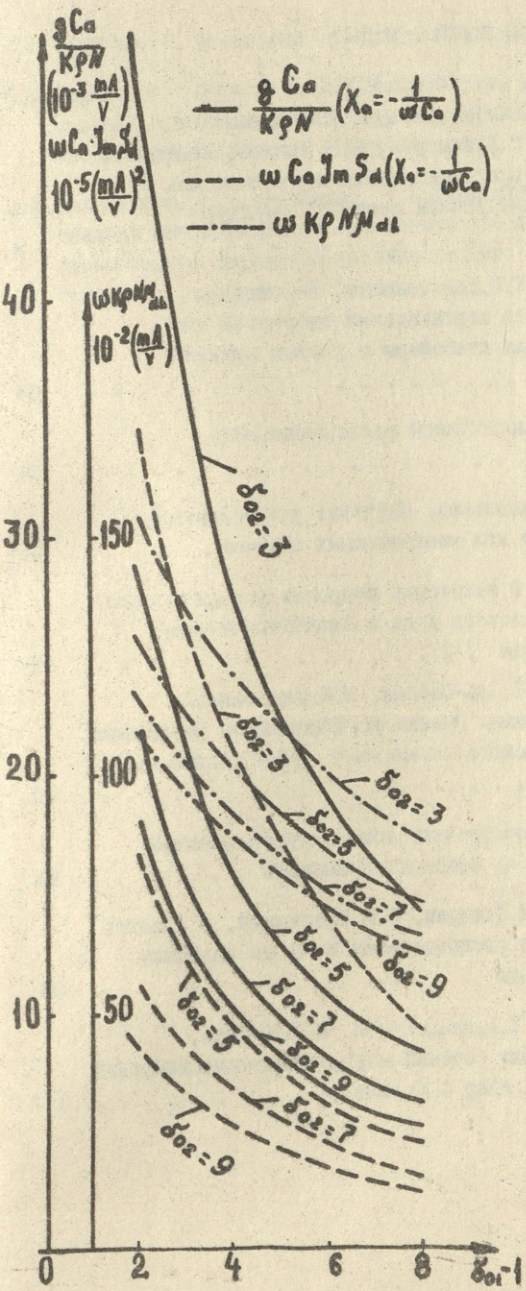
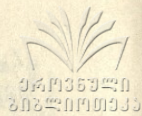


Рис. 4

СО Д Е Р Ж А Н И Е

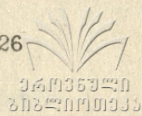


И.Ф.Кварцхава, Ю.С.Гваладзе, Г.Г.Зукакишвили, К.Н.Кервалидзе, Н.Н.Комаров, М.В.Фадеев. Явление образования пространственно-периодических структур сильнооточной плазмы "структурн- Кварцхава"	5
З.В.Хведелидзе, Т.П.Давиташвили. Упрощенные методы расчета вертикальных скоростей на разных уровнях атмосферы с учетом влияния орографии	39
Ю.Г.Борода. О классической электродинамике тахмонов	48
Н.С.Вашакидзе-Васильева. Изучение устойчивости решений задач для многоатомных систем	62
М.И.Демуришвили. О некоторых вопросах распределения электростатического поля в диэлектрическом параллелепипеде	71
Г.А.Гамцемлидзе, С.Эль-Саббан, М.И.Мирзоева, Д.Н.Цава, Г.К.Шония. Оценка коэффициентов разложения термодинамического потенциала Ψ - теории сверх- текучести	79
Т.М.Хазарадзе. О построении общего курса электри- чества по методу основных принципов	93
М.И.Джибладзе, Л.Е.Лазарев, Э.Ш.Теплицкий. О влиянии нестабильности распределения поля на кинетику генерации лазера	95
Н.С.Григалашвили, Т.Р.Джалагания, Н.К.Купиди, Ю.В.Тевзадзе. Анализ сечений неупругих взаимодействий релятивистских ядер с ядрами	II4

В.Г.Таргамдзе. Дисперсия гравитационных волн 126

Н.Г.Баазов, Е.А.Бирюкова, А.Г.Манджавидзе. Исследование доменов в редкоземельных магнетиках методом деполяризации нейтронов 131

Ш.Л.Бебиашвили, М.Ш.Кобахидзе, Г.З.Магалашвили. Влияние конструкции на статистические и динамические параметры цилиндрического триода 148



რ. ბეშიაშვილი, ნ. კობახიძე, ტ. მაღალაშვილი. კონსტრუქციის
ტავლებსა ცილინდრული ტრინოვის სტატისტიკურ და რინამიკურ მარა-
მიტრებზე



ქართული
ენების
154



L.Kvartskhava, Y.Gvaladze, G.Zukakishvili, K.Kervalidze, N.Komarov, V.Fadeev. The phenomenon of the formation of spatially-periodic high-current plasma structures: "Kvartskhava structure" 28

Z.Kvedelidze, T.Davitashvili. A simplified method of calculating vertical velocities at different atmospheric levels with account of the influence of orography 46

Yu.Boroda. On the classical electrokinematics of tachyons 59

N.Vashakmadze-Vasilyeva. Study of the stability of solutions of problems of multiatomic systems 70

M.Demurishvili. On the distribution of electrostatic field in a dielectric parallelepiped 77

G.Gantsemlidze, S.el-Sabban, M.Mirzoeva, J.Tsaava, G.Shonia, Evaluation of the thermodynamic potential resolution coefficients in the superfluidity Ψ - theory 82

K.Khazaradze. On the construction of a general course of electricity by the method of basic principles 94

M.Tibladze, L.Lazarev, E.Teplitski. The effect of the field distribution instability upon the laser generation kinetics 110

N.Grigalashvili, T.Malaganja, N.Kutsidi, L.Tevzadze. Analysis of inelastic cross sections of the interactions of relativistic nuclei with nuclei 123

V.Targamadze. The dispersion of gravitational waves 130

N.Baazov, E.Puryukova, A.Manjavidze. Study of domains in rare-earth magnets by means of polarized neutrons 144

Sh.Peblishvili, M.Kobakhidze, G.Magalashvili. The influence of design of the static and dynamic parameters of a cylindrical triode 155

ՀԱՅԱՍՏԱՆԻ ՀԱՆՐԱՊԵՏՈՒԹՅԱՆ
ՆԱԽԱՐԱՐԱԿԱՆ

575

18.11.87

86-80

81-575

961935930
8085:0101933

1872
1871